Pathologies osseuses traumatiques de l'épaule

B. Vande Berg
Radiologie
Université Catholique de Louvain, UCL
Brussels Belgium



Objectifs

- Lignes corticales de l'épaule
- Fractures de l'épaule
- « Lésions de passage »
- Quelques incidences complémentaires

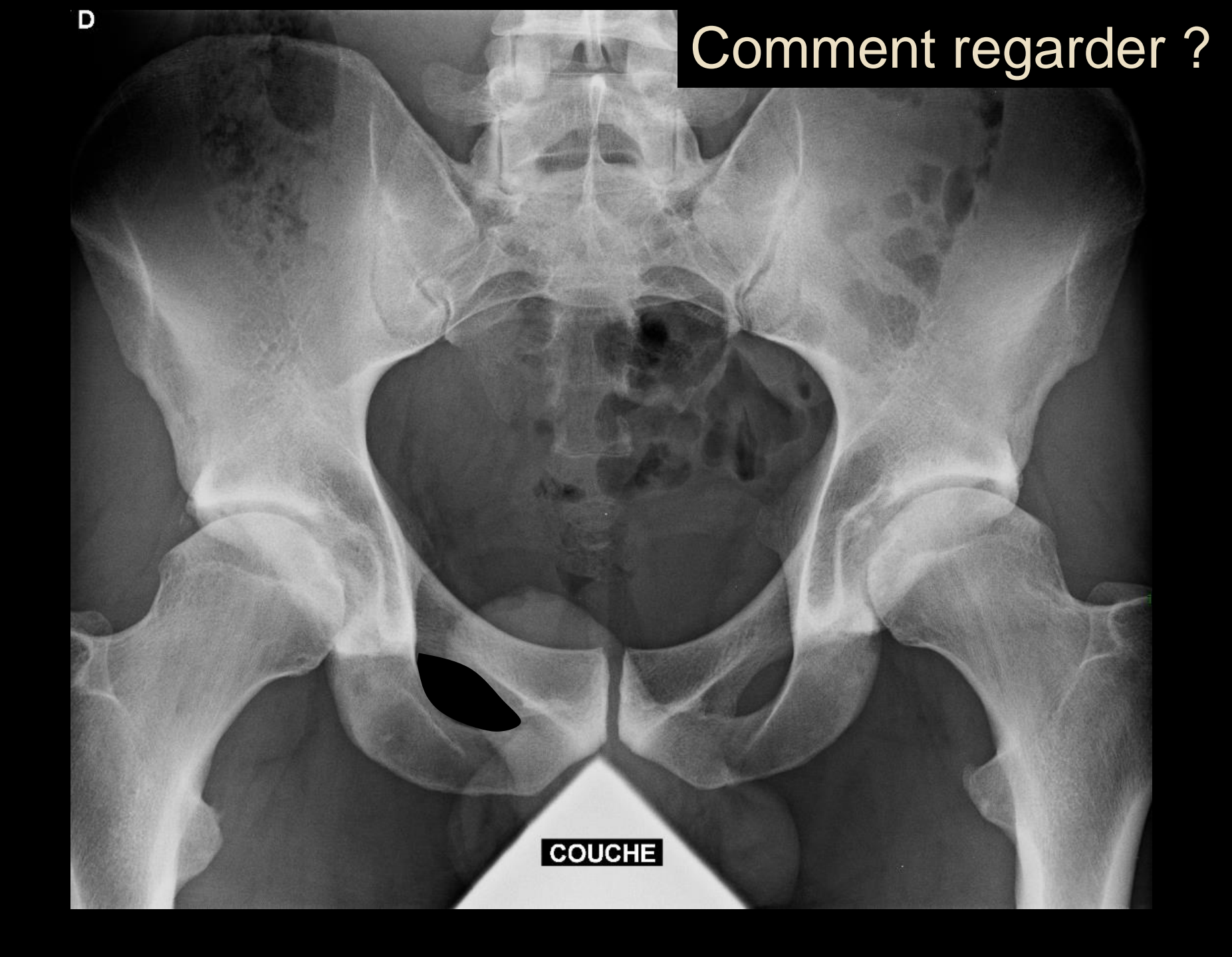
Anomalie?

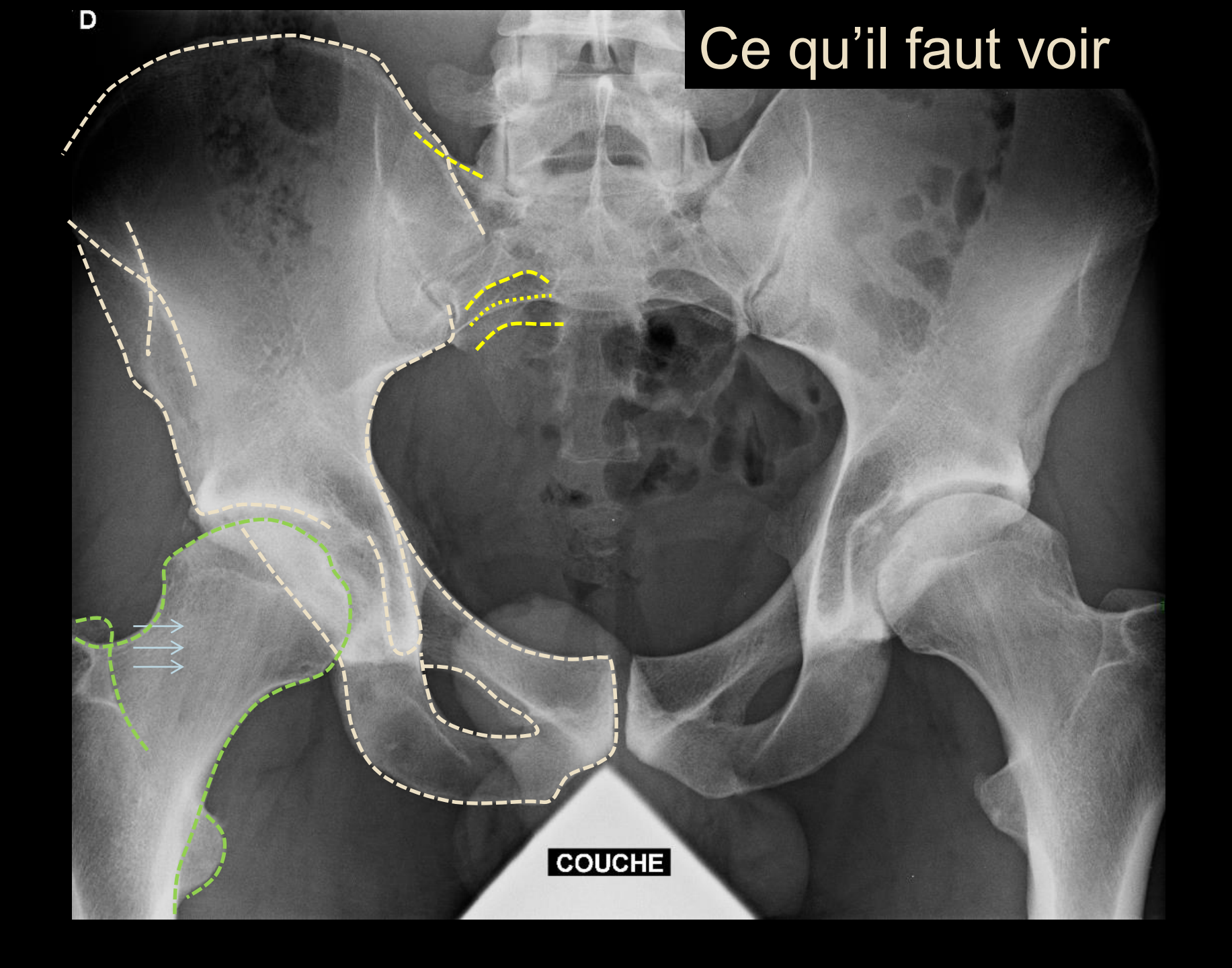


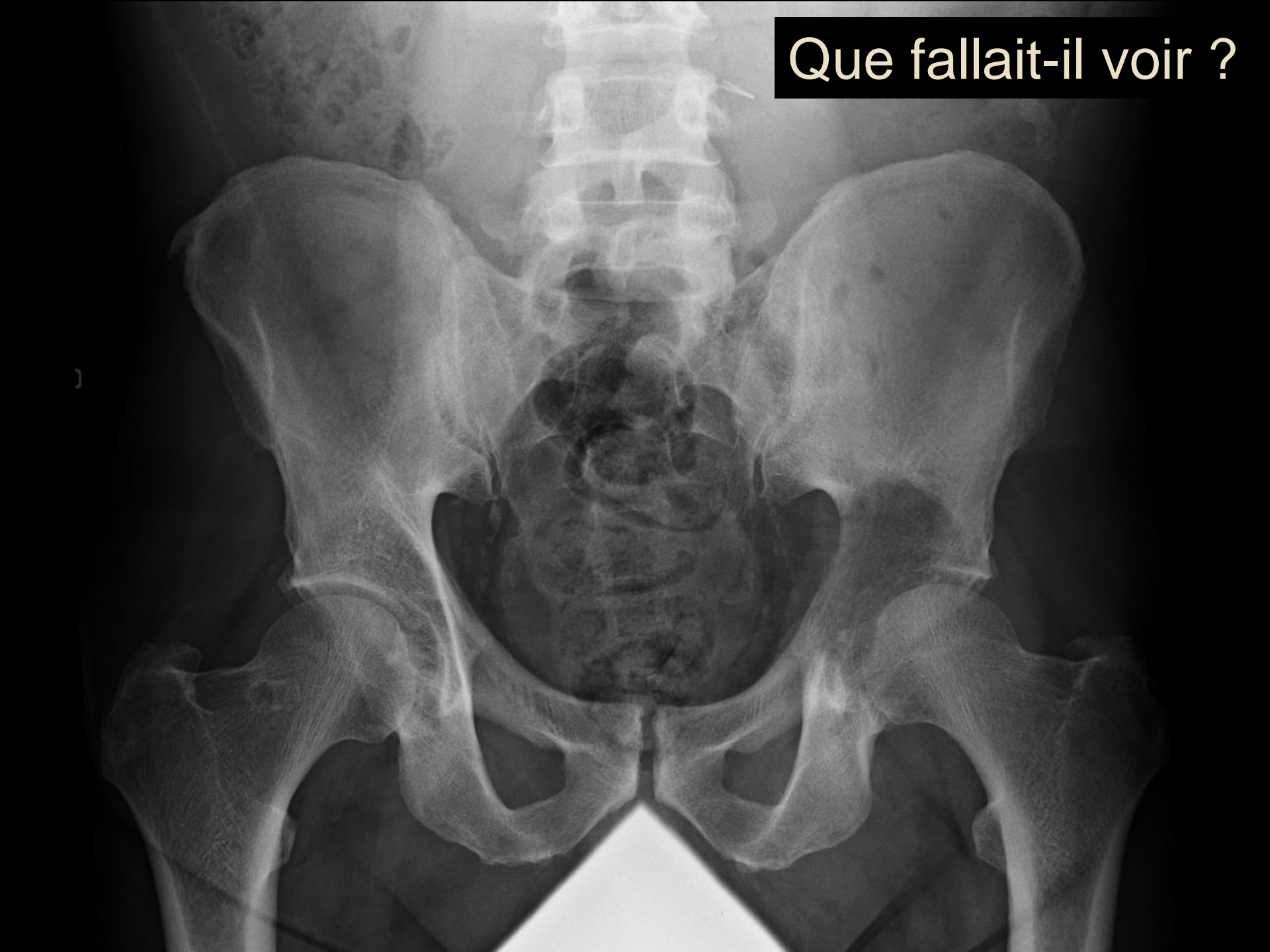
Que fallait-il voir ?

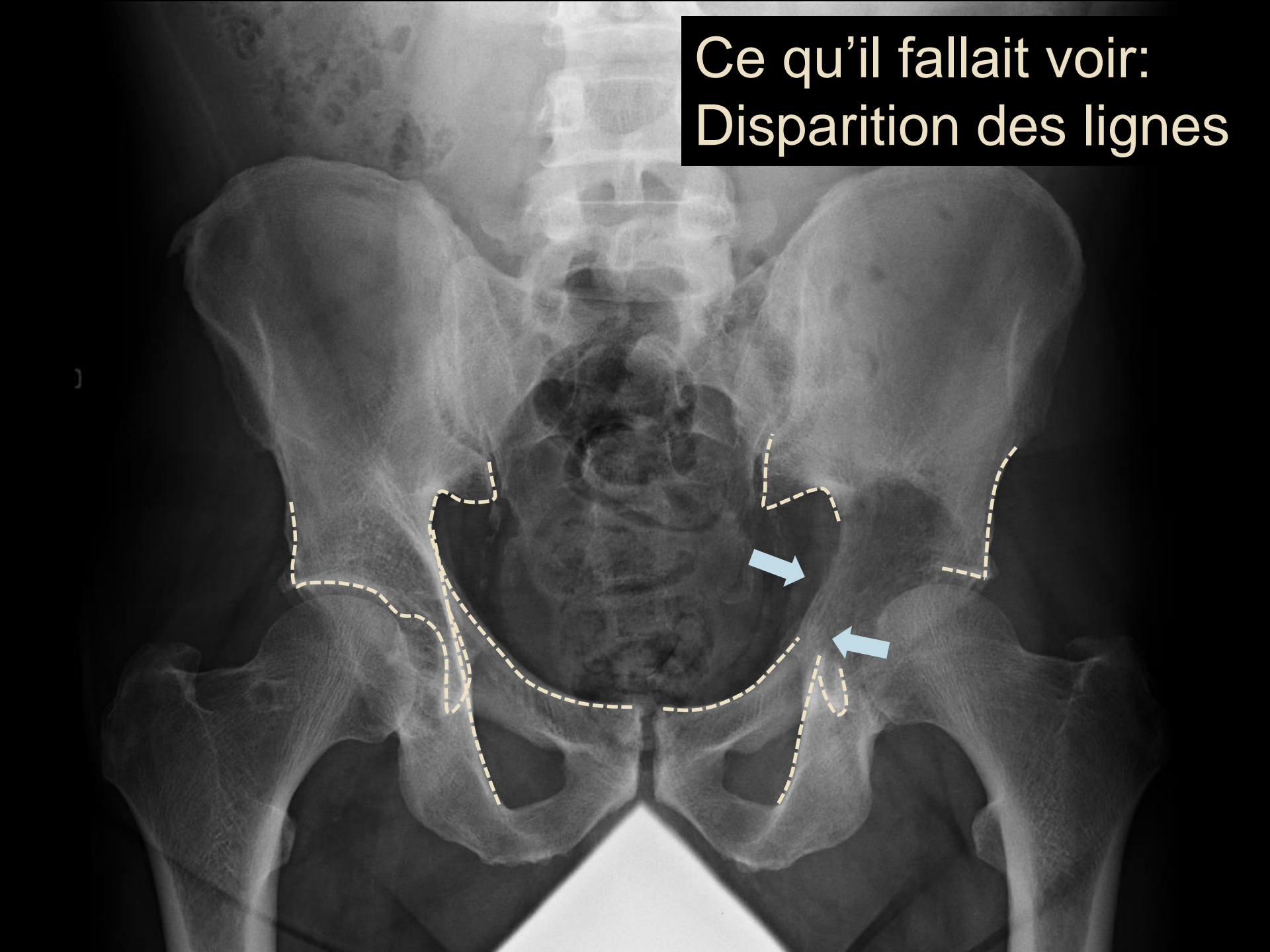


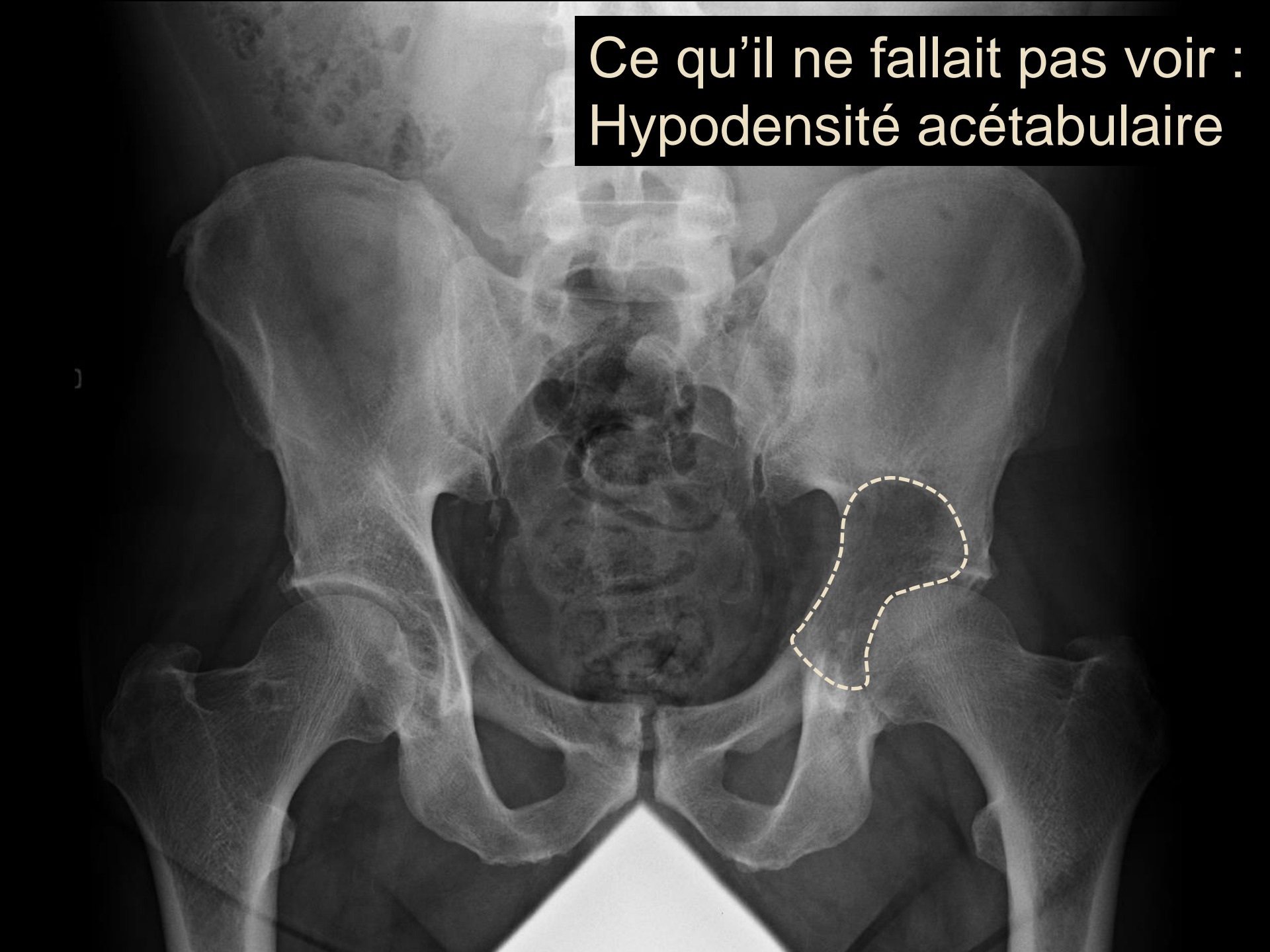


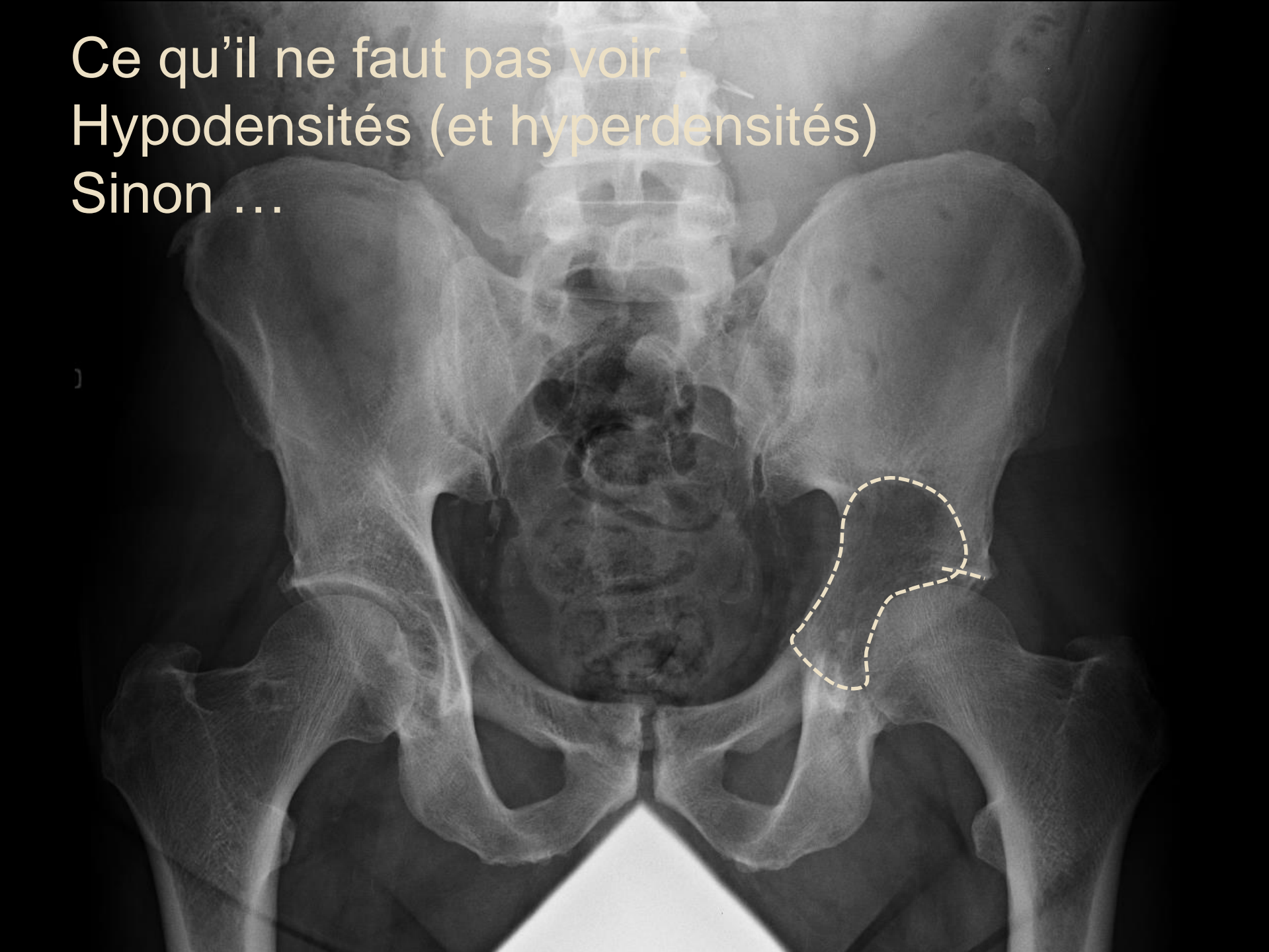


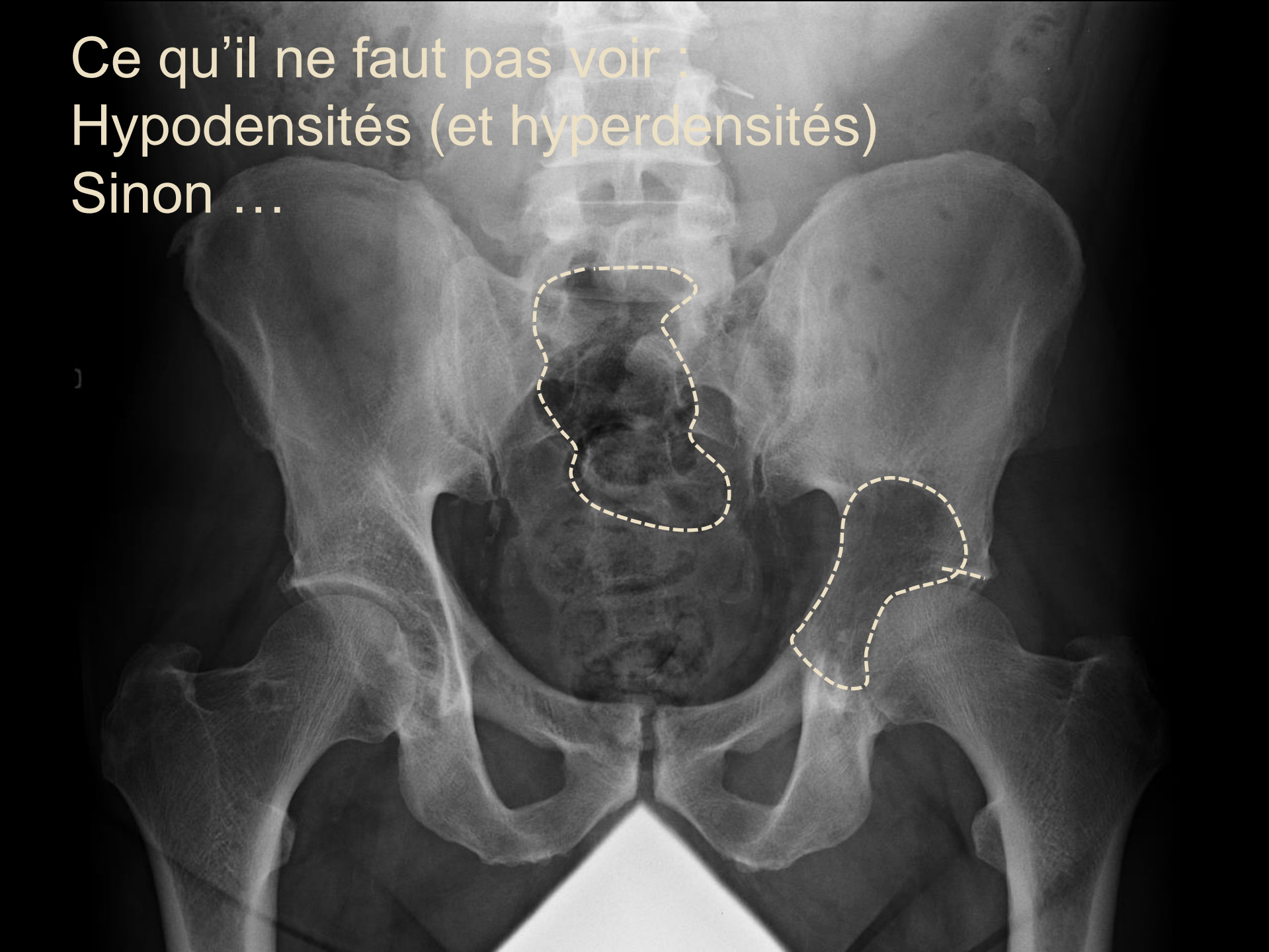












Comment faut-il regarder?

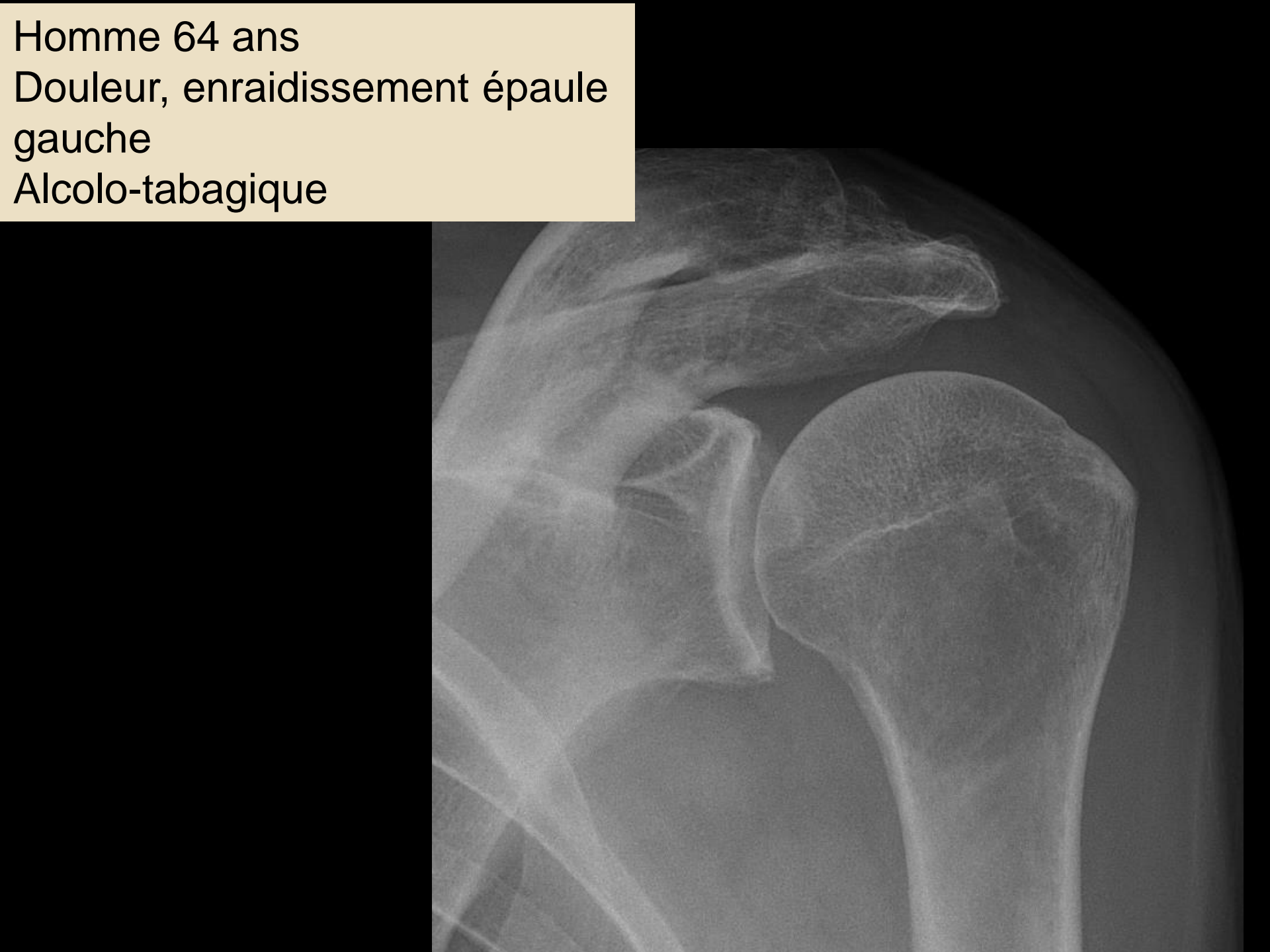
- Analyse des tangences « attendues » (anatomie radiologique)
 - « Faciles » à connaitre et reconnaitre
 - Séméiologie variées
 - Témoignant d'une multitude de pathologies
 - Pas sensible!

Objectifs

- Lignes osseuses corticales
- Lésions traumatiques de l'épaule
 - Lignes interrompues
 - Lignes additionnelles
 - Distances entre les lignes
- « Lésions de passage »





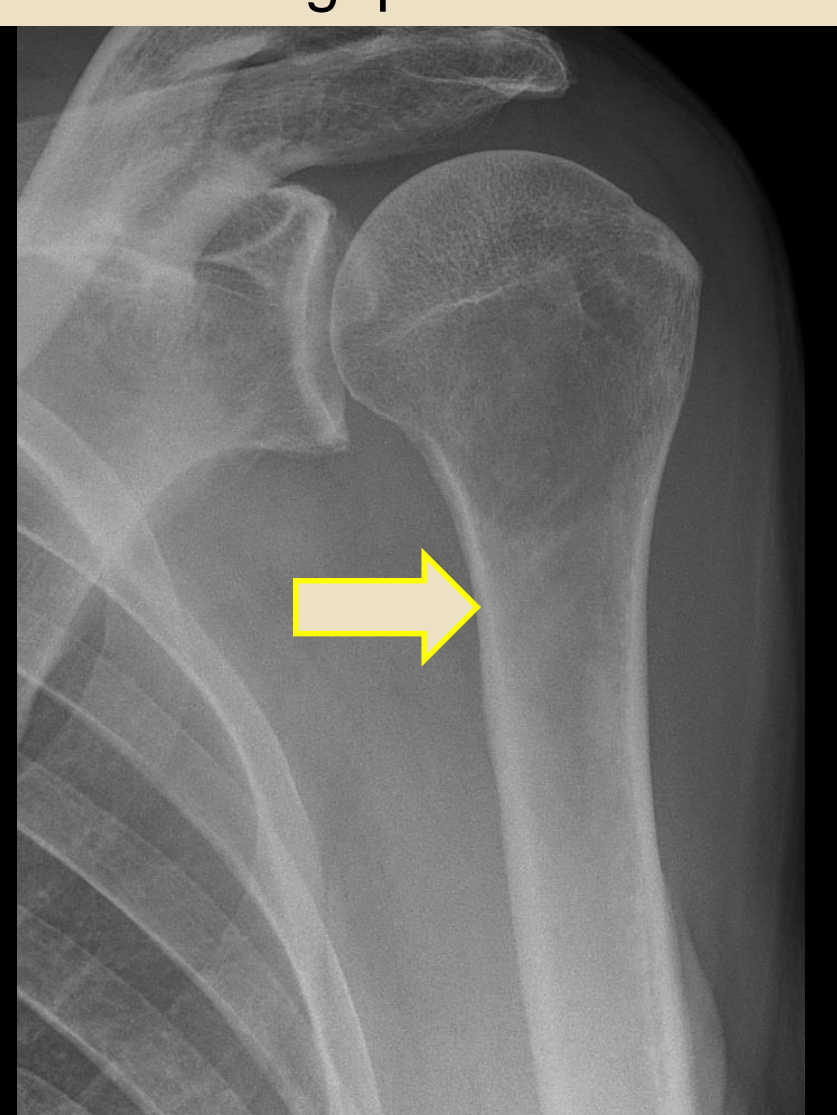


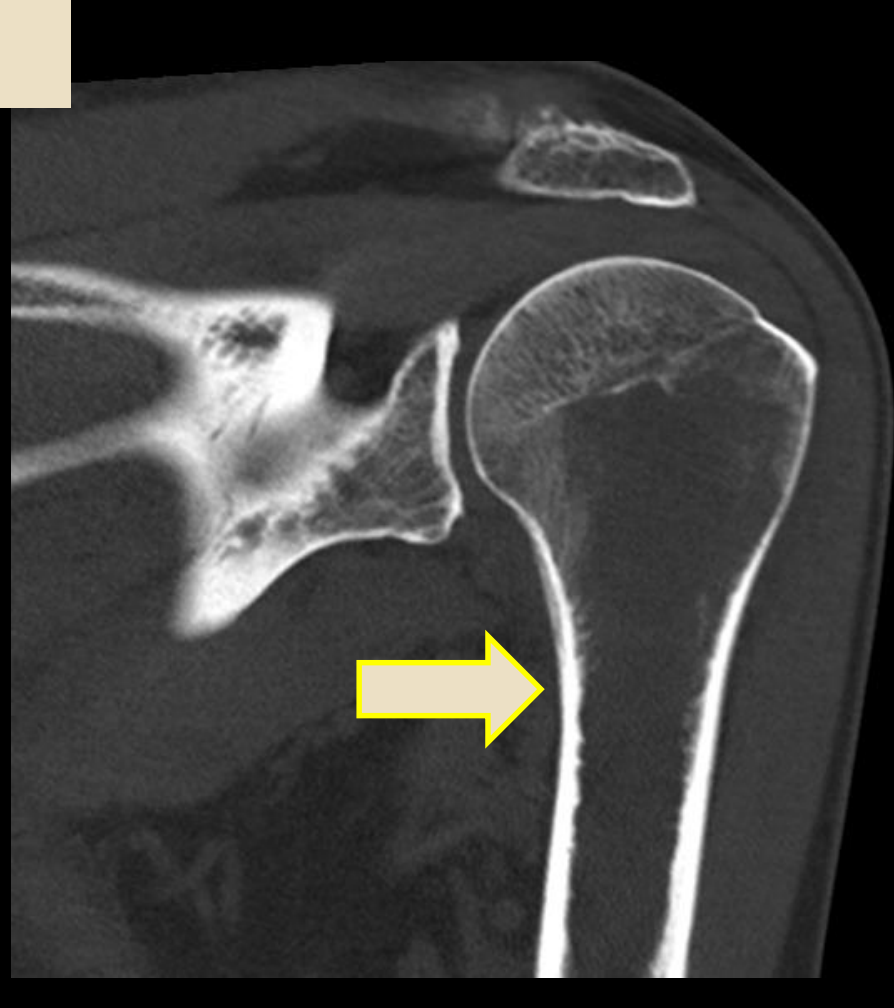
Homme 64 ans Douleur, enraidissement épaule gauche Alcolo-tabagique





Homme 64 ans Douleur, enraidissement épaule gauche Alcolo-tabagique

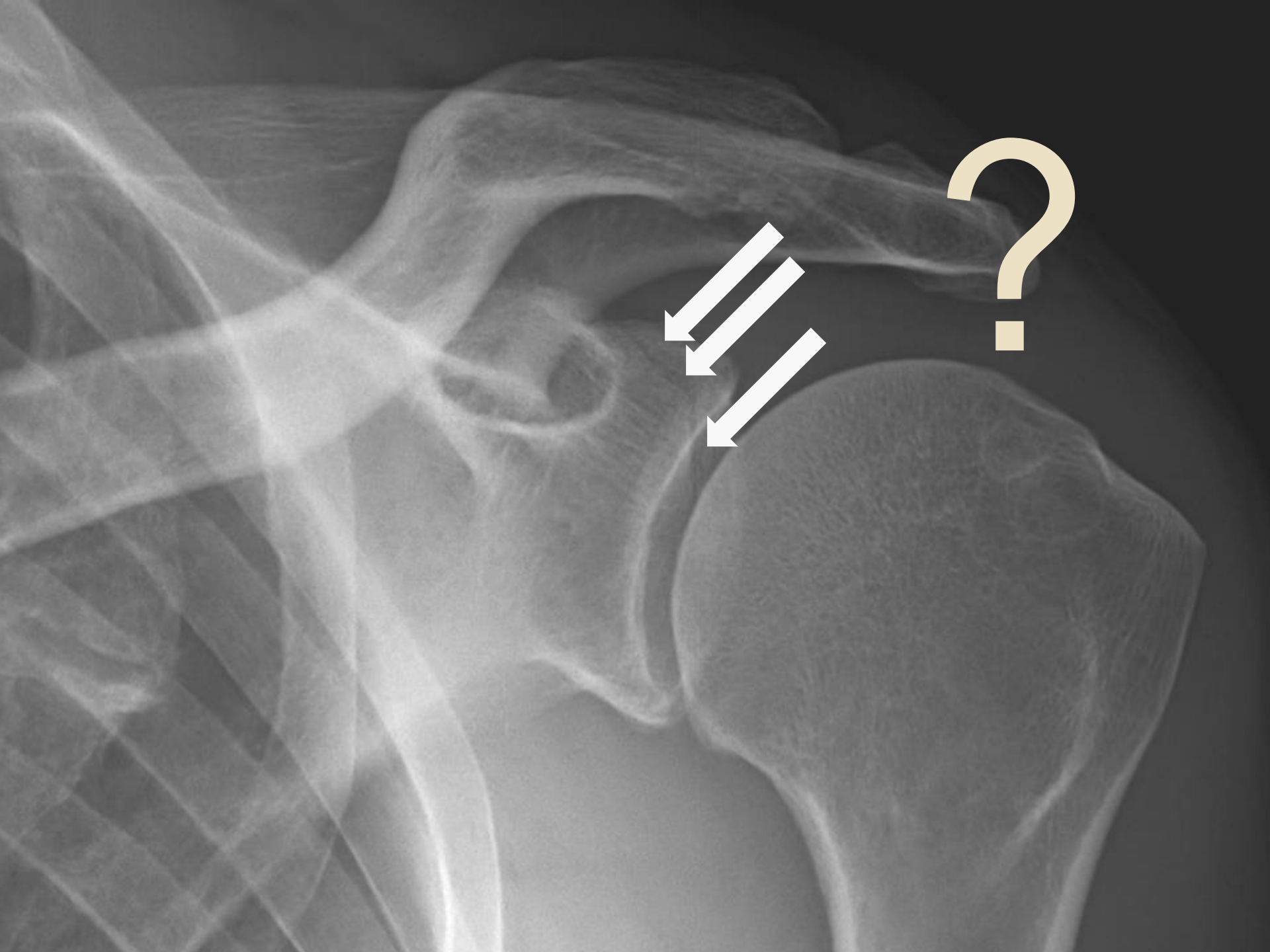


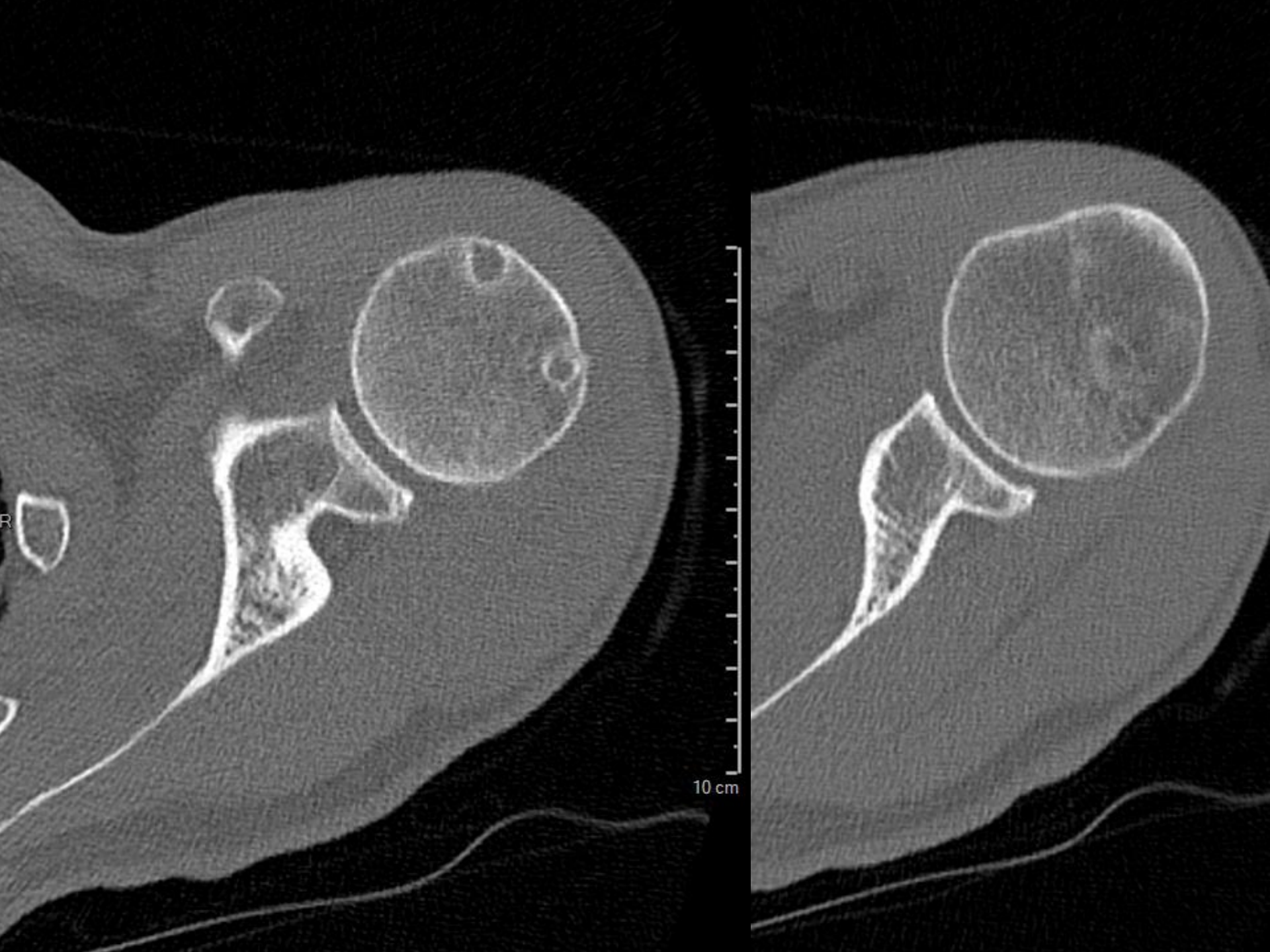








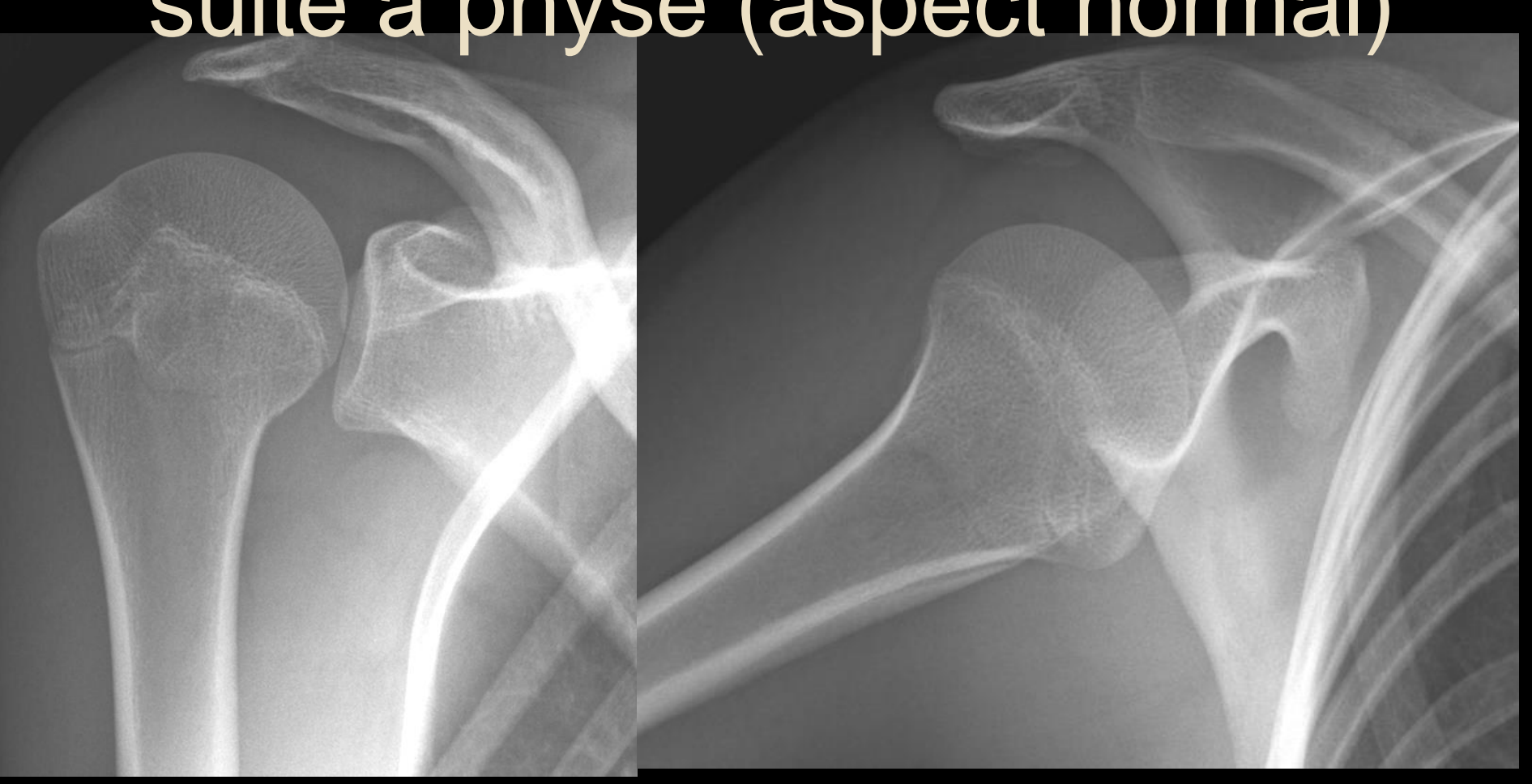




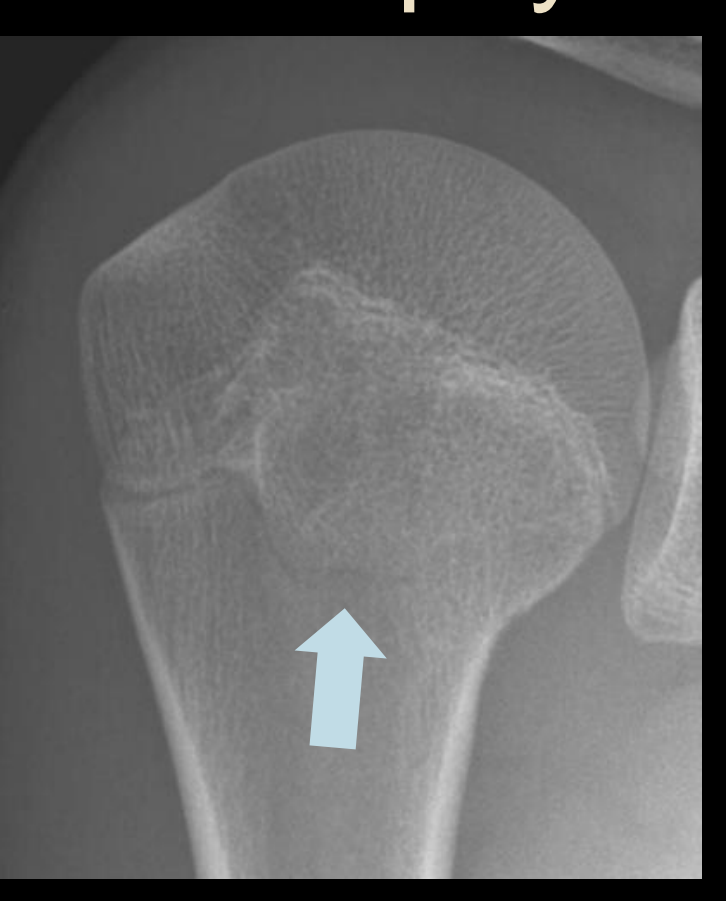
Fracture?

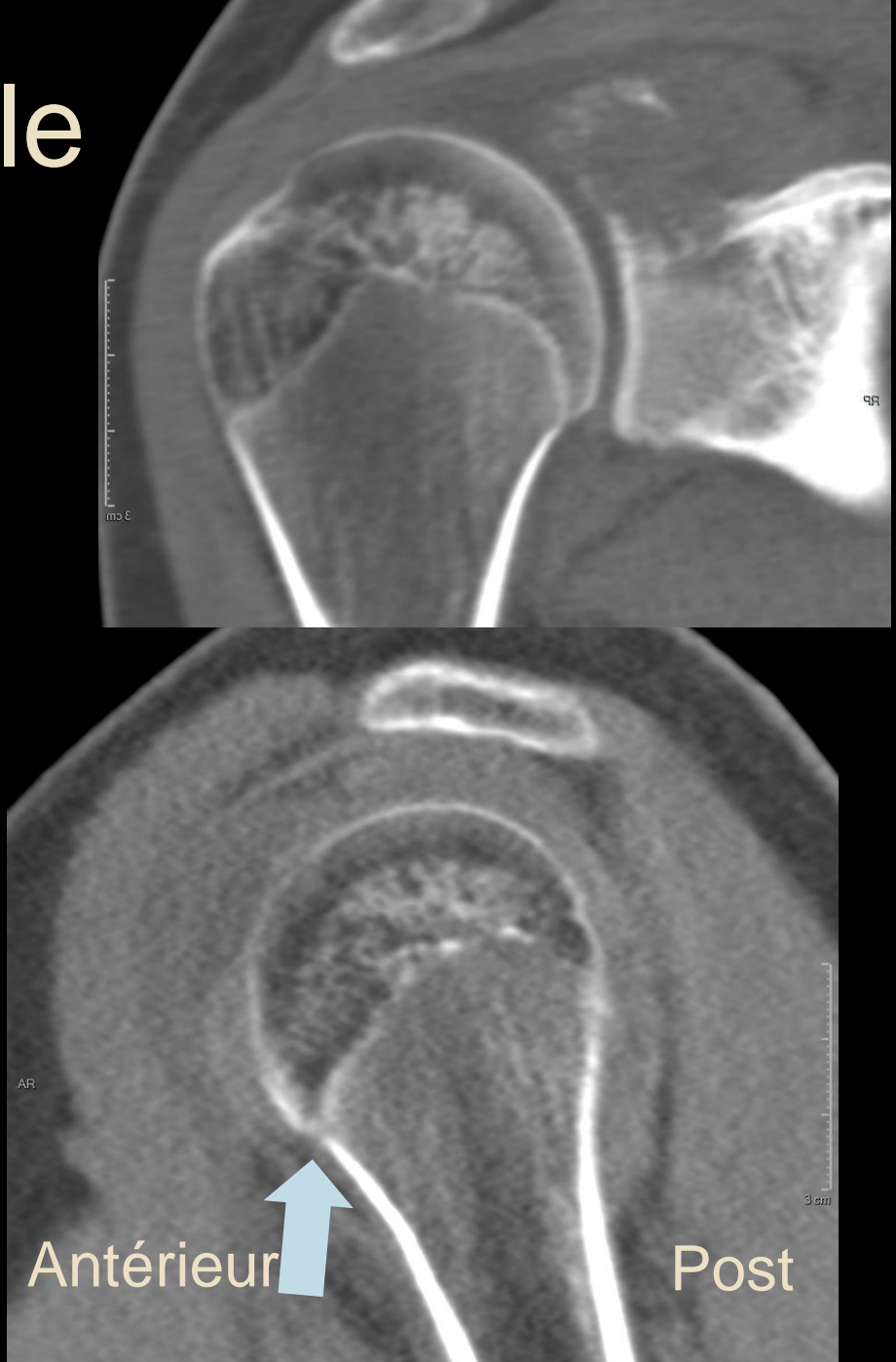


Interruption corticale suite à physe (aspect normal)



Interruption corticale suite à physe

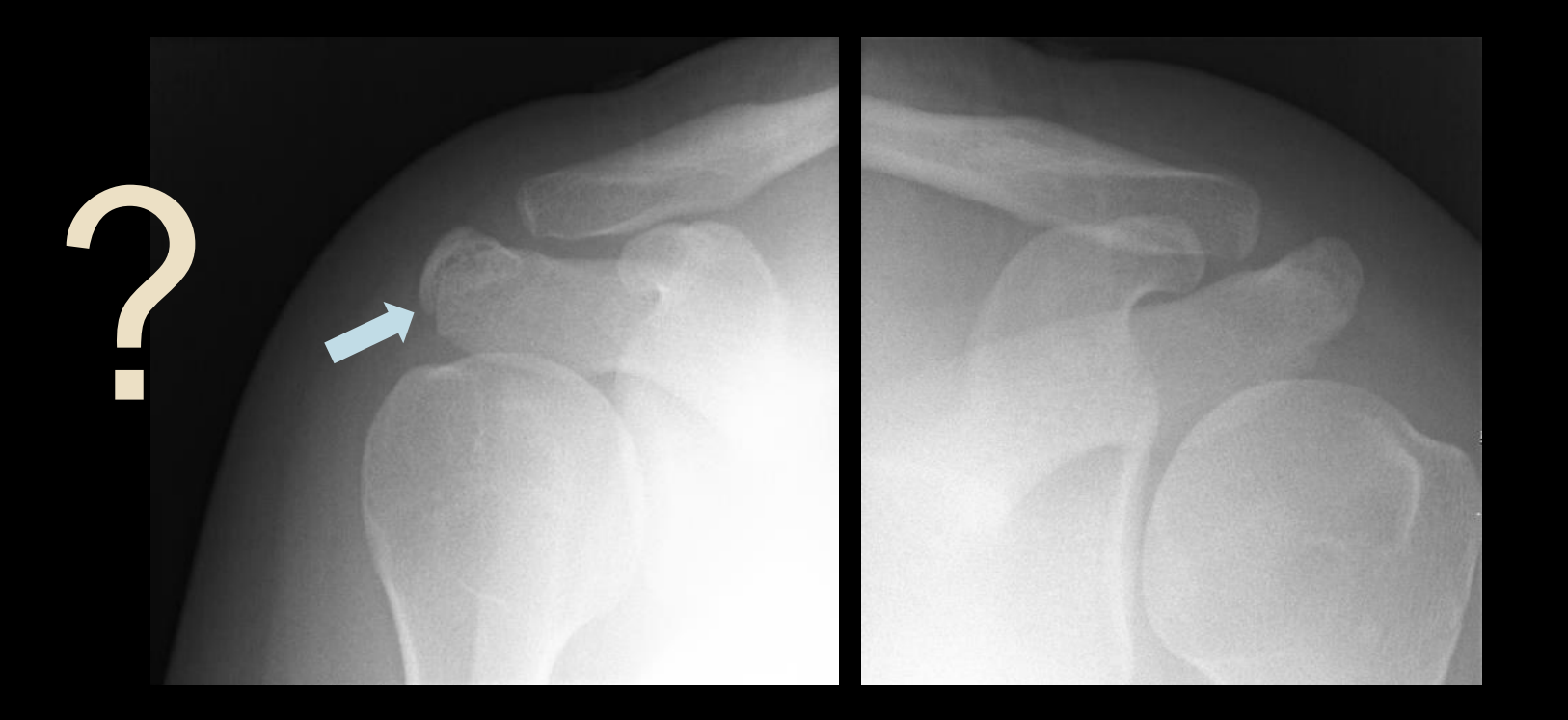


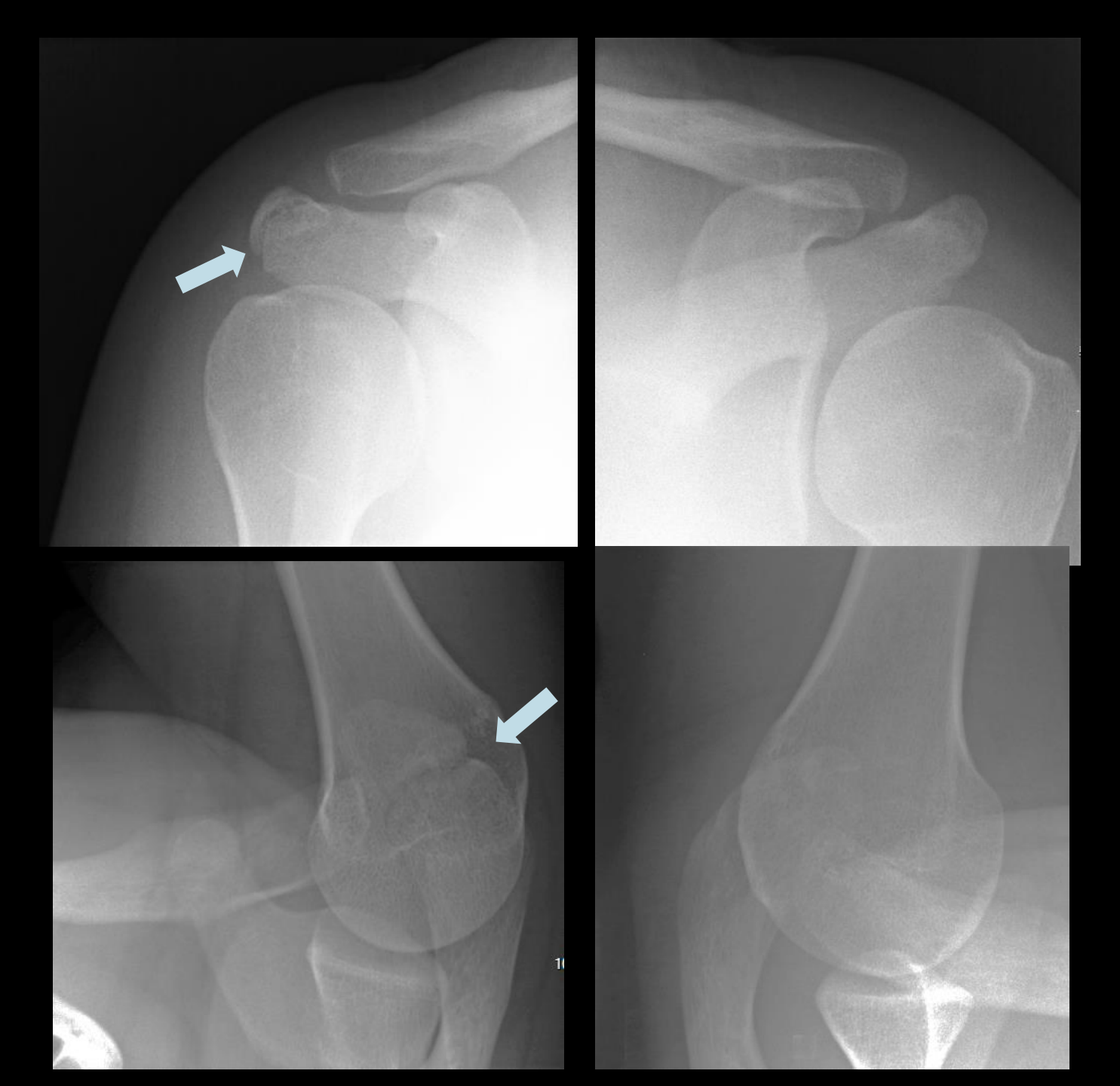


Interruption corticale suite à physe (aspect normal)



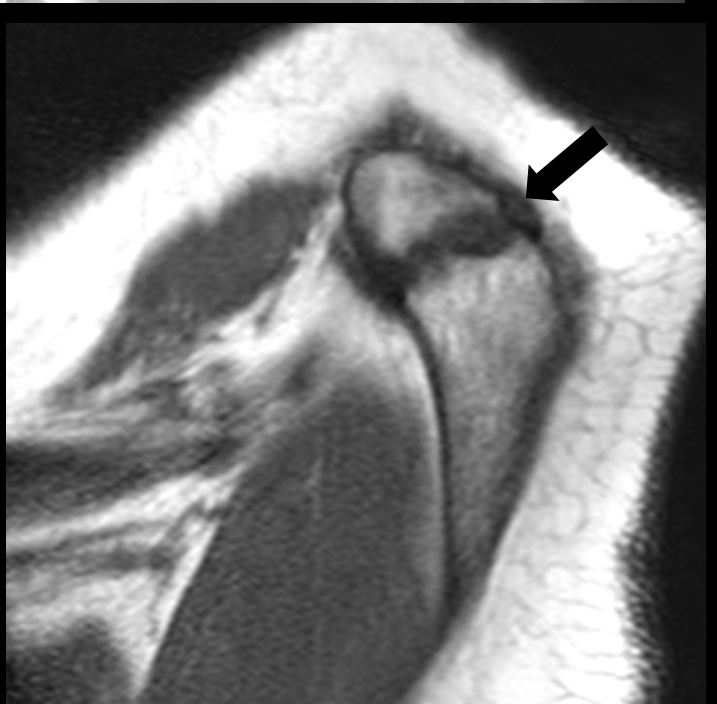
Suivi à 2 mois : pas de cal osseux donc bien un aspect normal

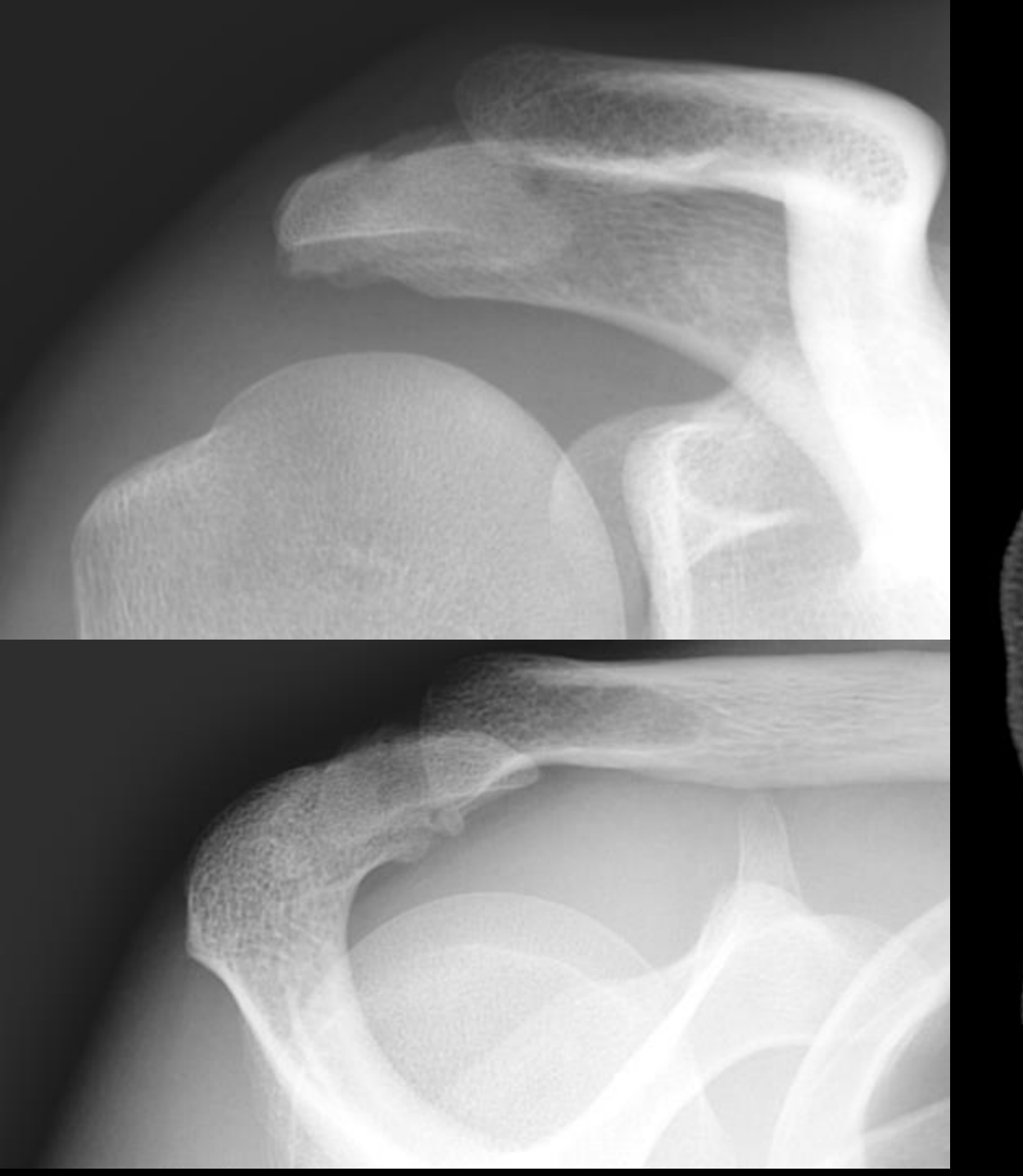






Os acromial (variante)





Os acromial (variante mais peut être symptomatique



Faux positifs

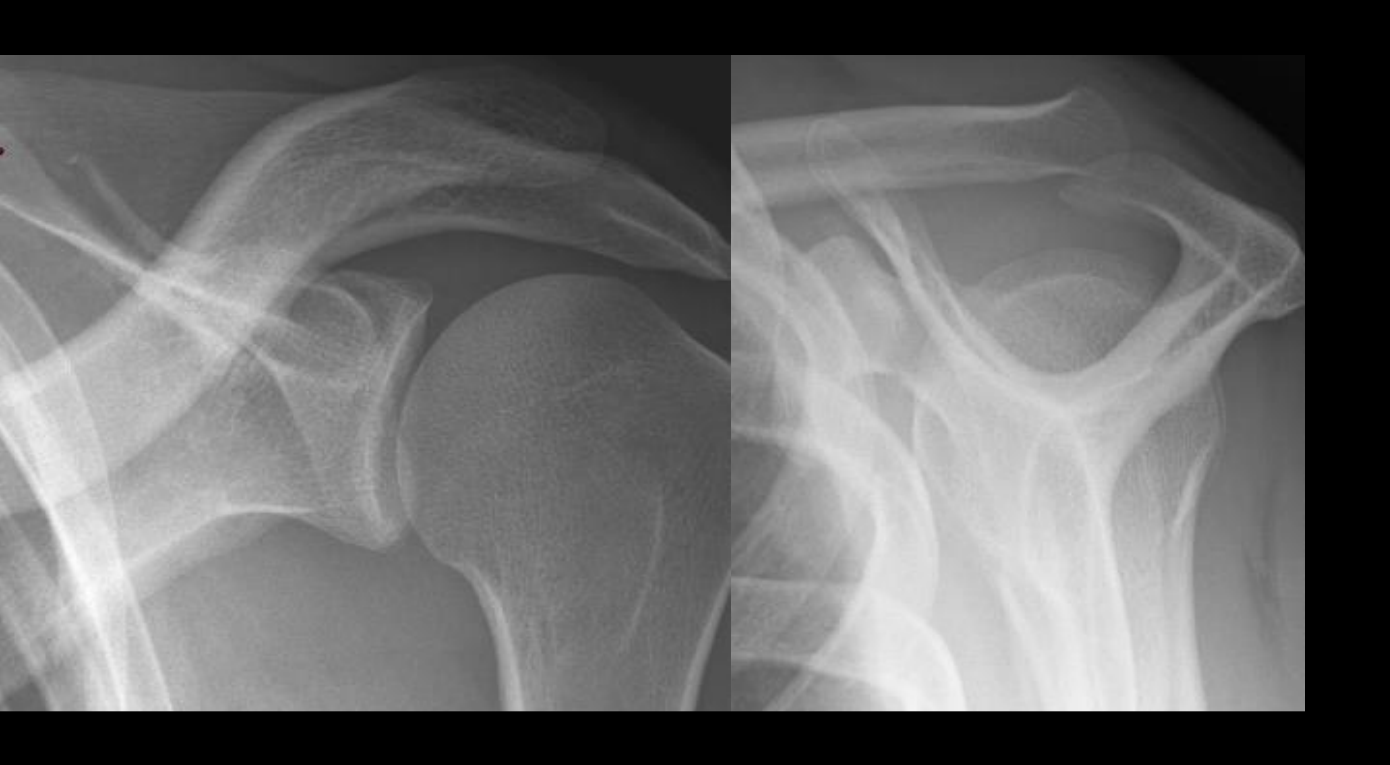
- * Physe
- * Pseudo-lacune grand tubercule
- * Variantes (os acromial)

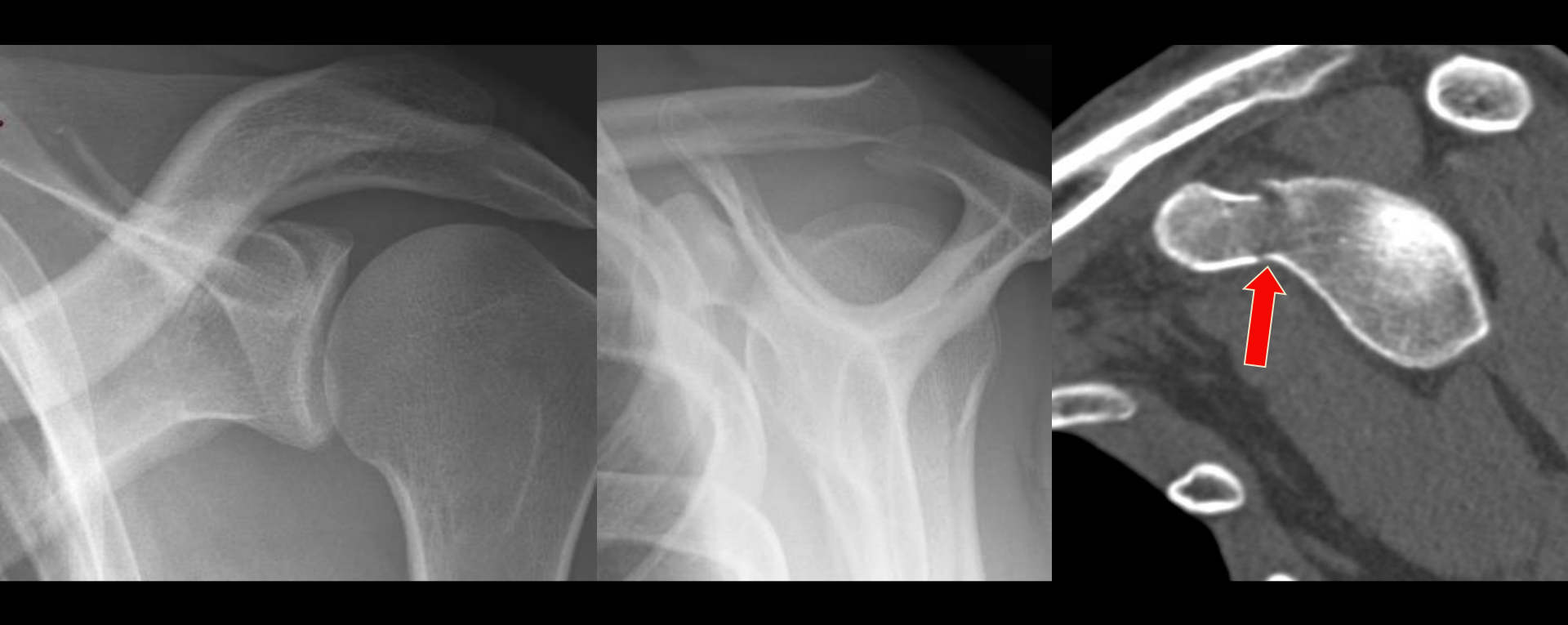
Faux négatifs

- Corticales difficiles à voir
- os cortical faible os trabéculaire



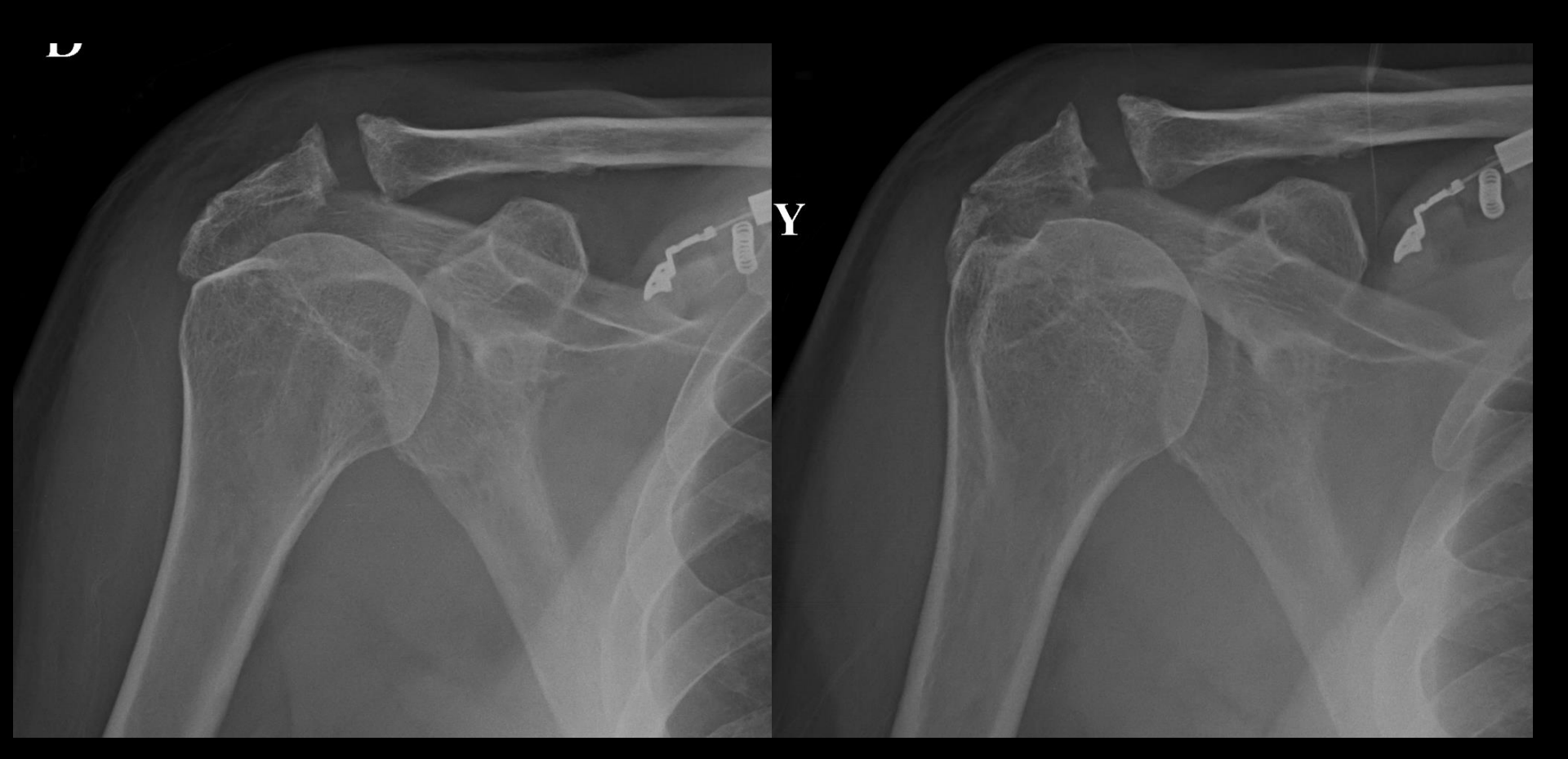






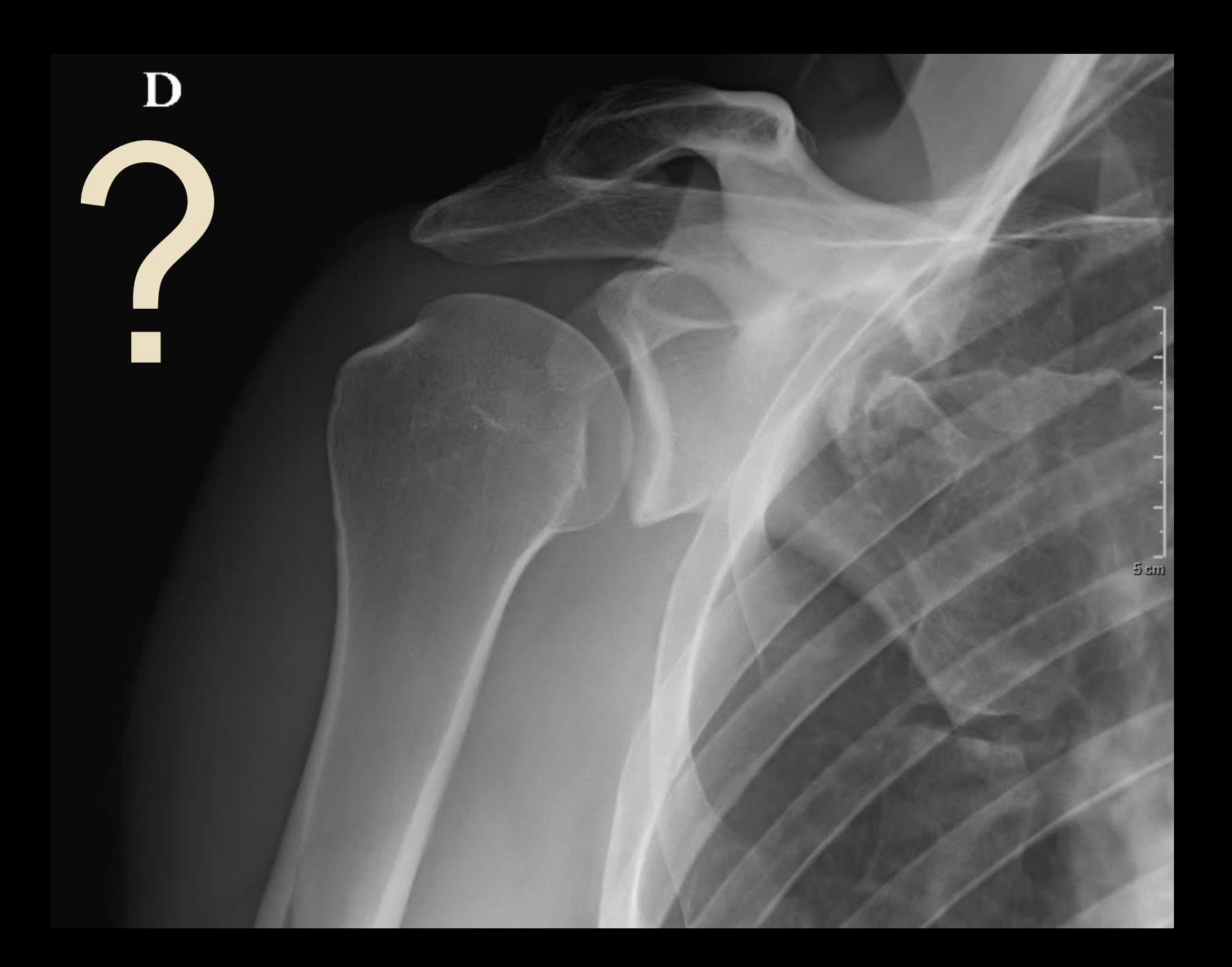
Objectifs

- Lignes osseuses corticales
- Lésions traumatiques de l'épaule
 - Lignes interrompues
 - Lignes additionnelles
 - Distances entre les lignes
- « Lésions de passage »
- Autres interlignes

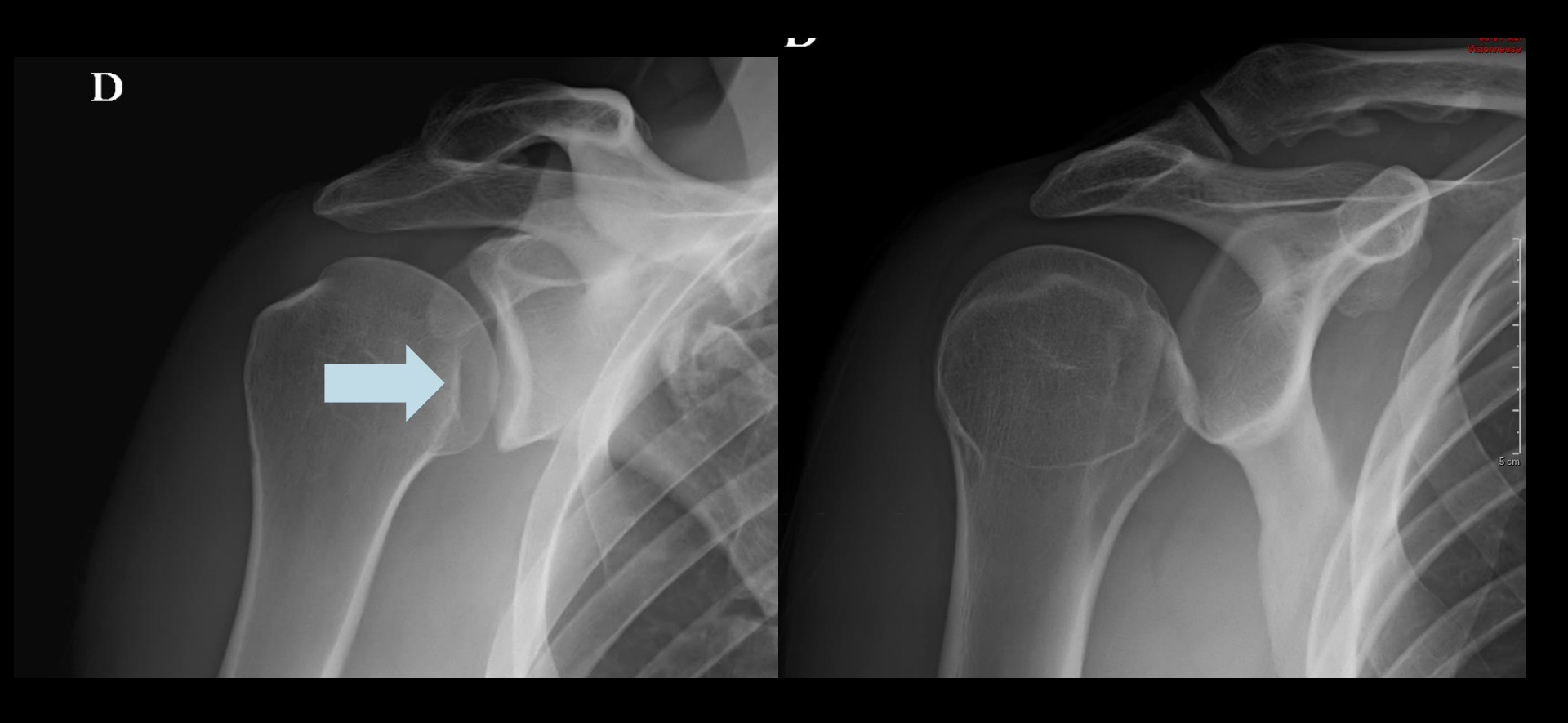




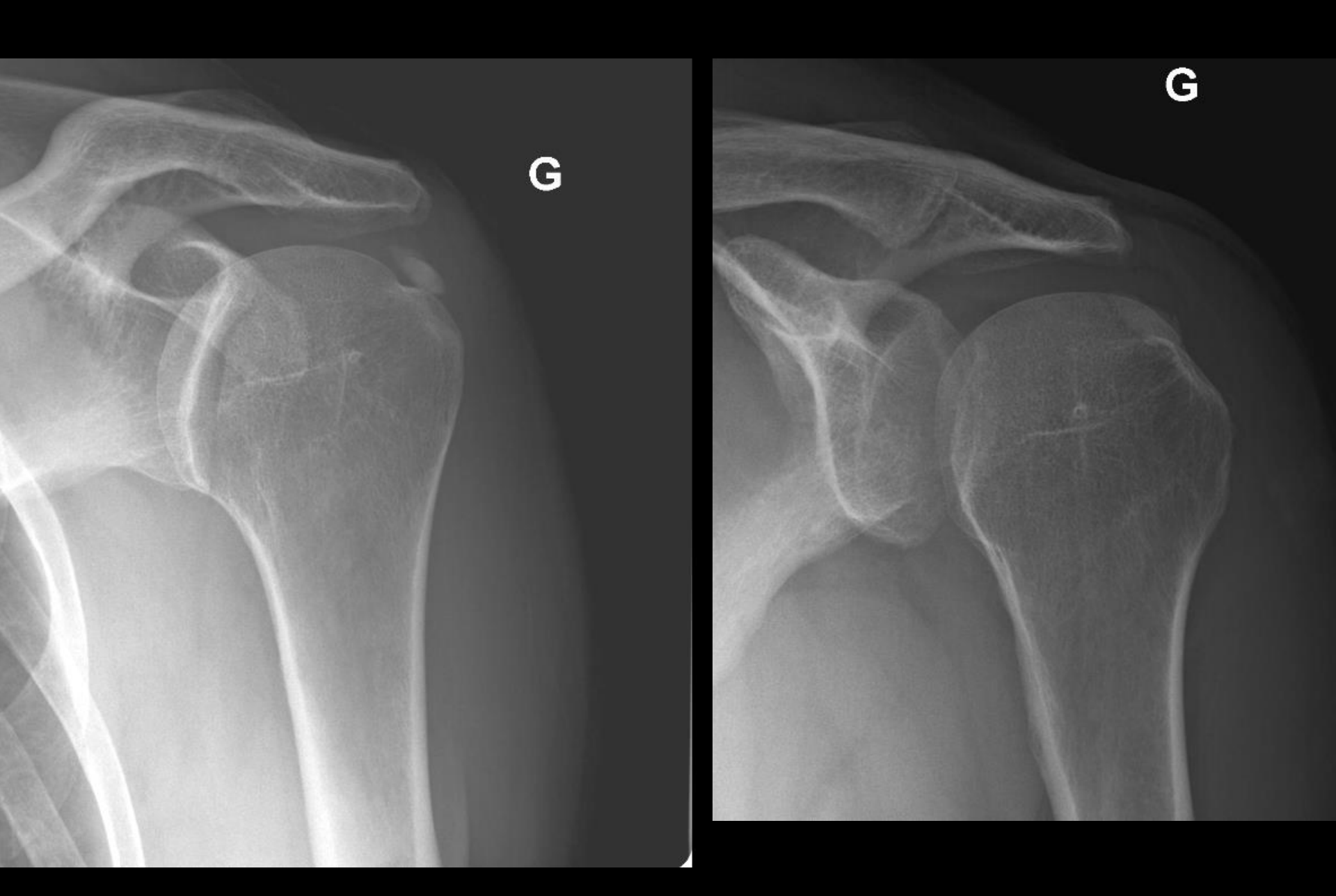
Interruption de ligne

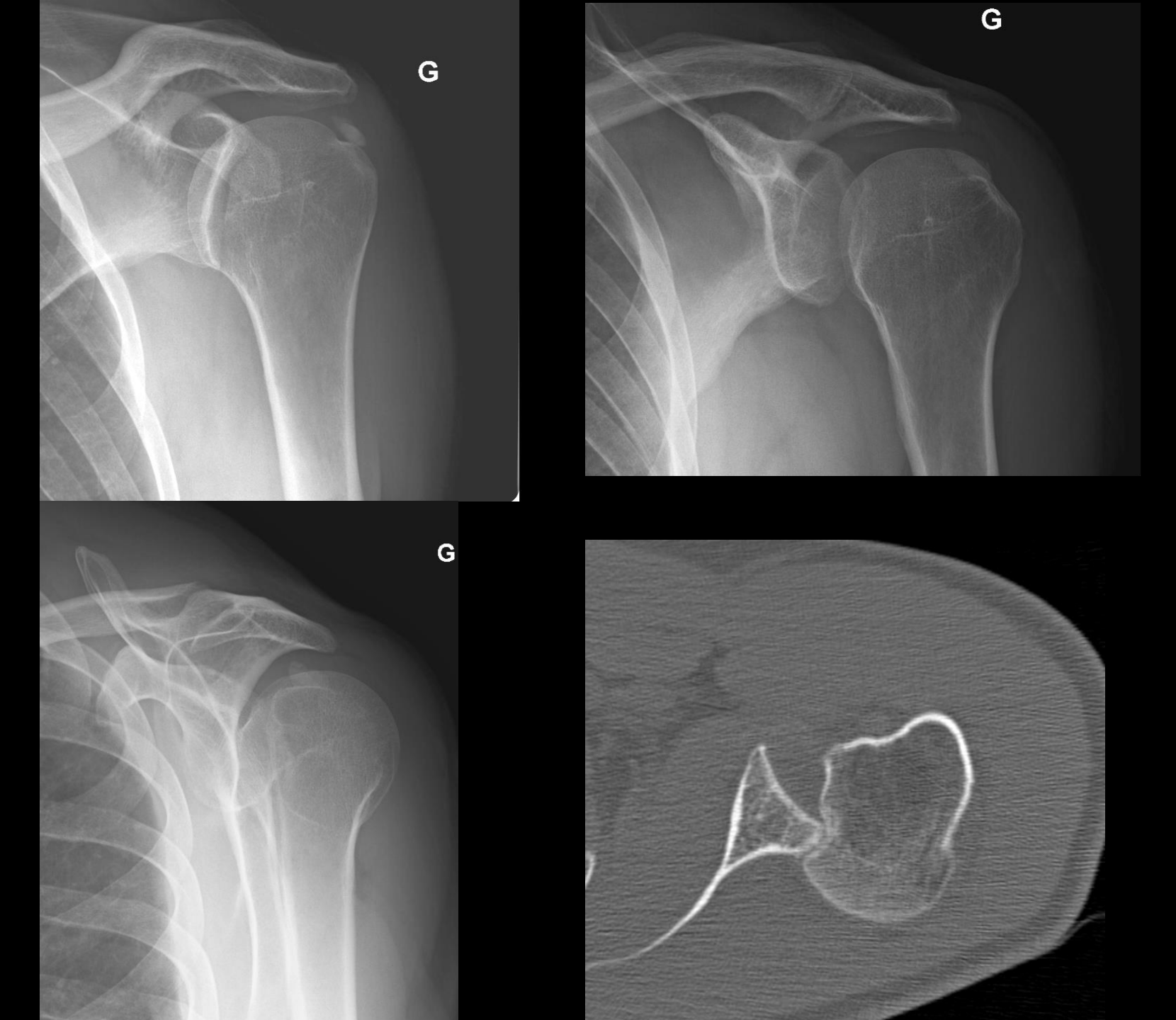


Ligne corticale en plus









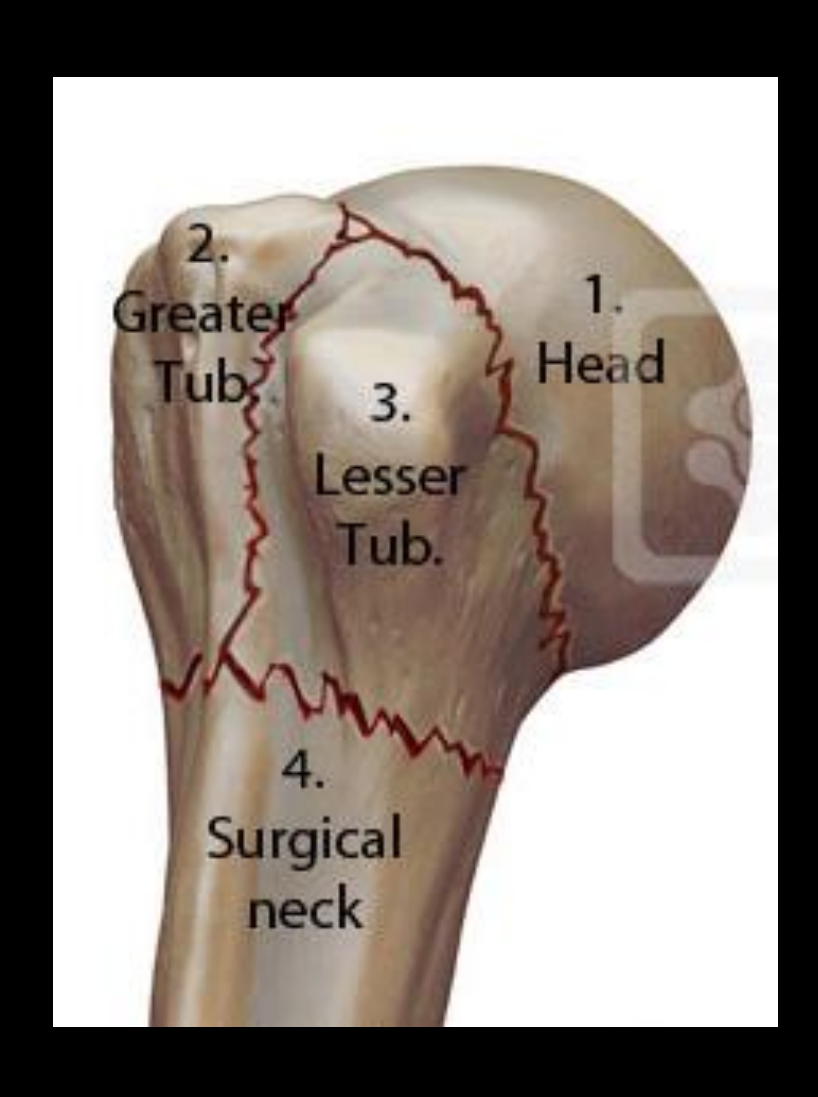
ORTHOPÉDIE ET TRAUMATOLOGIE PRATIQUES

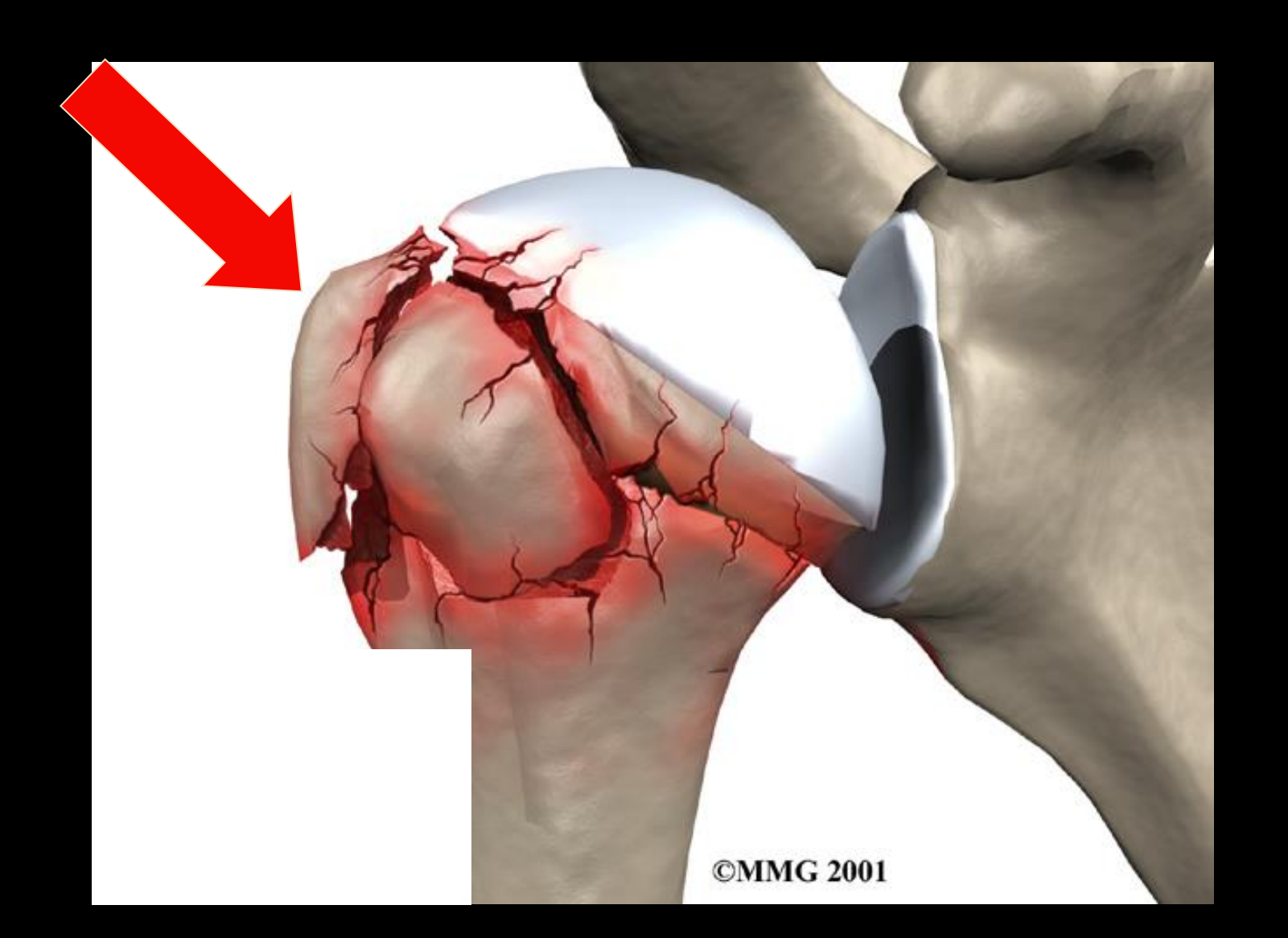
LES FRACTURES DEPLACEES DE L'HUMERUS PROXIMAL

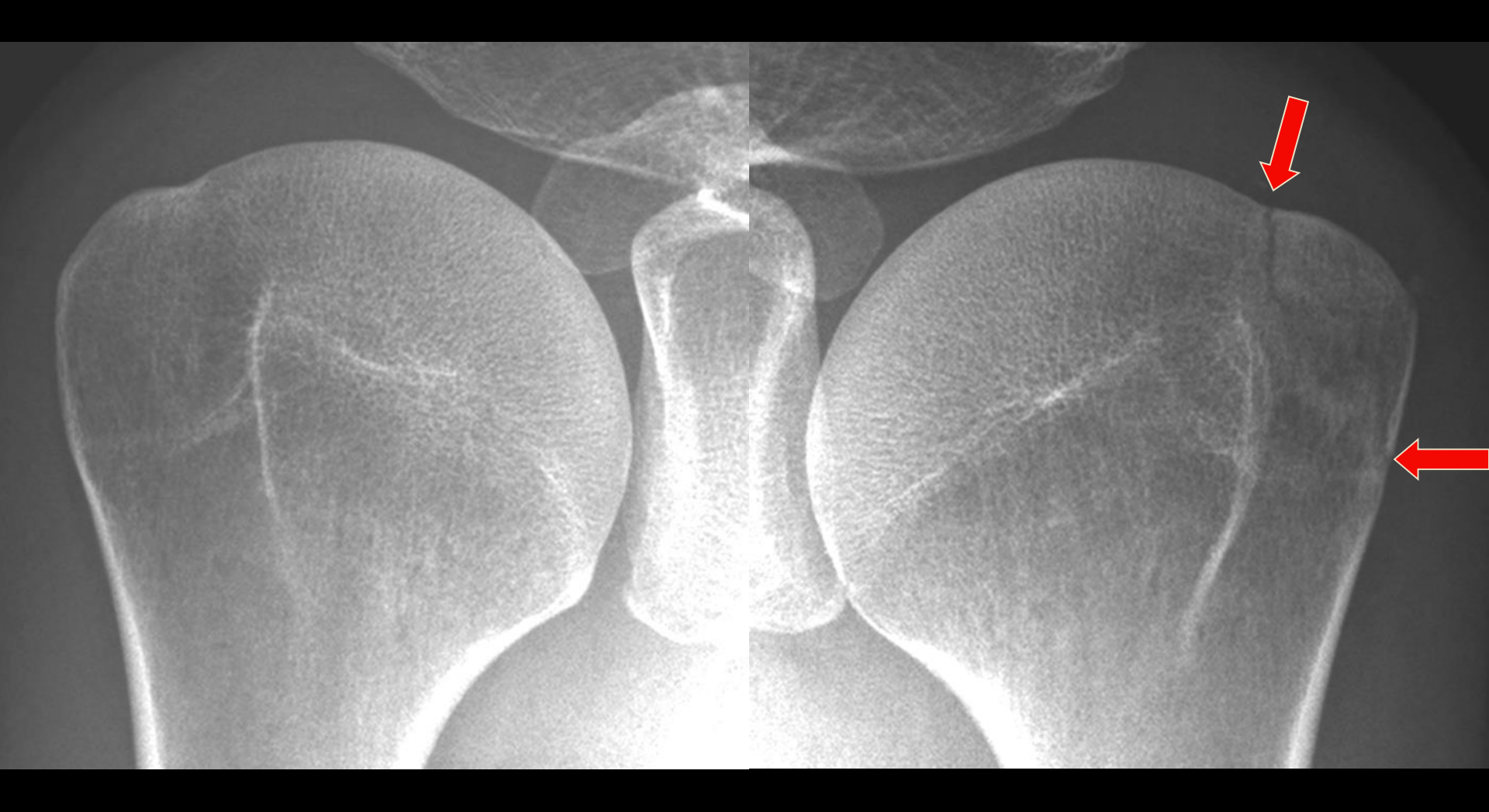
1	DEPLACEMENT MINIMAL	2 PARTIES	3 PARTIES	4 PARTIES	
II °	COL · ANATOMIQUE	7			
Ш	COL CHIRURGICAL	Q Q			
IV	GRANDE TUBEROSITE	?	6	80	
٧	PETITE TUBEROSITE	P	Po		ATTEINTE DE LA SURFACE
VI	FRACTURE- DISLOCATION ANTERIEURE	15	B	178	ARTICULAIRE
VII	FRACTURE- DISLOCATION POSTERIEURE	Pou	980	1700	Bu

Figure 3 - La classification de Neer

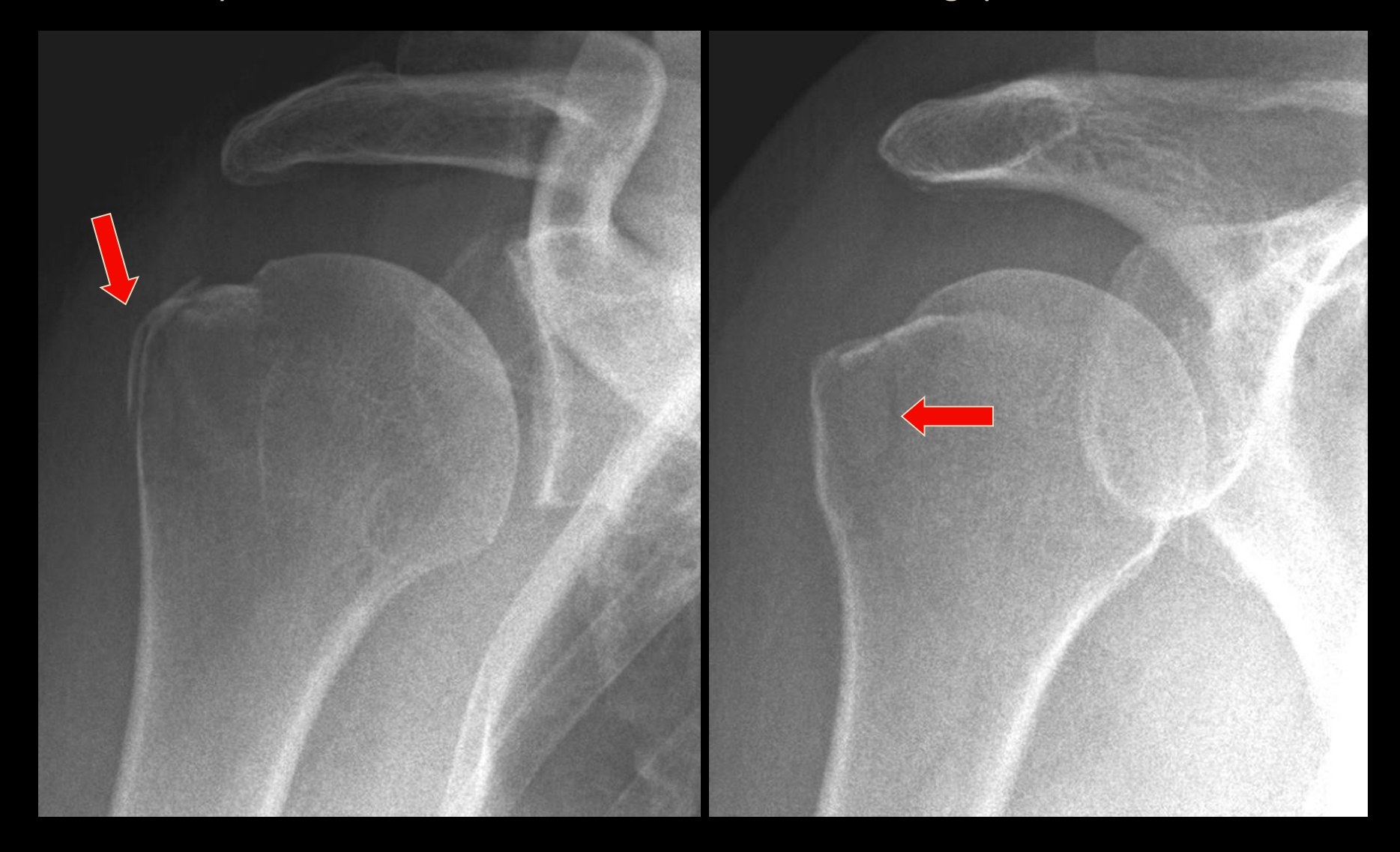
Fractures de l'extrémité proximale de l'humérus.



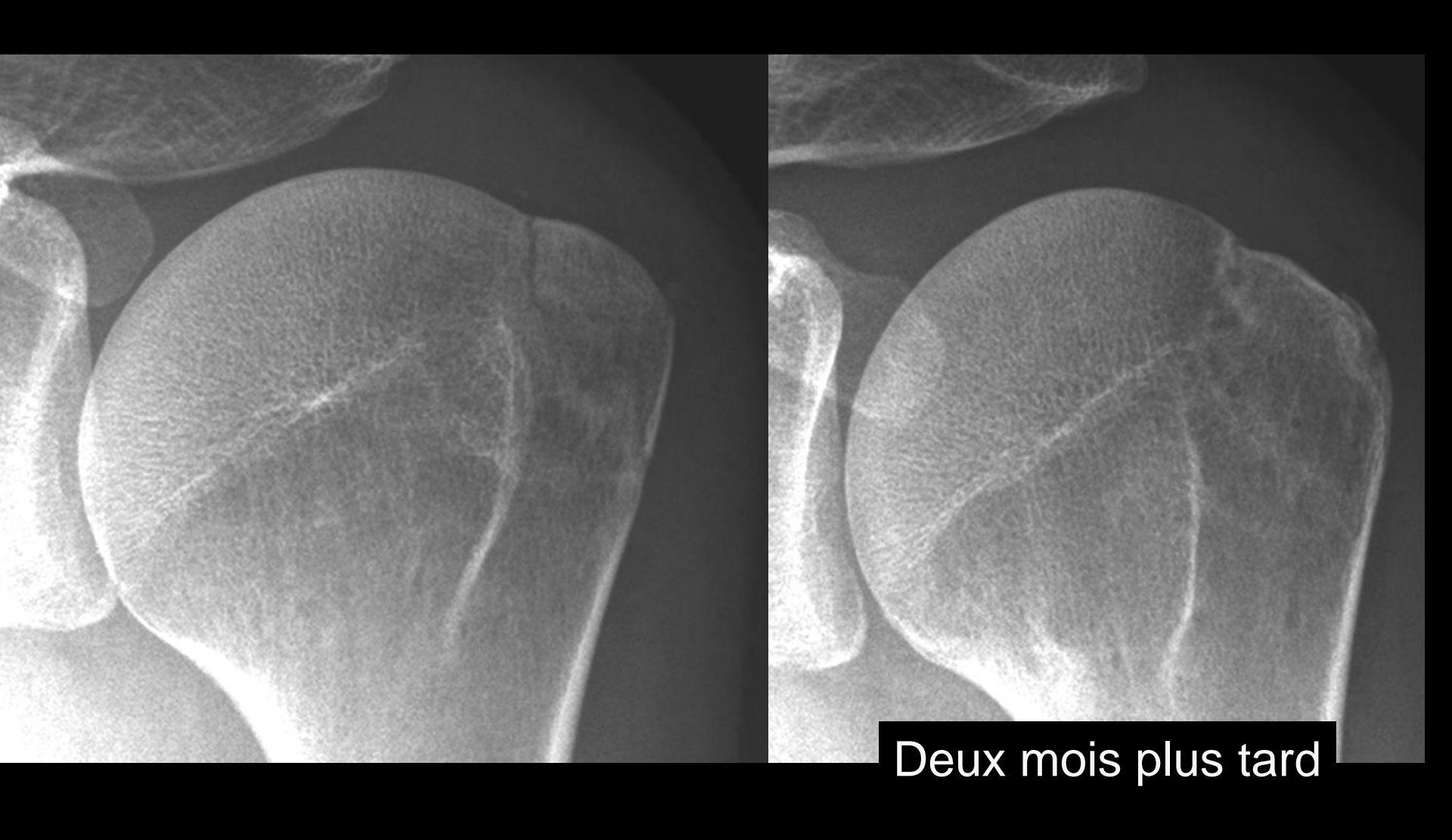




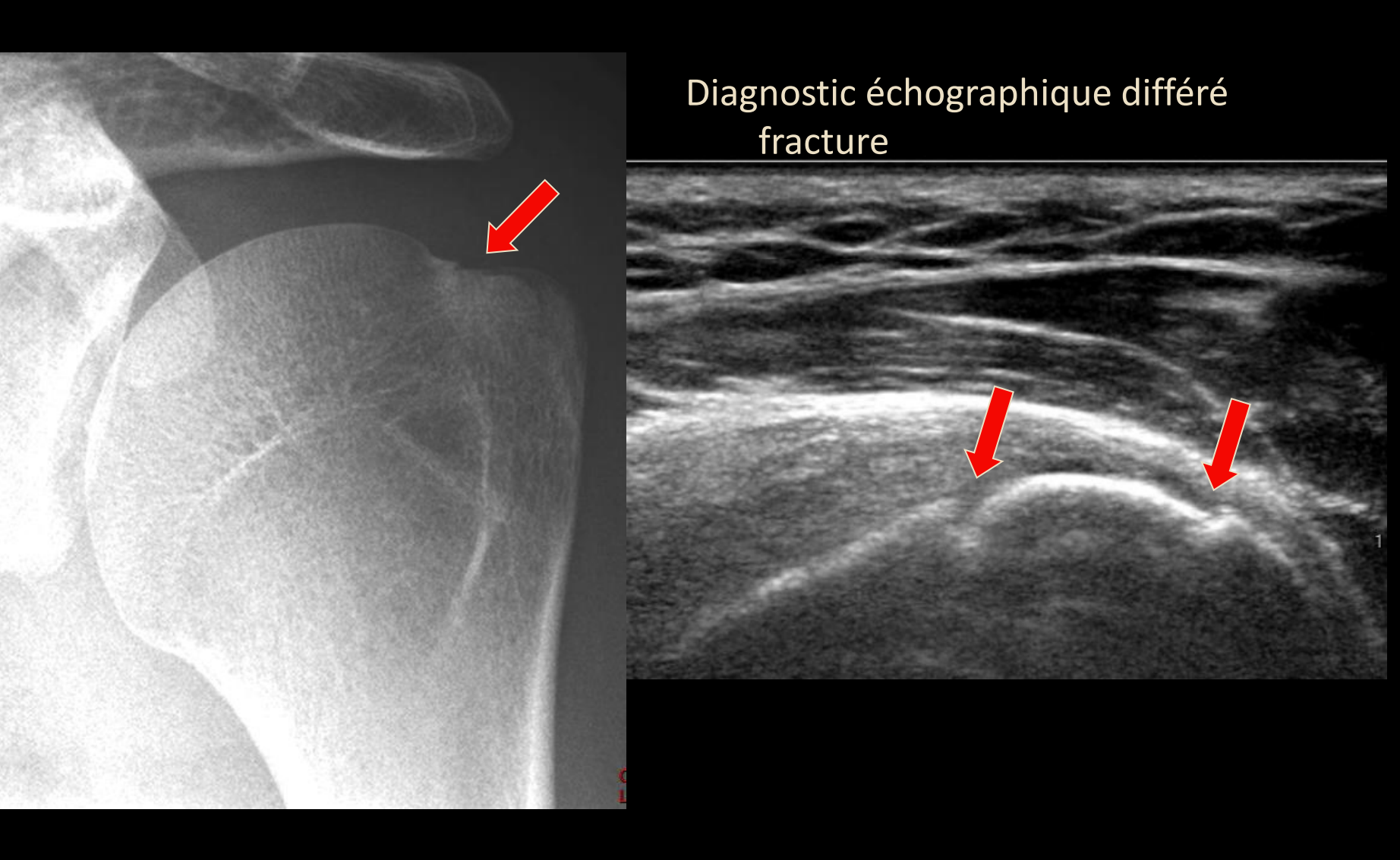
Importantes variations selon incidences radiologiques

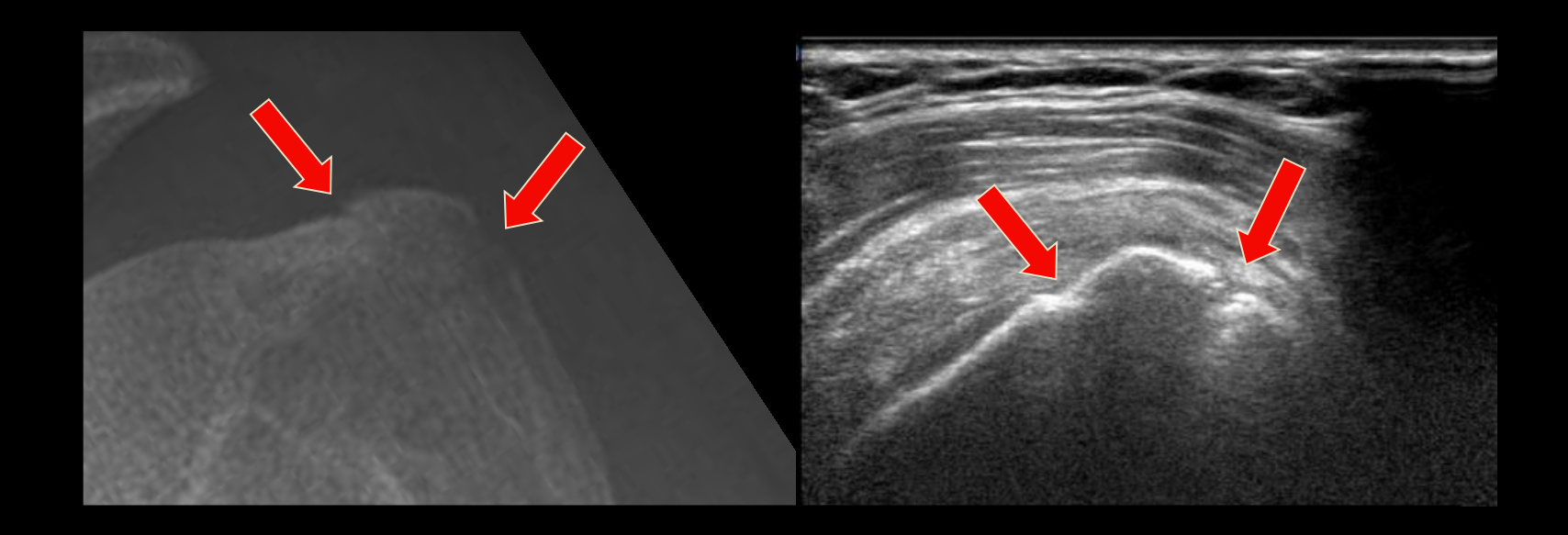


Importantes variations selon délais









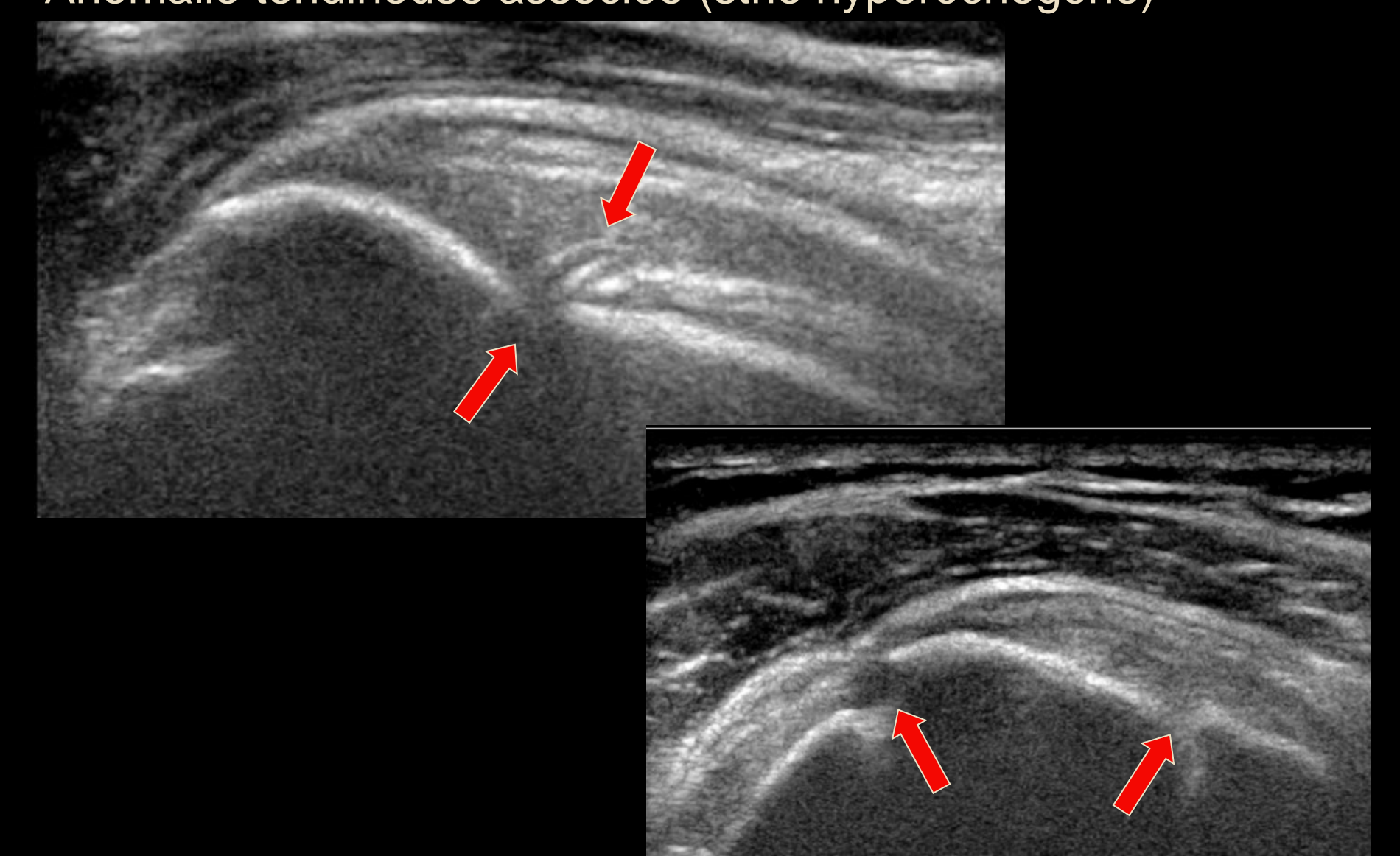
Aspect échographiques variables des fractures operculaires





« Dédoublement » de la corticale

Aspect échographiques variables des fractures operculaires Interruptions corticales Anomalie tendineuse associée (strie hyperéchogène)

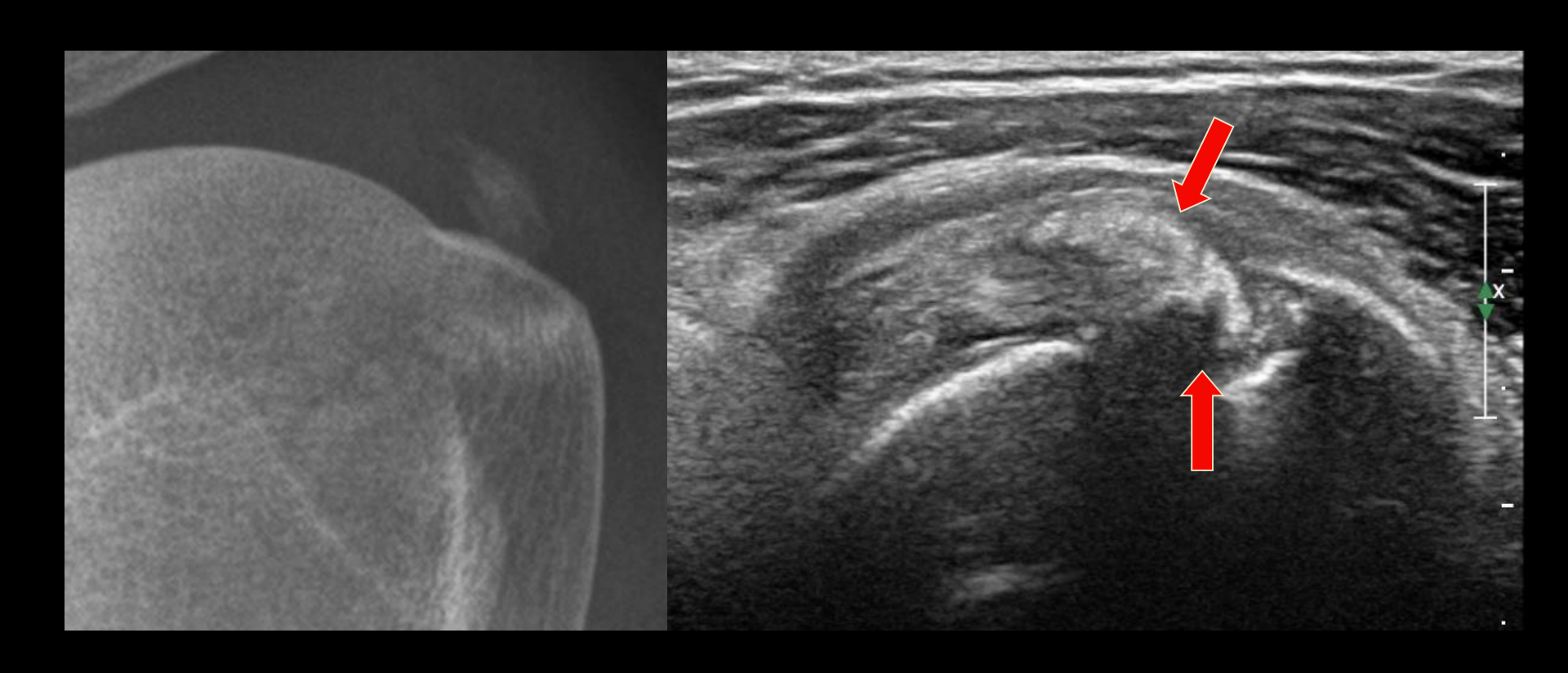




Apparition différée d'une calcification dans le prolongement du plan fracturaire

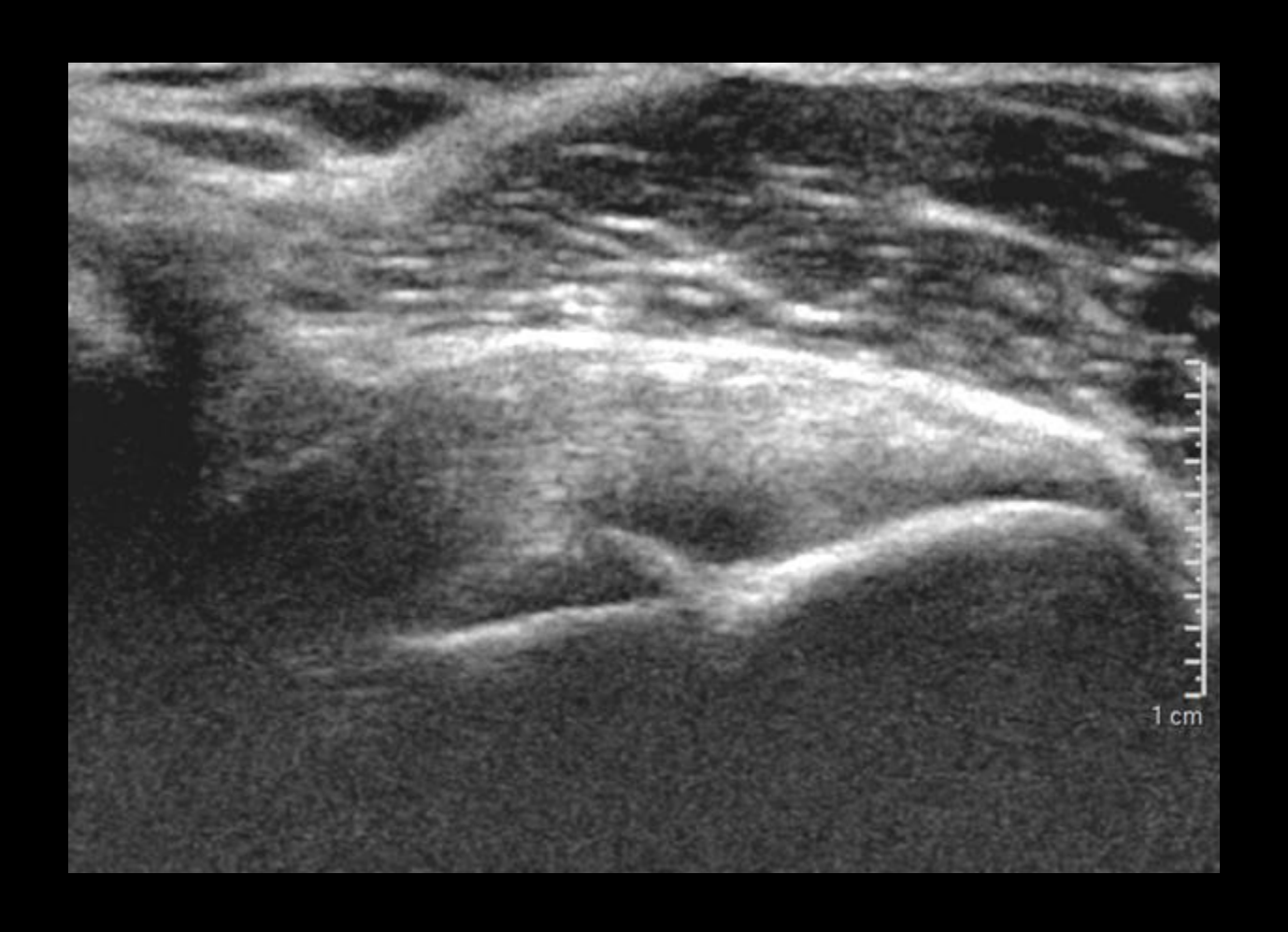
D.D.échographique de la fracture operculaire

Tendinopathie calcifiante et érosion osseuse



D.D.échographique de la fracture operculaire

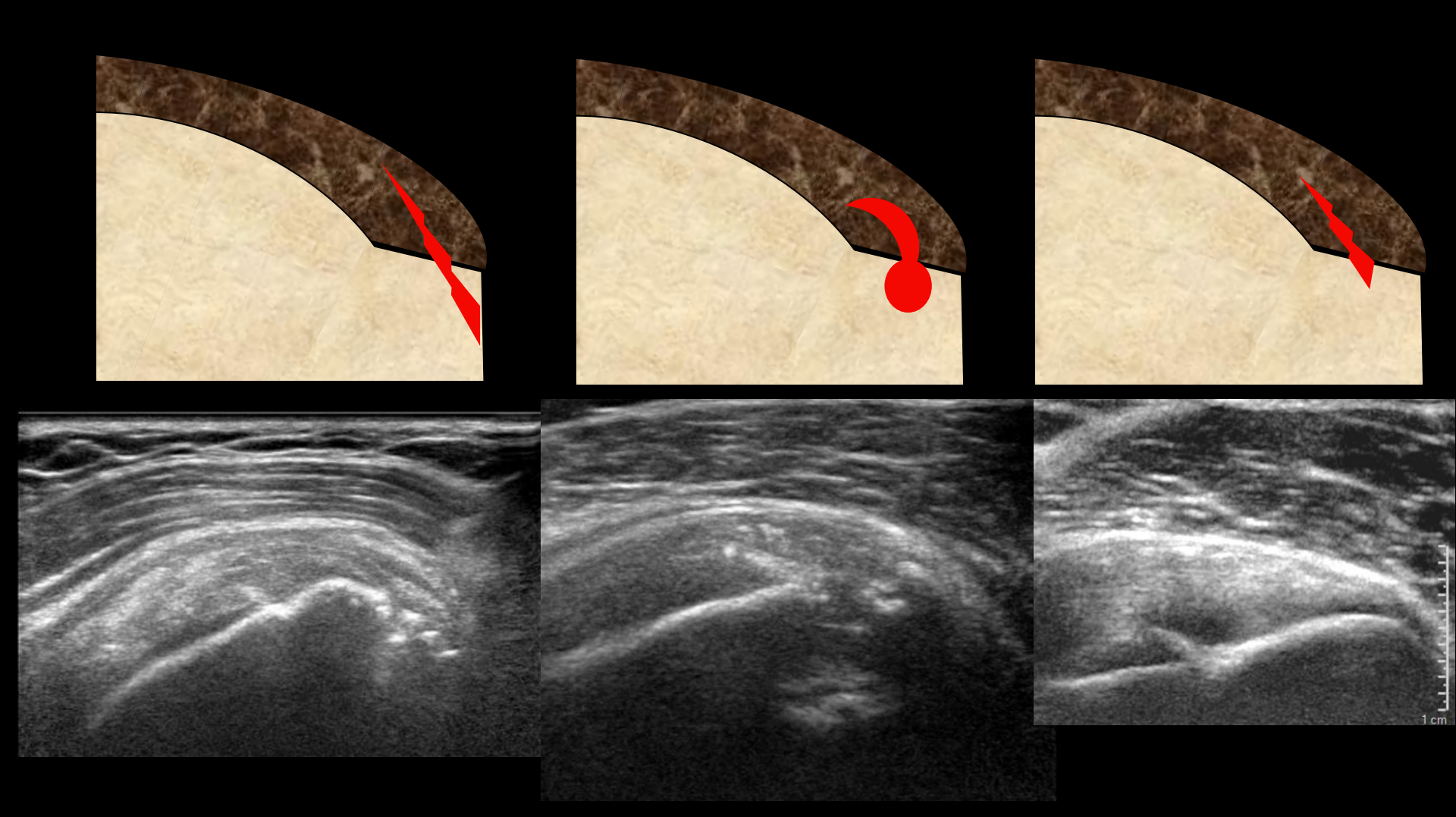
Tendinopathie calcifiante et érosion osseuse Tendinopathie fissuraire et érosion osseuse

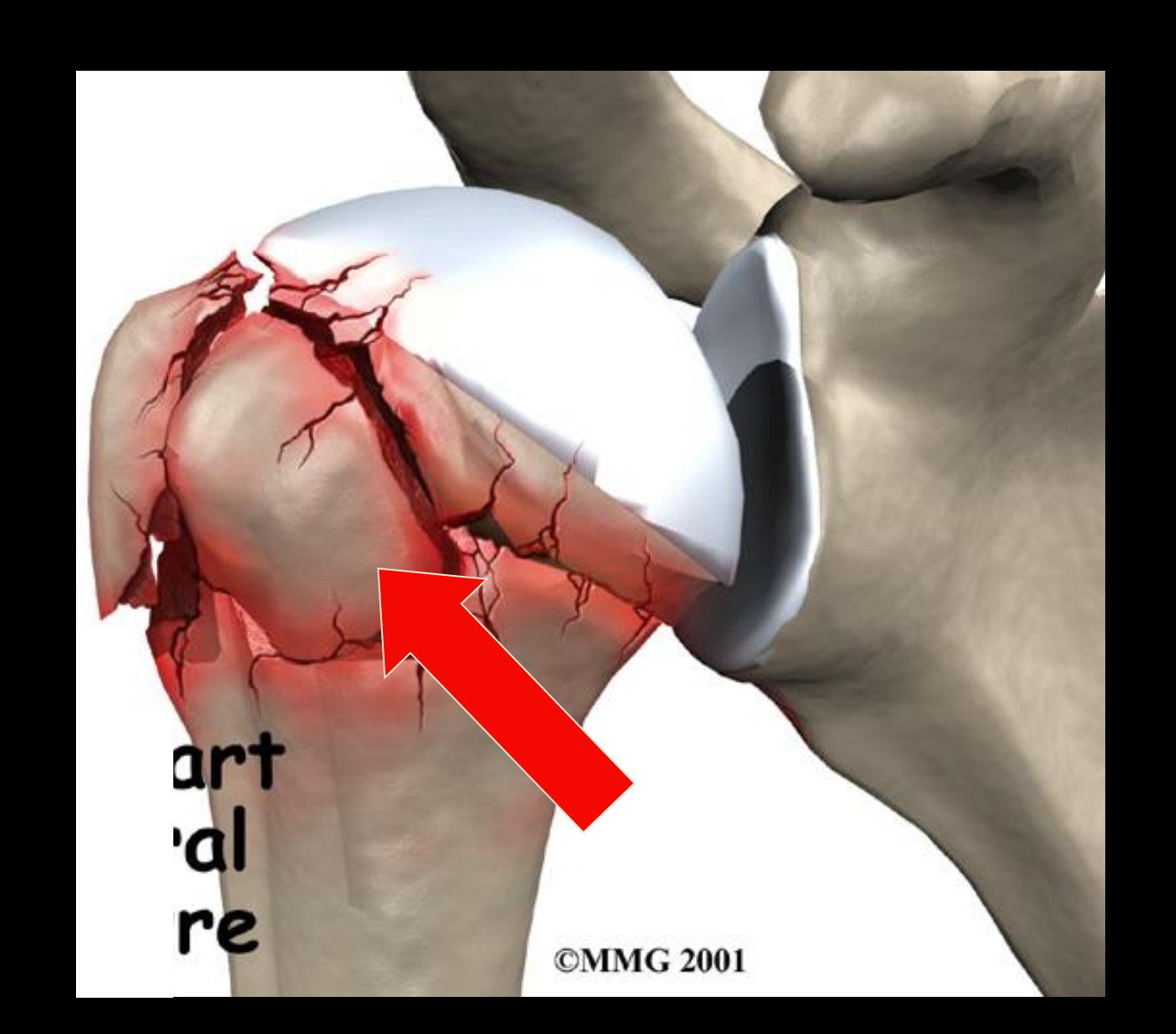


Fracture Operculaire

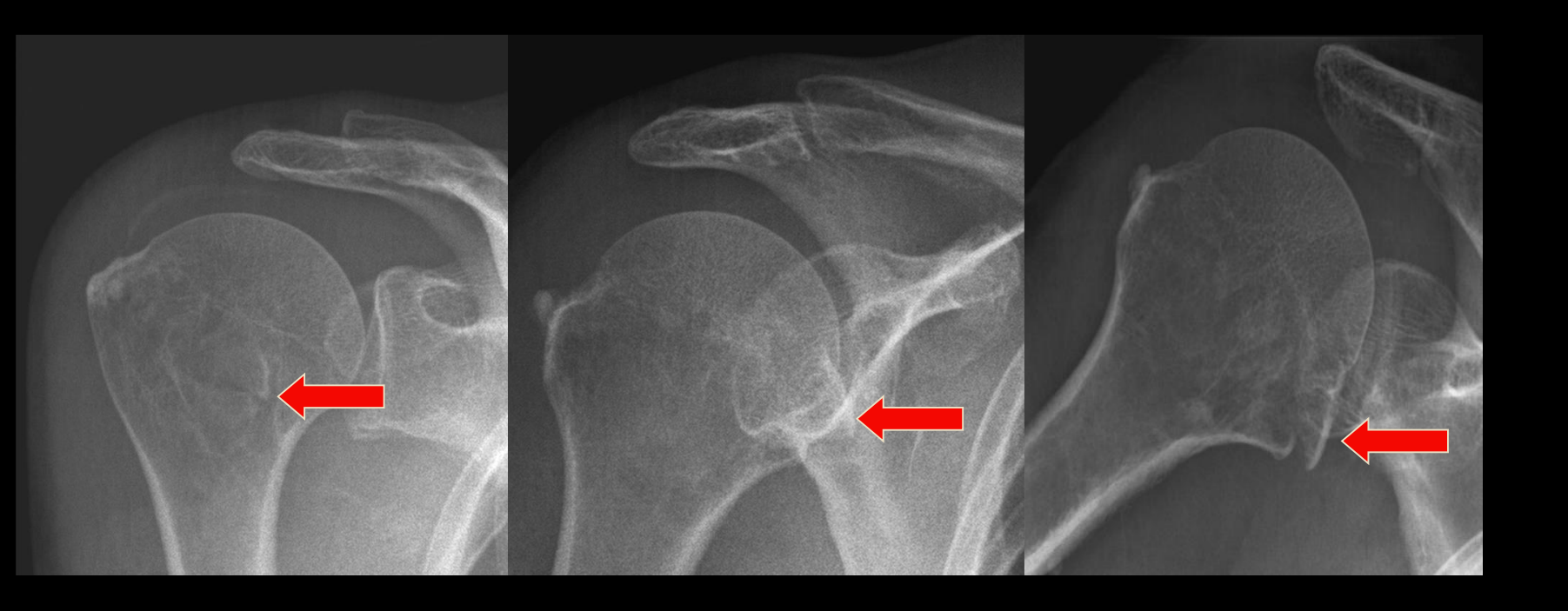
Tendinopathie calcifiante

Rupture tendineuse

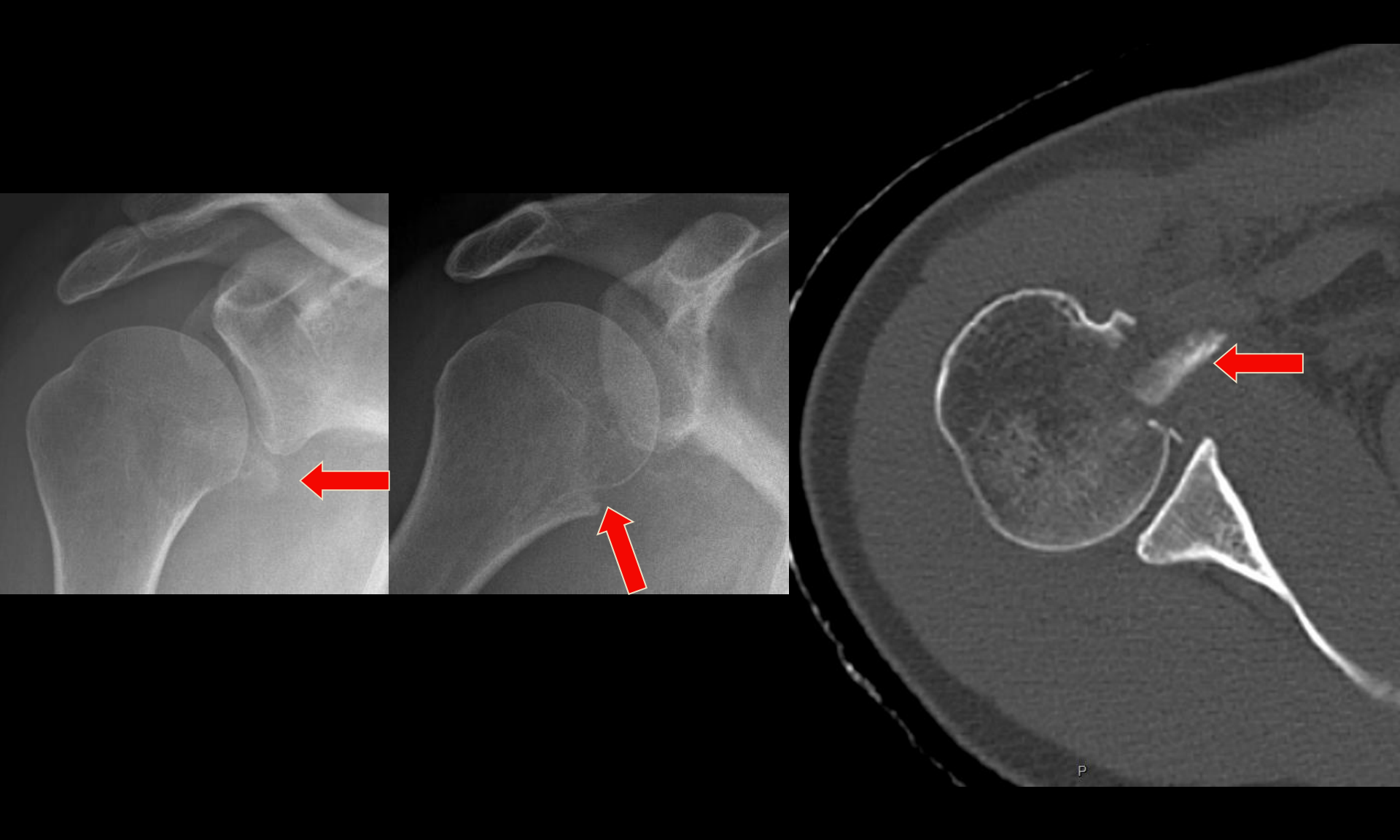


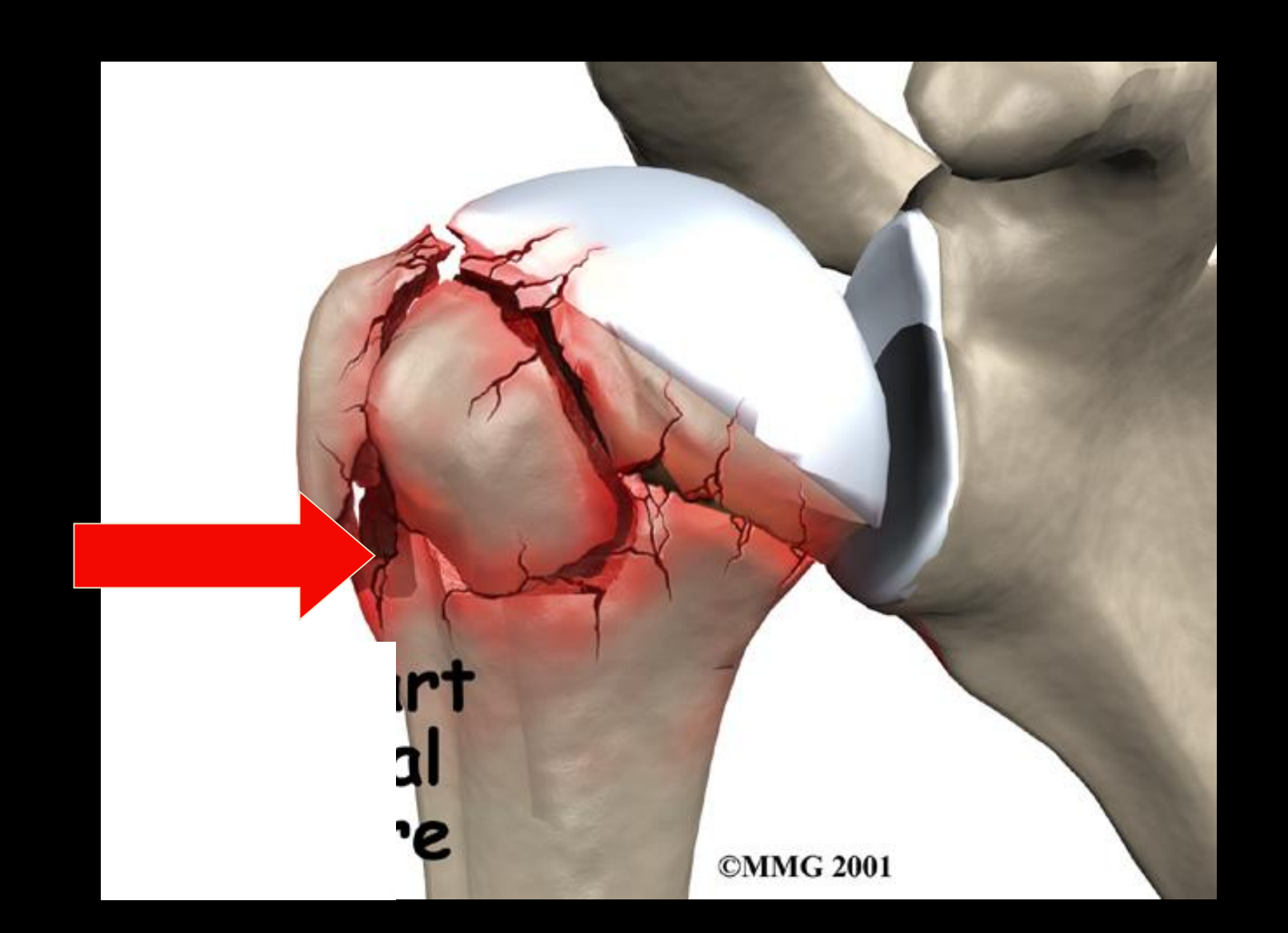




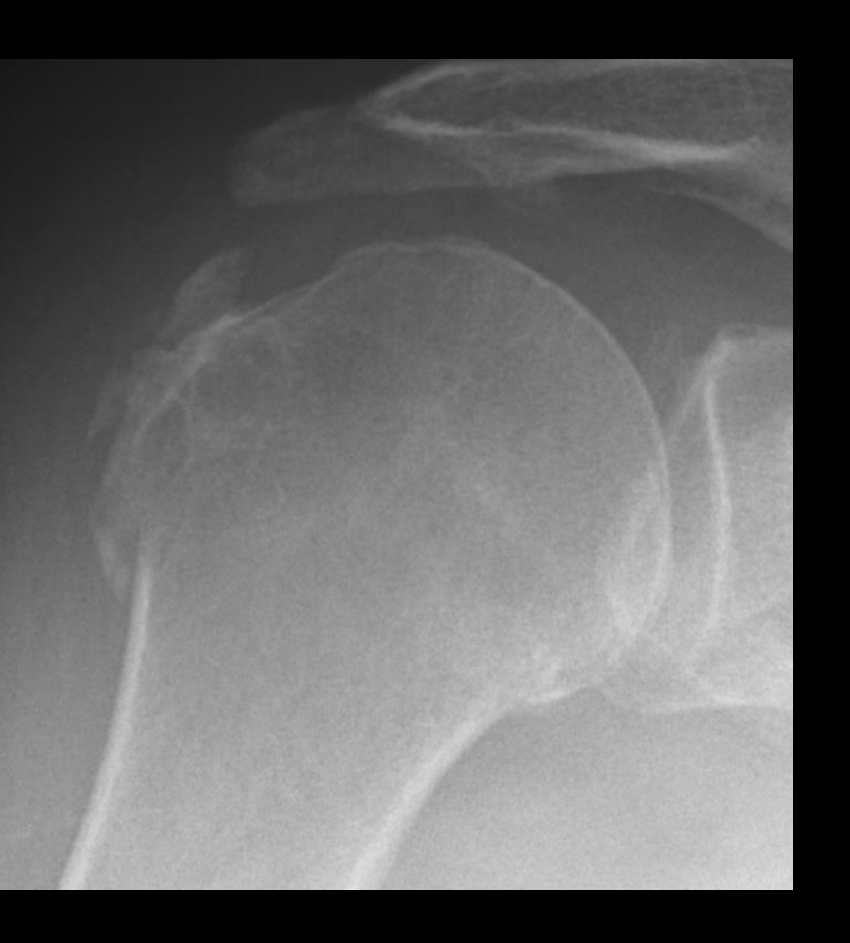














3 jours plus tard



3. Fracture occulte du col chirurgical « démasquée » au contrôle post-réduction



Objectifs

- Lignes corticales de l'épaule
- Fractures de l'épaule
- « Lésions de passage »
 - Autres interlignes

Introduction

Instabilité de l'épaule : un problème fréquent

- Cadre très large
 - Traumatique sans récidive
 - **–**
 - Instabilité chronique

Radiographie : contribution / / coût

Instabilité / définition

- Perte de contact, partielle ou complète
- permanente (statique) ou transitoire (dynamique)
- entre les surfaces articulaires



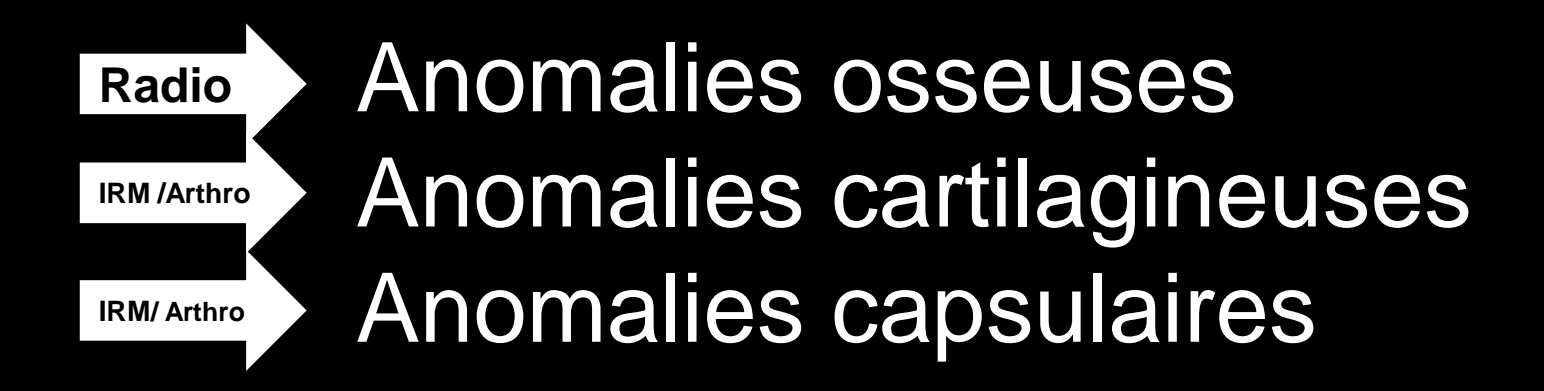
Instabilité / Place de l'imagerie

- Démontrer instabilité
- déterminer la direction principale
- quantifier anomalies à l'origine de récidive



Instabilité / Place de l'imagerie

- Démontrer instabilité
- Déterminer la direction principale
- Quantifier anomalies à l'origine de récidive



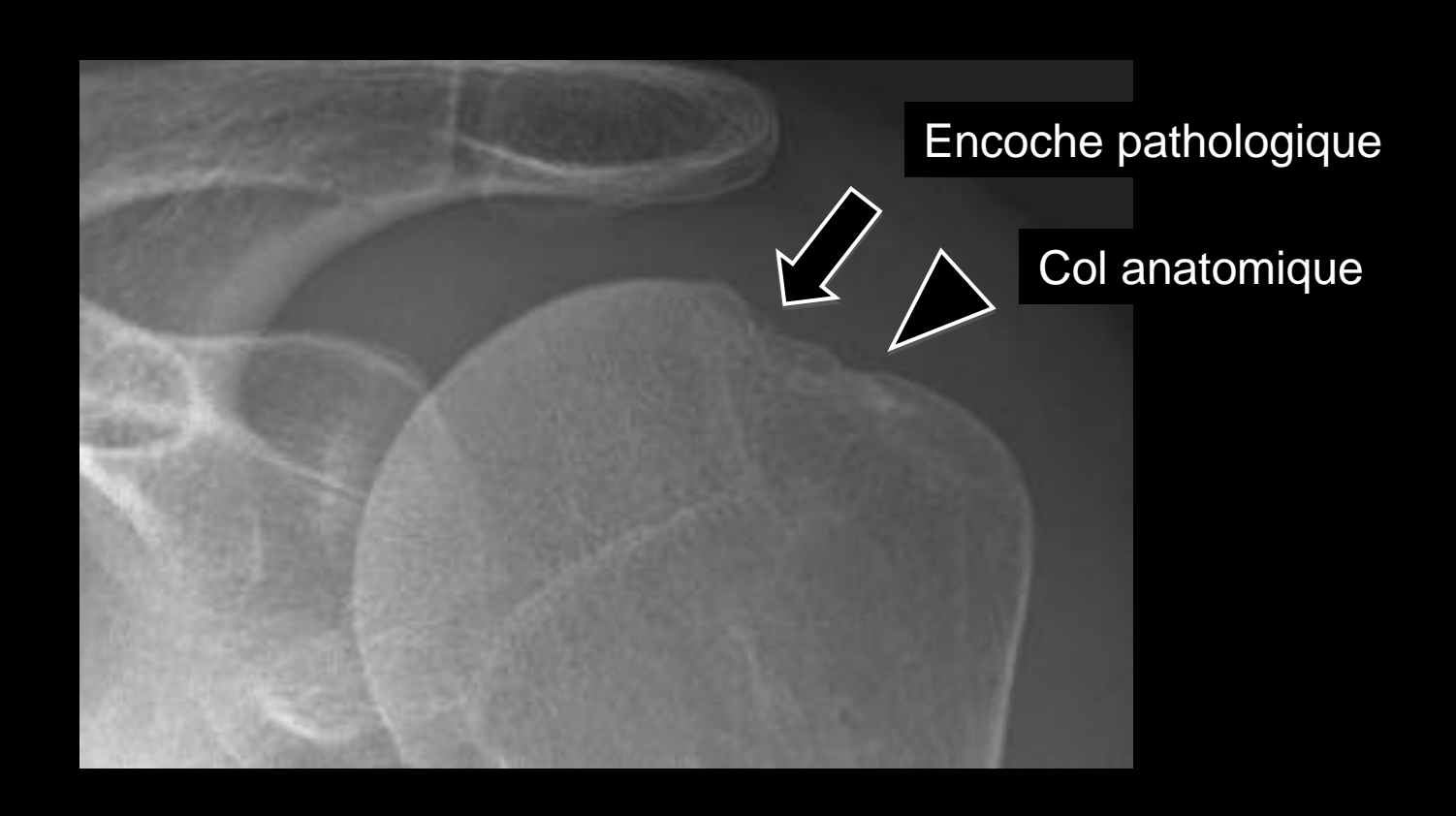
- 1. Définition et place de l'imagerie
- 2. Instabilité antérieure/inférieure
 - 1. Hill-Sachs / Malgaigne
 - 2. Bankart
- 3. Anomalies osseuses moins fréquentes
 - 1. Instabilité postérieure (Hill-Sachs inversé)
 - 2. Ossifications ligament gléno-huméral inférieur
 - 3. Ossification insertion du petit rond

THE GROOVED DEFECT OF THE HUMERAL HEAD

A FREQUENTLY UNRECOGNIZED COMPLICATION OF DISLOCATIONS OF THE SHOULDER JOINT By HAROLD A. HILL, M.D., and MAURICE D. SACHS, M.D., San Francisco

From the Department of Medicine (Radiology), Stanford University School of Medicine, and the San Francisco Hospital, Department of Public Health

Lésion de Hill-Sachs / Malgaigne Encoche/dépression anormale Secteur lateral / supérieur / postérieur de la surface articulaire

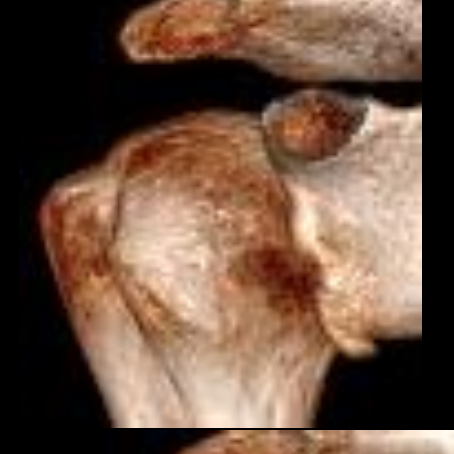


Visibilité variable de la lésion Selon la rotation de l'humérus

Importance de la rotation humérale pour détection H-Sachs

Rotation latérale pas visible





Rotation neutre ?





Rotation médiale Encoche H-Sachs





Importance de l'angulation du Rxpour détection H-Sachs

Rayon horizontal Encoche?

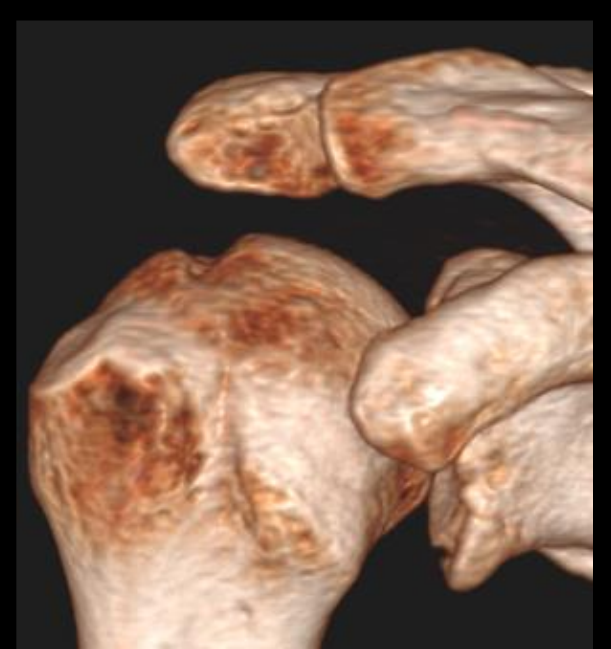




Projection articulation A-C!

Rayon descendant Encoche certaine

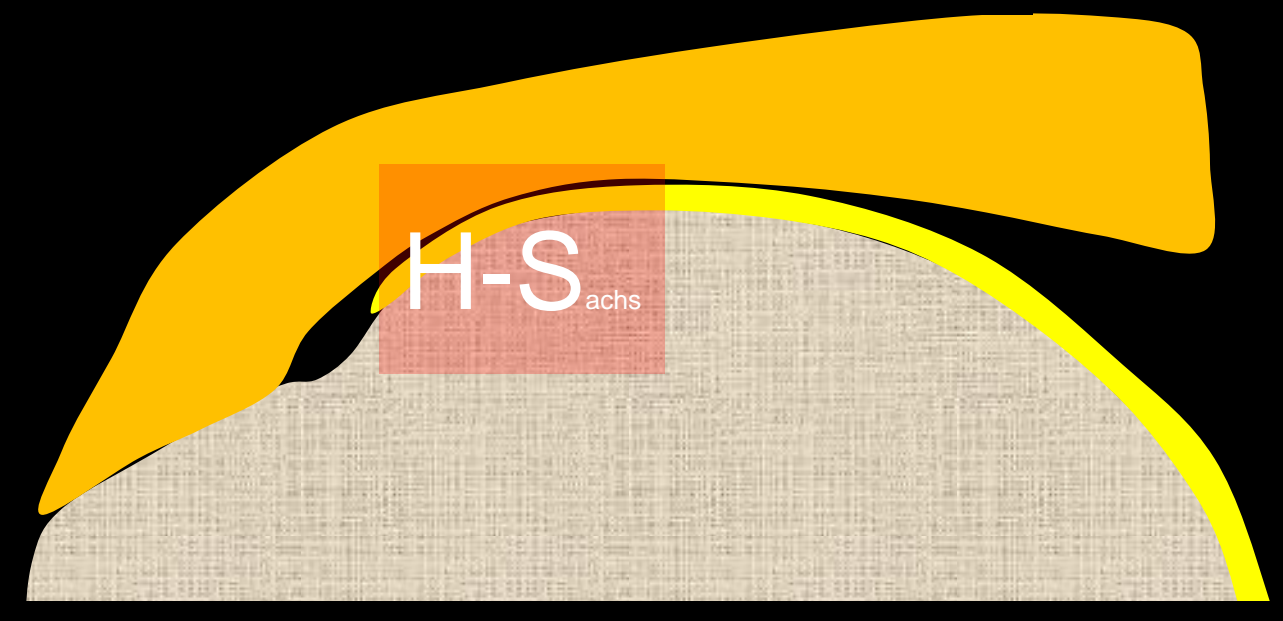




Lésion de Hill-Sachs/Malgaigne



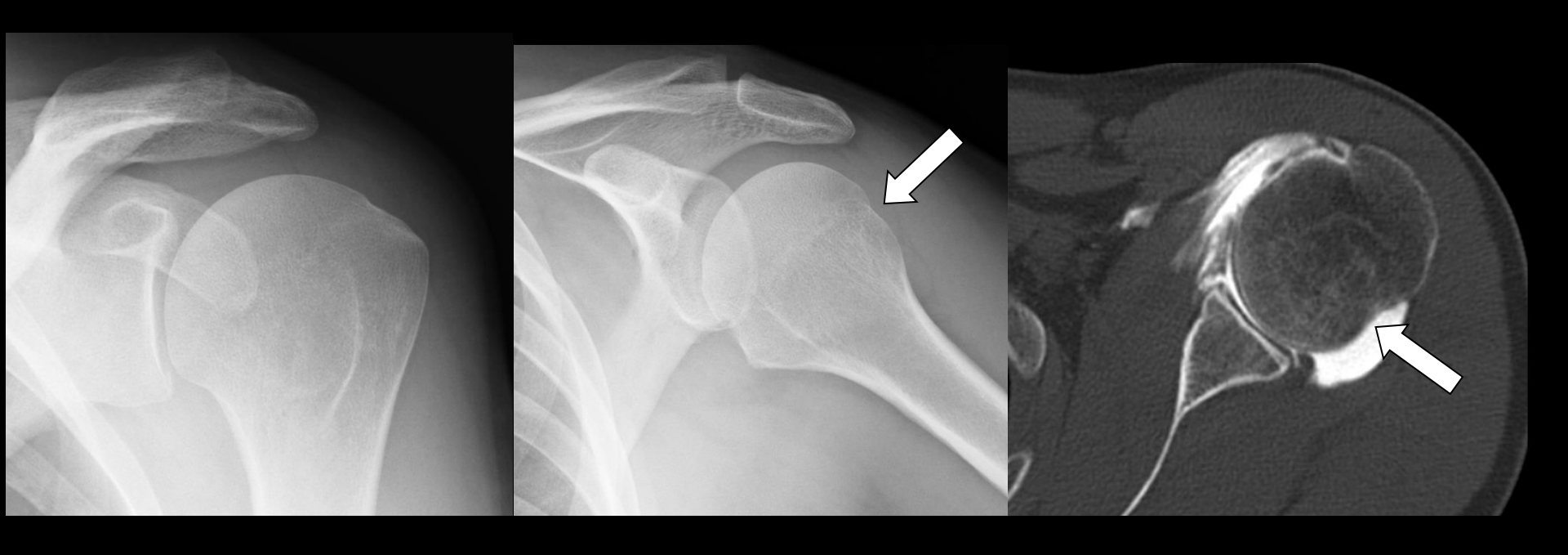
- 1.Dépression anatomique face postérieure tête humérale
- 2. Variabilité de la jonction cervico-céphalique
- 2. Anomalies synoviales
- 3. Tendinopathies



Hill-Sachs

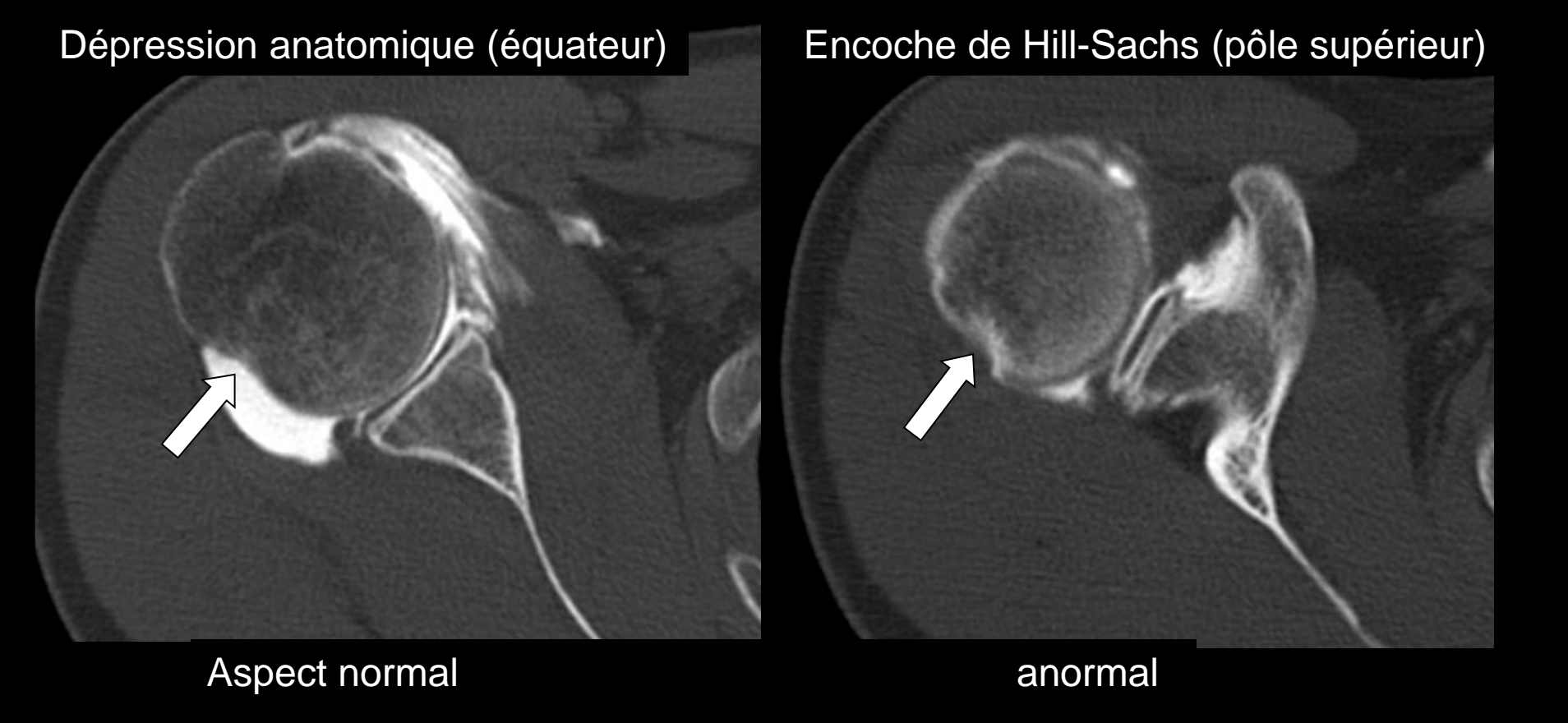
1.Dépression anatomique face postérieure tête humérale

- 2. Variabilité de la jonction cervico-céphalique
- 2. Anomalies synoviales
- 3. Tendinopathies

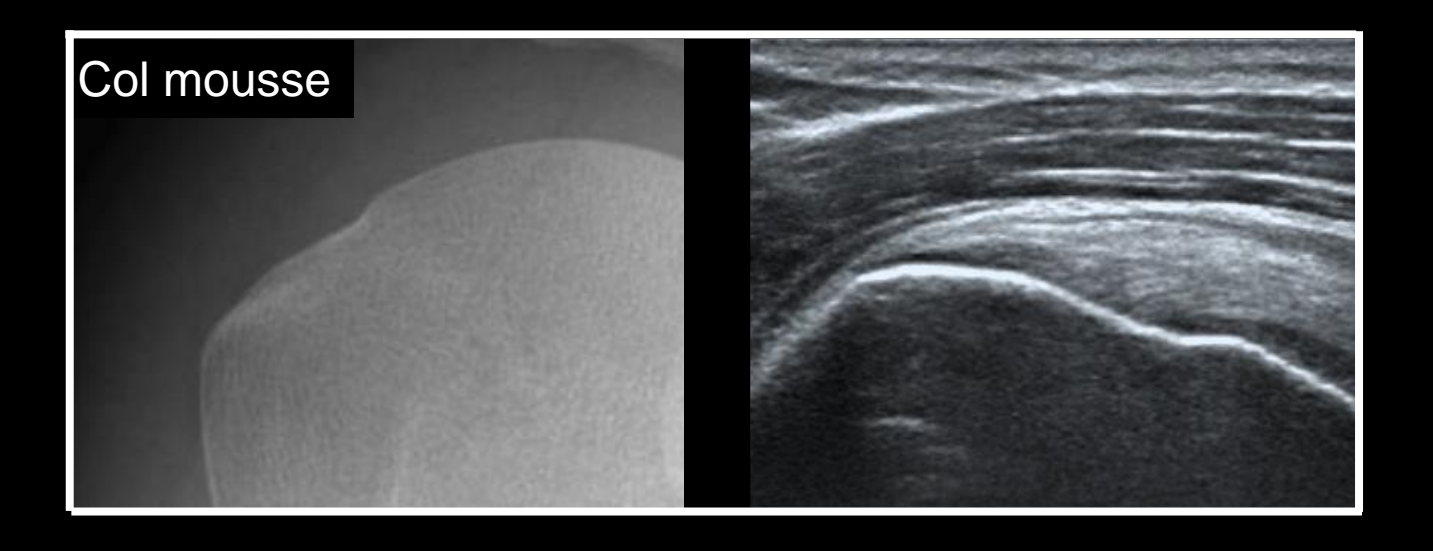


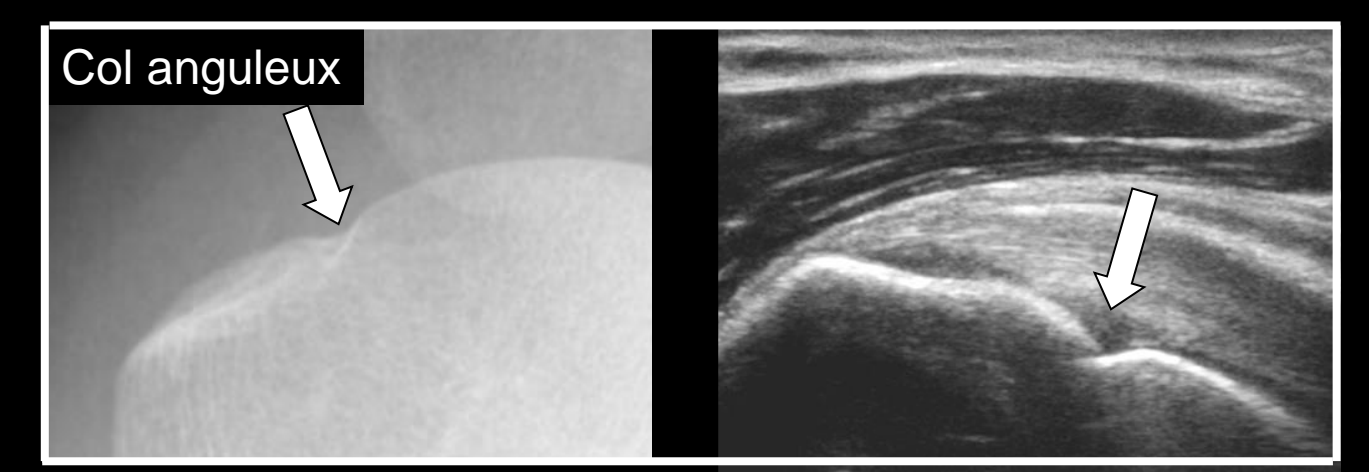
1.Dépression anatomique face postérieure tête humérale

- 2. Variabilité de la jonction cervico-céphalique
- 2. Anomalies synoviales
- 3. Tendinopathies

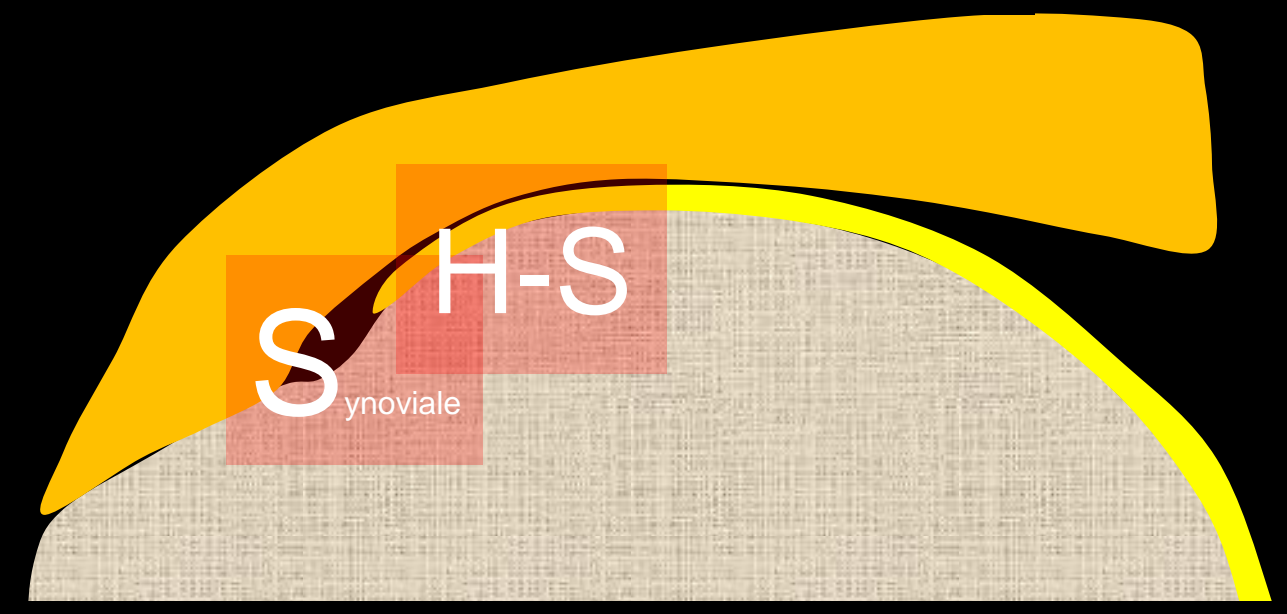


- 1.Dépression anatomique face postérieure tête humérale
- 2. Variabilité de la jonction cervico-céphalique
- 2. Anomalies synoviales
- 3. Tendinopathies



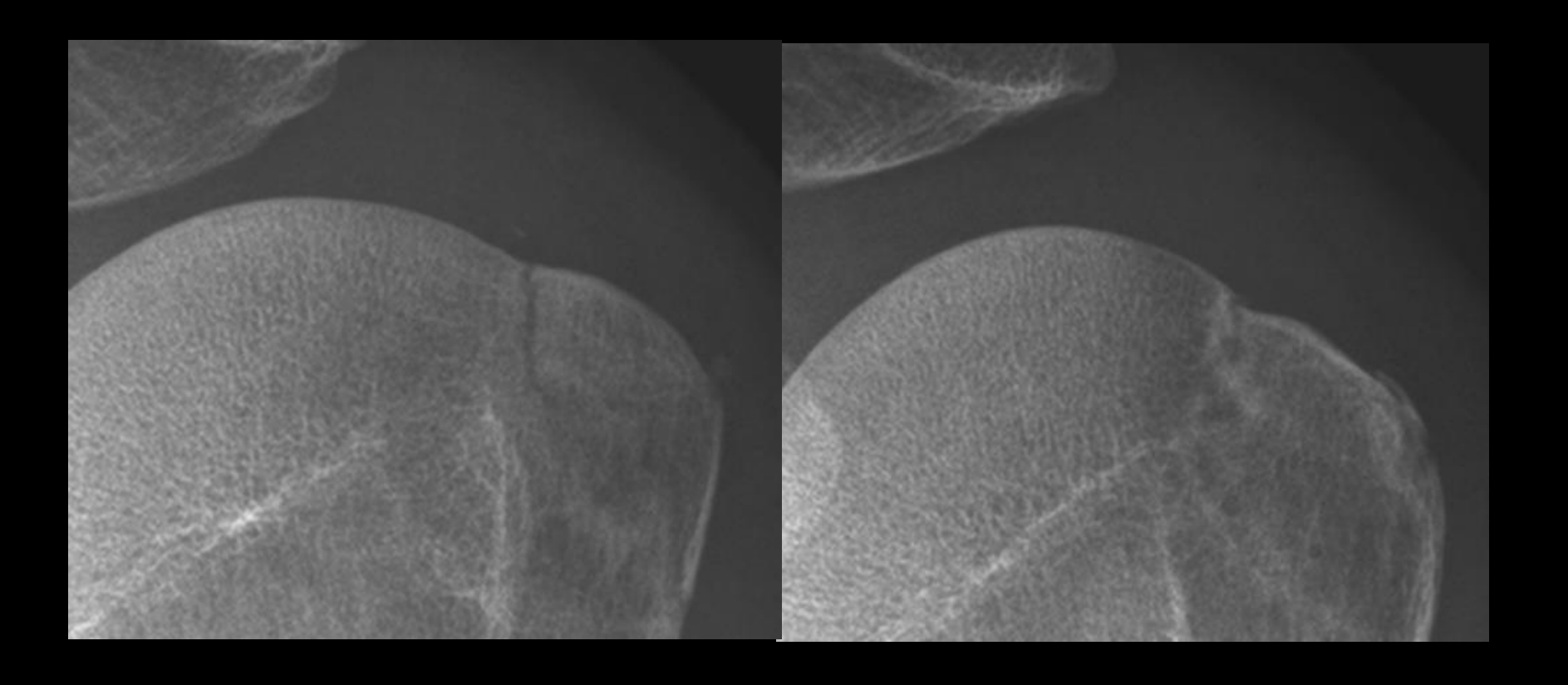


- 1.Dépression anatomique face postérieure tête humérale
- 2. Variabilité de la jonction cervico-céphalique
- 2. Anomalies synoviales
- 3. Tendinopathies



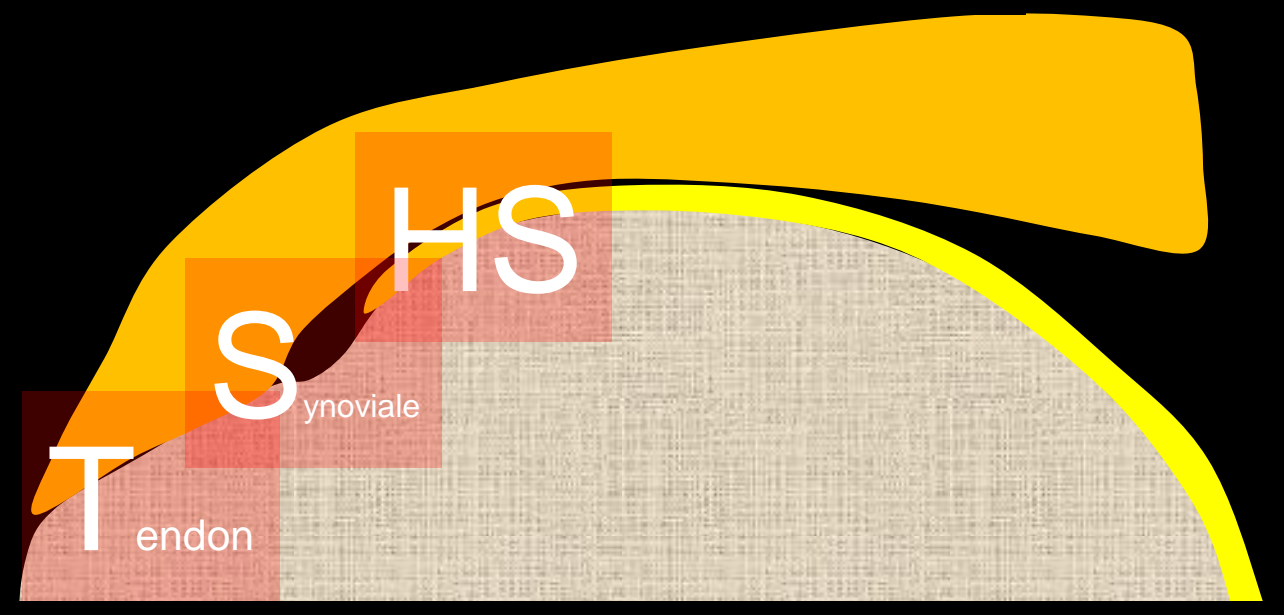
Inclusions synoviales Érosions marginales

Fausse lésion de H-Sachs sur fracture tubérositaire



2 mois plus tard

- 1.Dépression anatomique face postérieure tête humérale
- 2. Variabilité de la jonction cervico-céphalique
- 2. Anomalies synoviales
- 3. Tendinopathies



Notions à retenir - Lésion de Hill-Sachs

Fréquence varie selon séries

Systématiquement présente en cas d'instabilité récidivante

Plus fréquent chez sujets jeunes (coiffe intacte)

Plus rare chez sujet agé (pas de force de rappel ? Traumatisme basse énergie ?)

Intérêt diagnostic +++

Si présent, luxation antéro-inférieure

Intérêt thérapeutique réduit

Si visible sur incidence de face = tres large encoche = facteur auto-entretenant

- Trier - Mode Juxtaposition Trier - Mode Juxtaposition - Trier - Mode Juxtaposition ens - Série - Trier - Mode Juxtaposition

6 décembre 2015

5 janvier 2016

10 février 2016

- 1. Définition et place de l'imagerie
- 2. Instabilité antérieure/inférieure
 - 1. Hill-Sachs / Malgaigne
 - 2. Bankart
- 3. Anomalies osseuses moins fréquentes
 - 1. Instabilité postérieure (Hill-Sachs inversé)
 - 2. Ossifications ligament gléno-huméral inférieur
 - 3. Ossification insertion du petit rond

THE GROOVED DEFECT OF THE HUMERAL HEAD

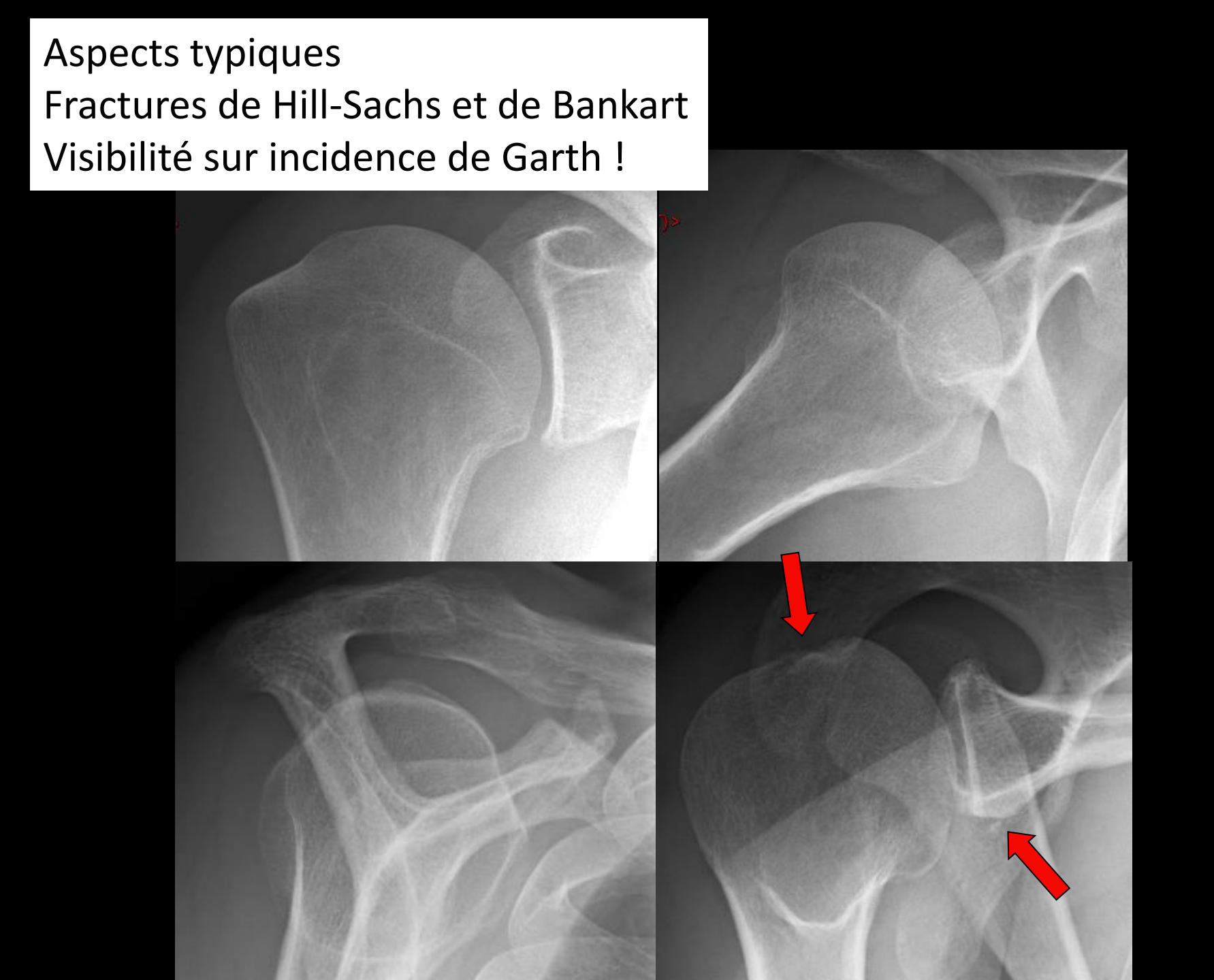
A FREQUENTLY UNRECOGNIZED COMPLICATION OF DISLOCATIONS OF THE SHOULDER JOINT

By HAROLD A. HILL, M.D., and MAURICE D. SACHS, M.D., San Francisco

From the Department of Medicine (Radiology), Stanford University School of Medicine, and the San Francisco Hospital, Department of Public Health

Aspects typiques Fractures de Hill-Sachs et de Bankart

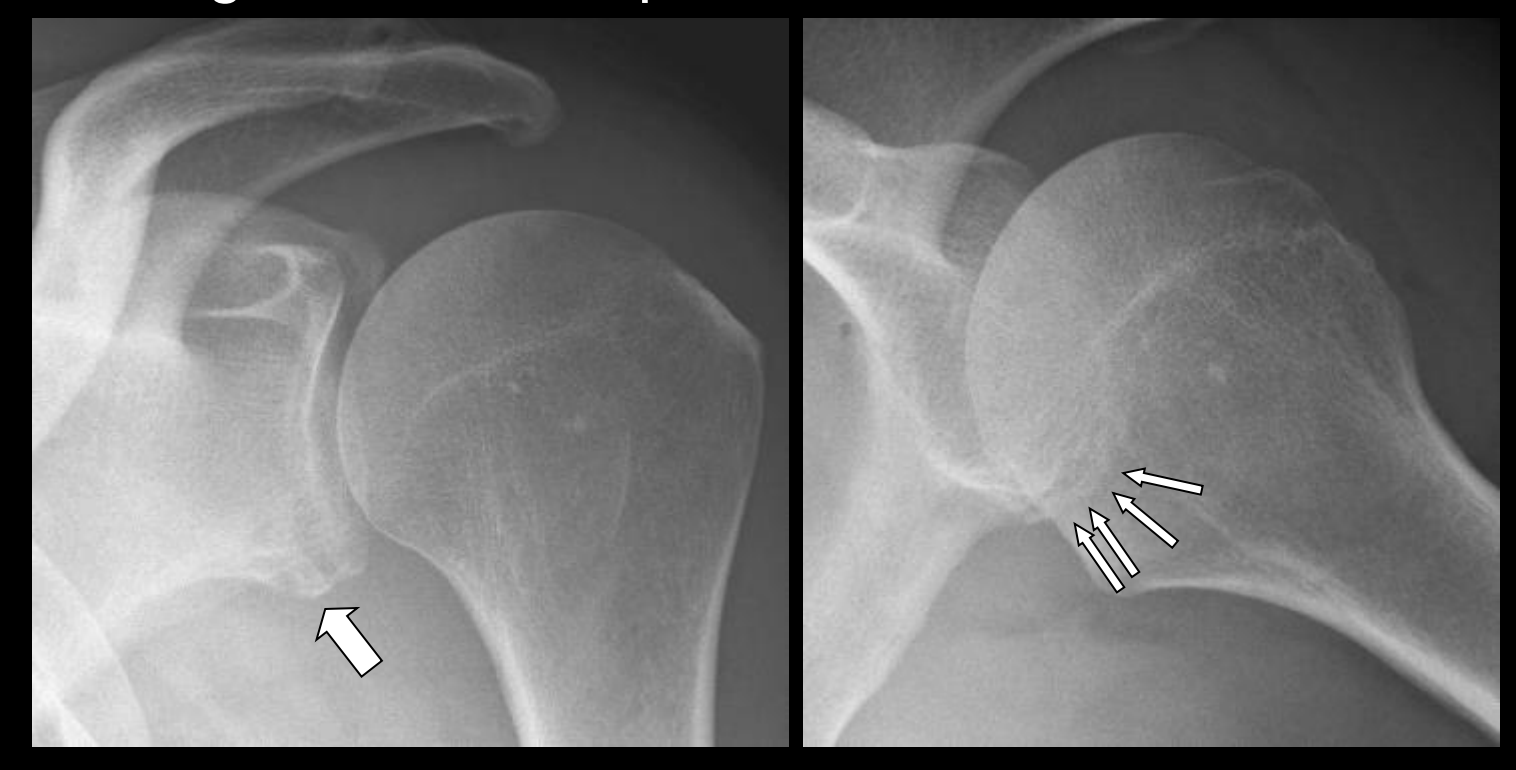




• Lésion de Bankart

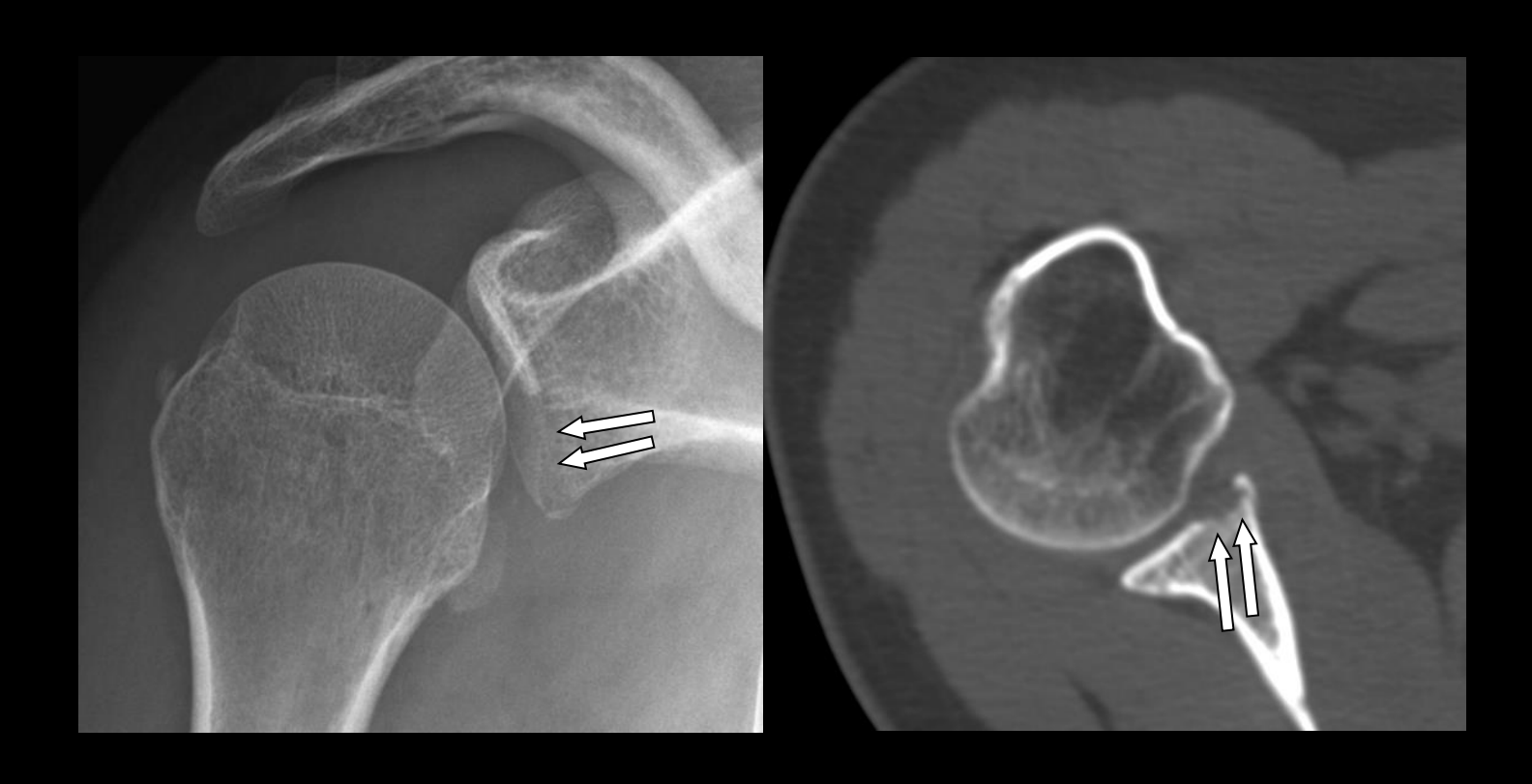
Lésion de la marge antéro-inférieure de la glène scapulaire secondaire à une luxation inférieure de l'humérus.

Bankart osseux : lésion de Bankart qui comporte une atteinte osseuse de la glène de la scapula.

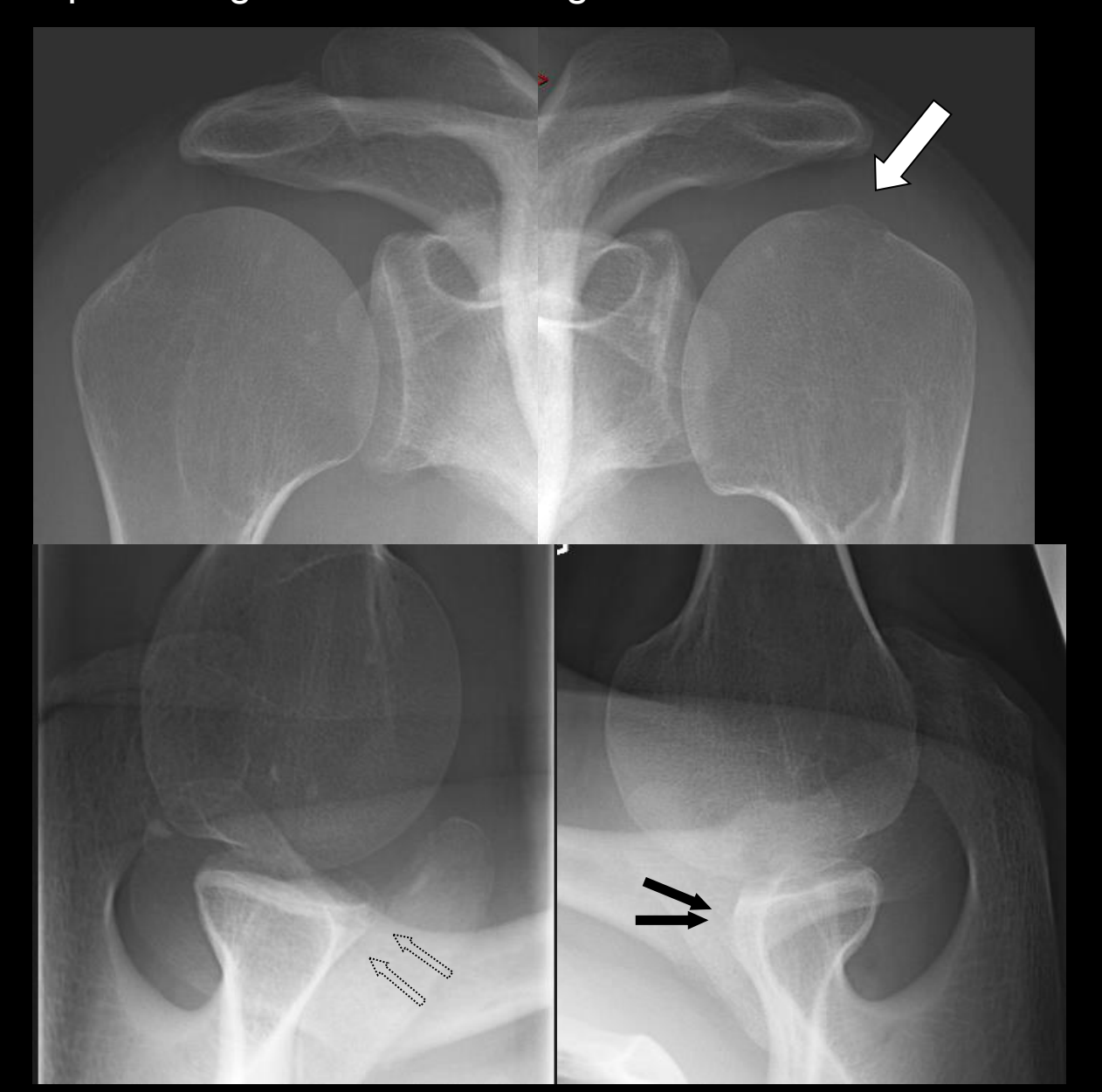


Bankart osseux

anomalie de contour de la marge de la glène interruption/disparition tangence à la surface articulaire de la glène

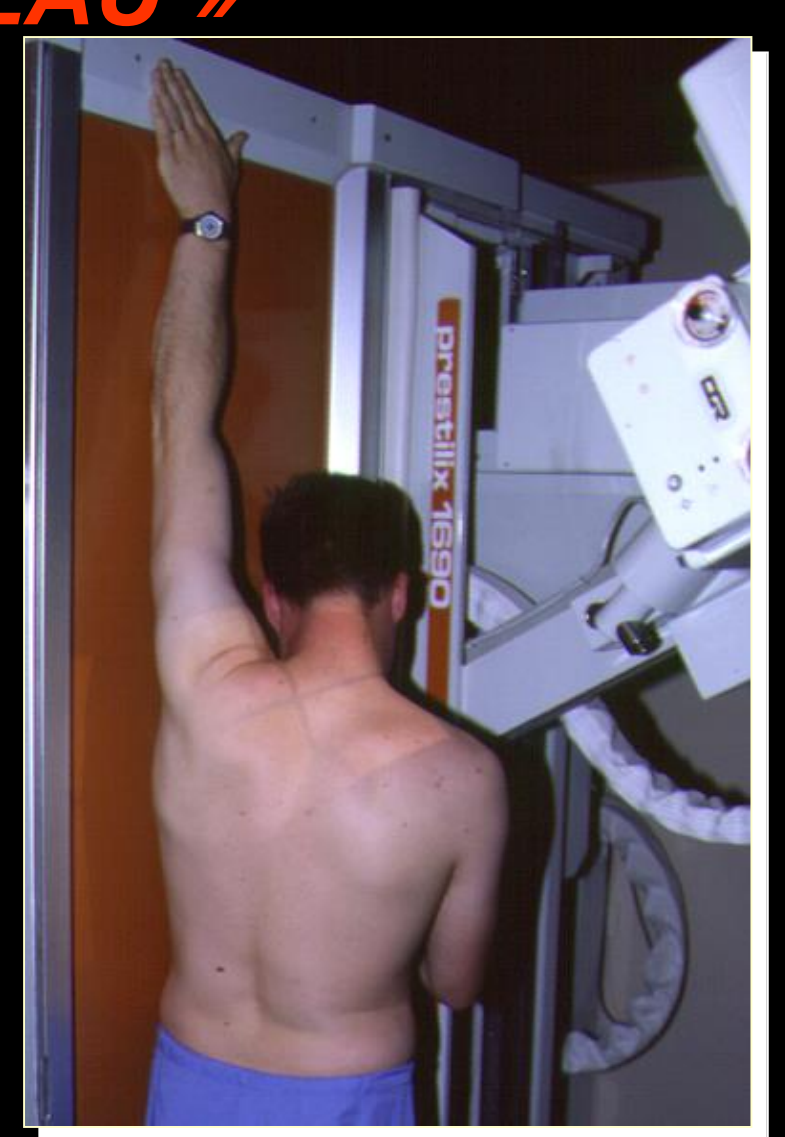


Bankart osseux – détection difficile Incidence de profil de glène selon Bernageau



4.1 Étude de profil « Profil de BERNAGEAU »

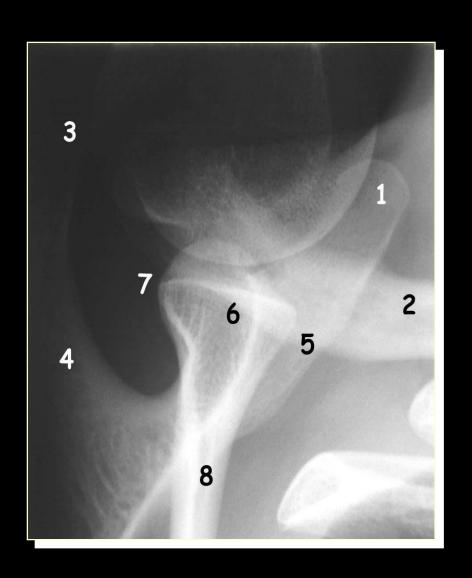
- patient en station ou assis
- épaule contre la table
- bras en élévation complète ou bras sur la tête
- rayon de 25 à 30°, centrage sur l'acromion
- tête penchée vers l'avant
- > 13 x 18 couchée, petit foyer



4.1 Étude de profil « Profil de BERNAGEAU »

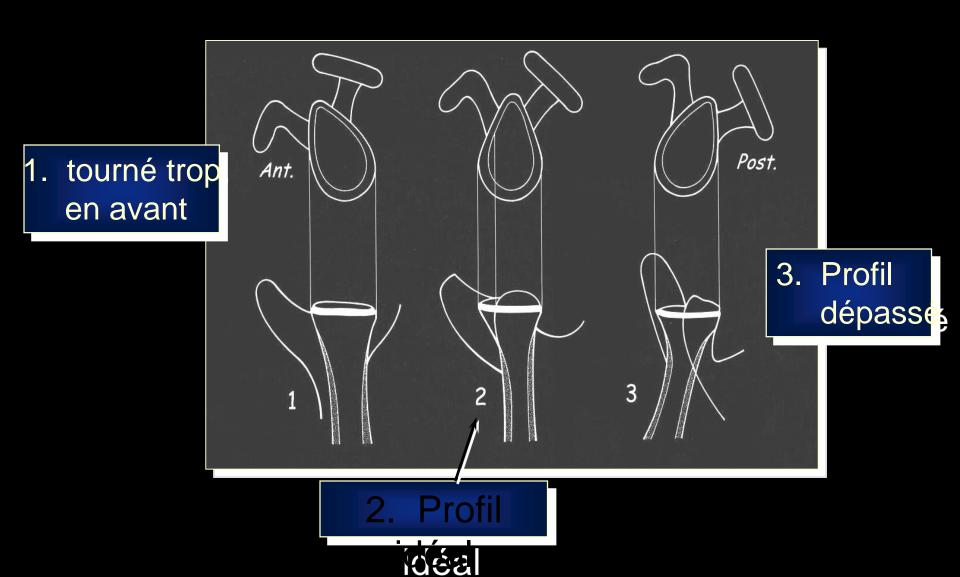






- 1. apophyse coracoïde
- 2. clavicule
- 3. acromion
- 4. épine de l'omoplate
- 5. deux tiers inférieurs du rebord glénoïdien antérieur
- 6. un tiers supérieur du rebord glénoïdien antérieur
- 7. un tiers moyen du rebord glénoïdien postérieur
- 8. écaille de l'omoplate

4.1 Étude de profil « Profil de BERNAGEAU »







	Hill-Sachs	Bankart
os	Humérus	Scapula
Topographie	Postéro-supérieur	Antéro-inférieur
Détection Rx	aisée	difficile
Incidence	Face, rot. médiale bras, rayon desc.	Profil de Bernageau
Faisabilité	élevée	Réduite (patient, manip)
Valeur ajoutée TDM IRM	réduite	Pas négligeable
Intérêt diagnostique	+++	+++
Intérêt pronostique	+	+++

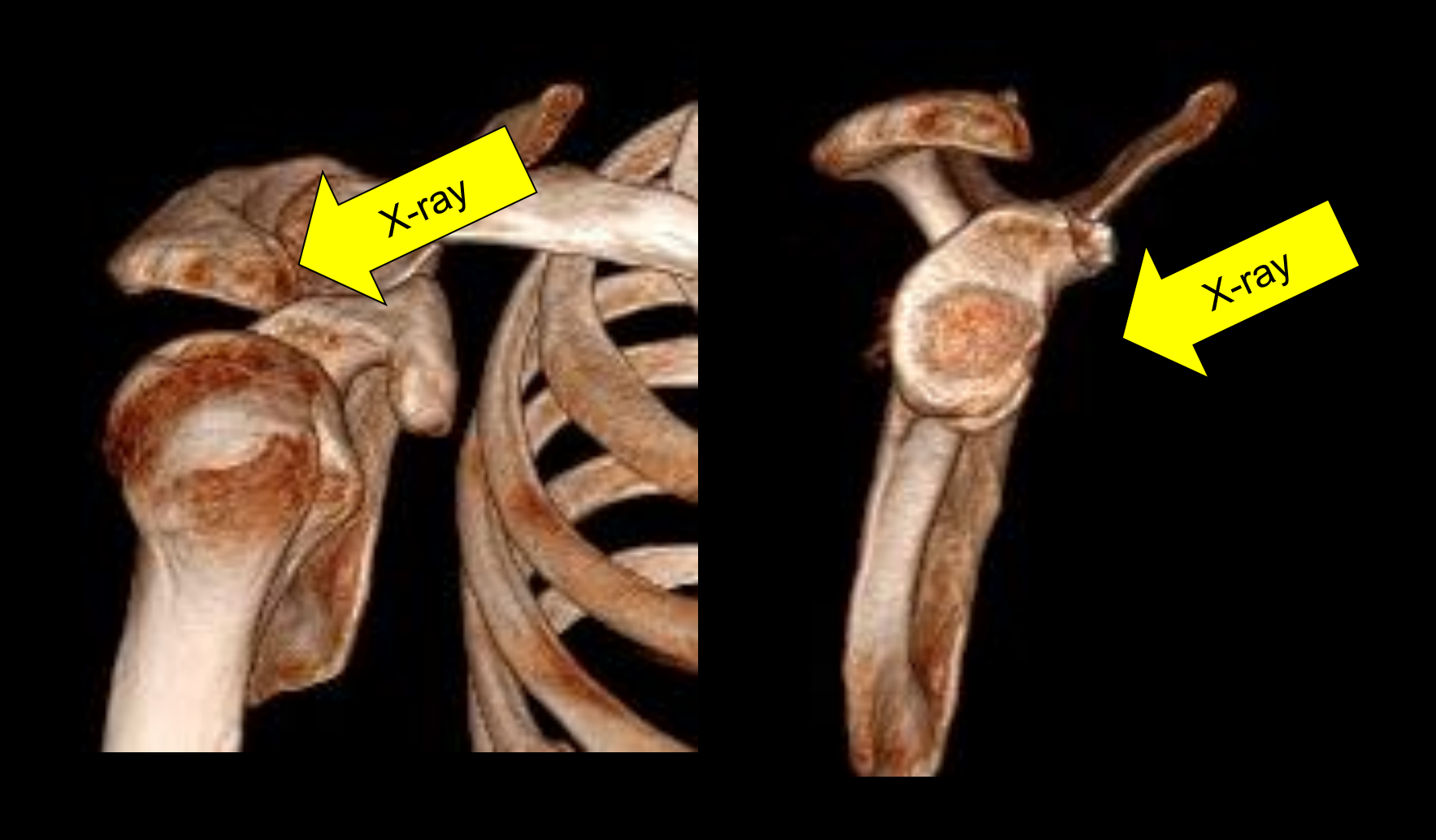


Lésion de Hill-Sachs Humérus Postéro-supérieur Lésion de Bankart Glène Antéro-inférieur

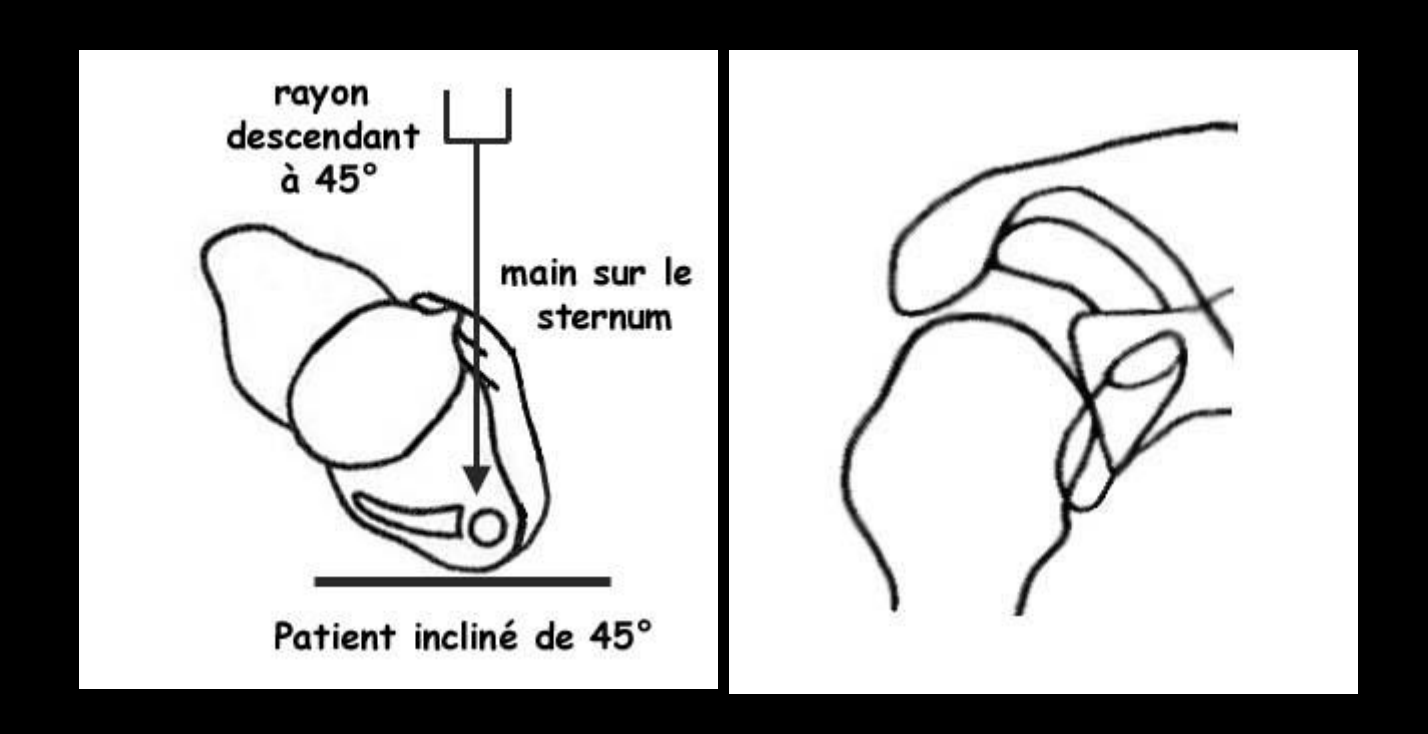




Le même rayonnement tangeant aux deux zones?



Incidence de Garth



Oblique apicale de « GARTH »

- patient assis en O.A. de 45°,
- main posée sur l'épaule opposée,
- 💙 rayon 🔰 de 45° à 50°,
- tête tournée à l'opposé de l'articulation à radiographier.



Oblique apicale de « GARTH »



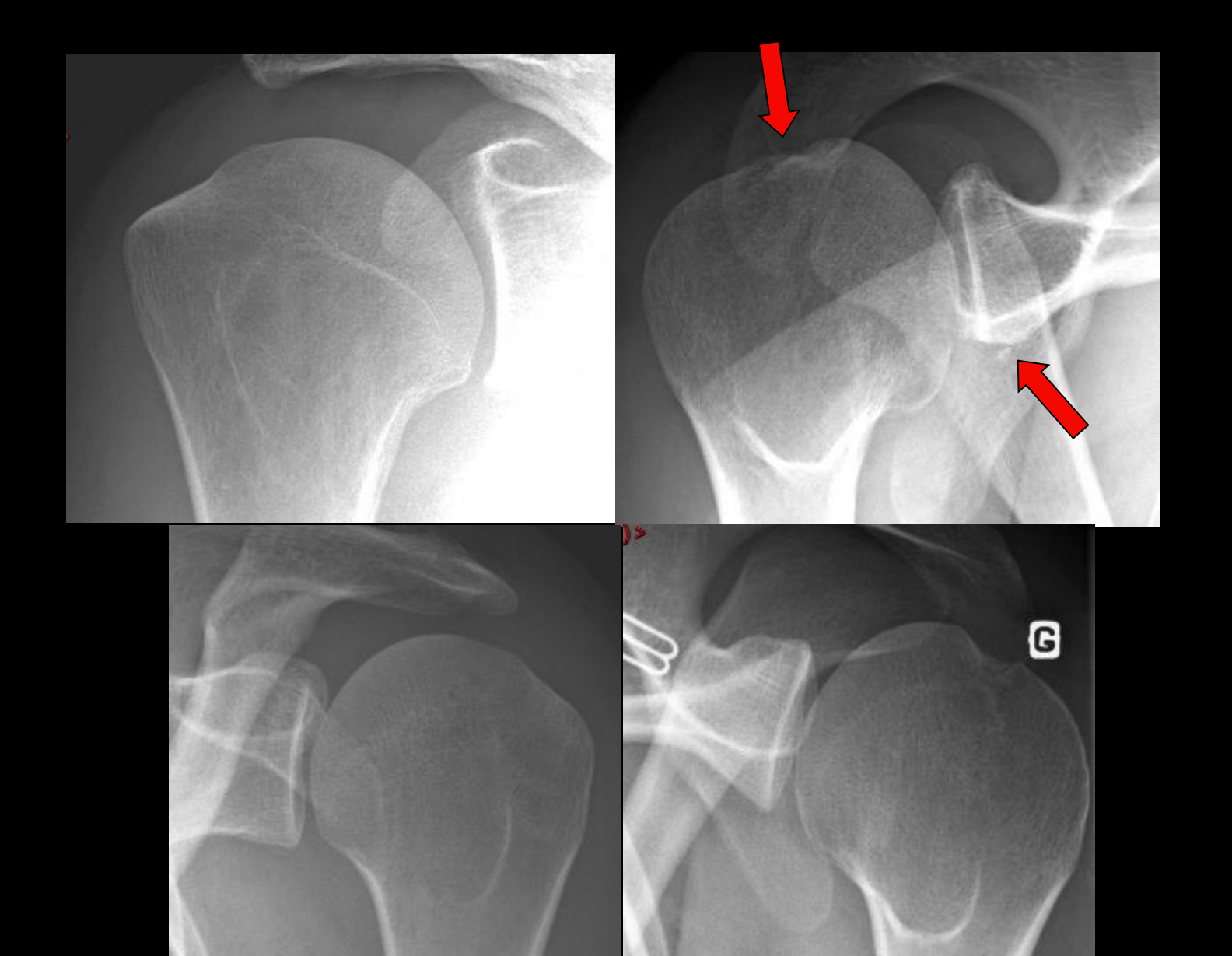


Lésion de Bankart ? Doute en face rotation médiale



Incidence de Garth

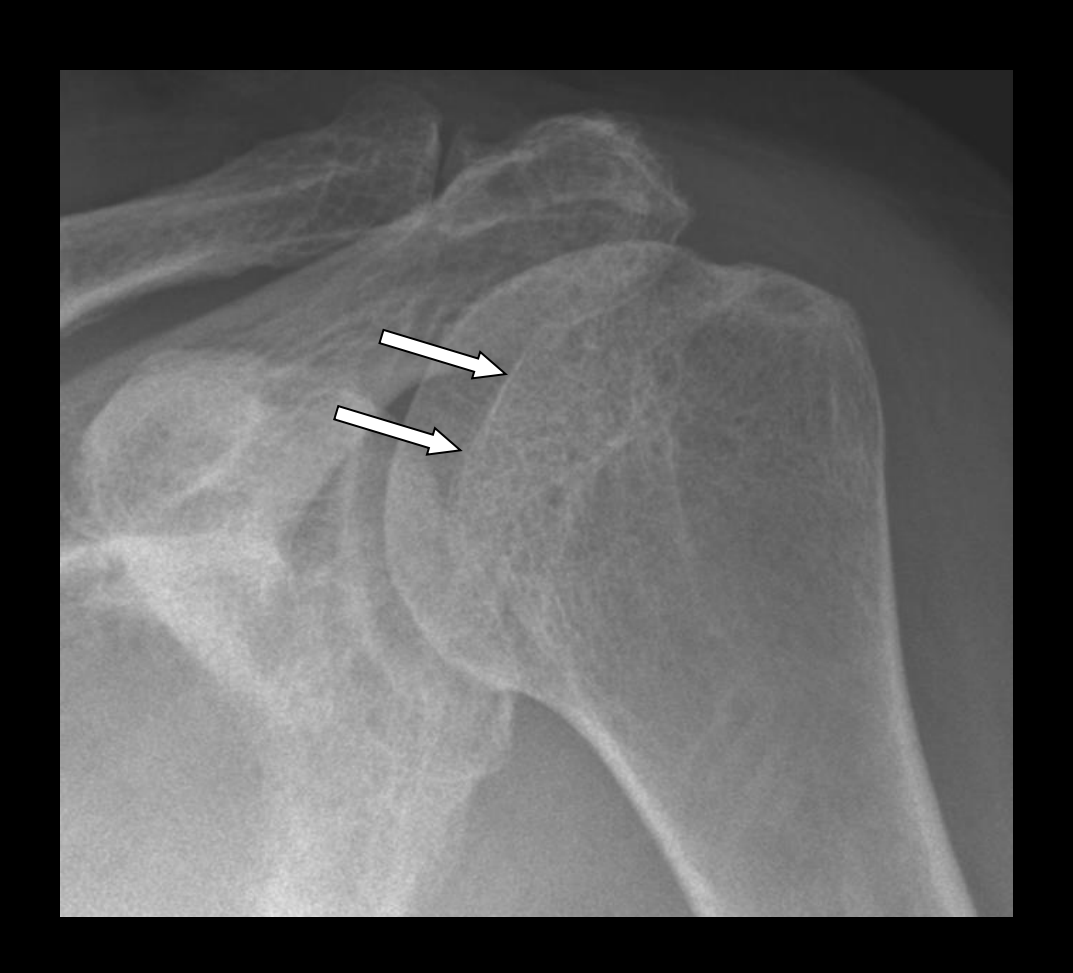
Incidence de Garth – alternative valable au profil de Bernageau ?



- 1. Définition et place de l'imagerie
- 2. Instabilité antérieure/inférieure
 - 1. Hill-Sachs / Malgaigne
 - 2. Bankart
- 3. Anomalies osseuses moins fréquentes
 - 1. Instabilité postérieure (Hill-Sachs inversé)
 - 2. Ossifications ligament gléno-huméral inférieur
 - 3. Ossification insertion du petit rond

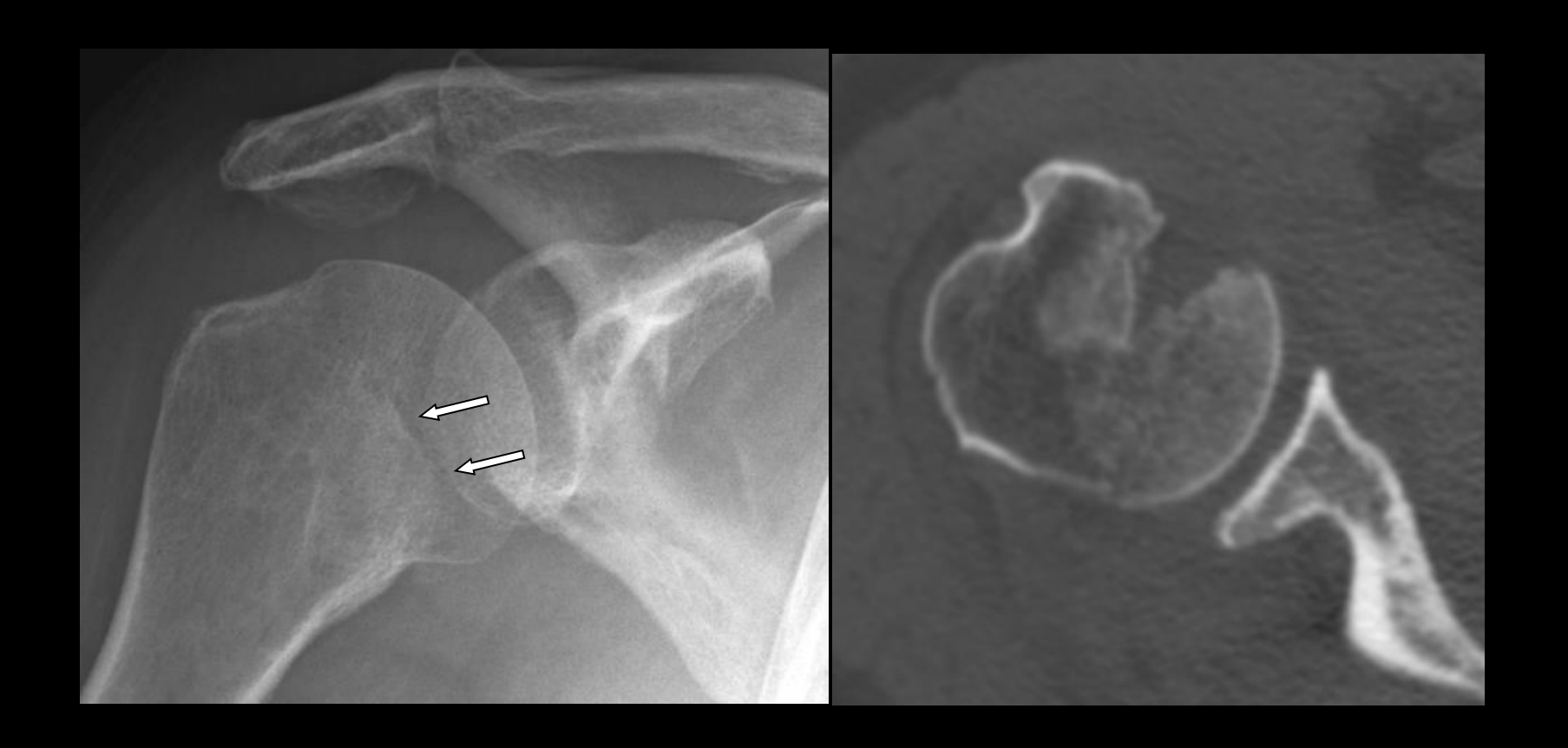
Luxation postérieure de l'humérus

Lésion rare, fréquemment non diagnostiquée Encoche de Hill-Sachs inversée Dépression de la face antérieure de l'humérus lésion de la marge postérieure de la glène



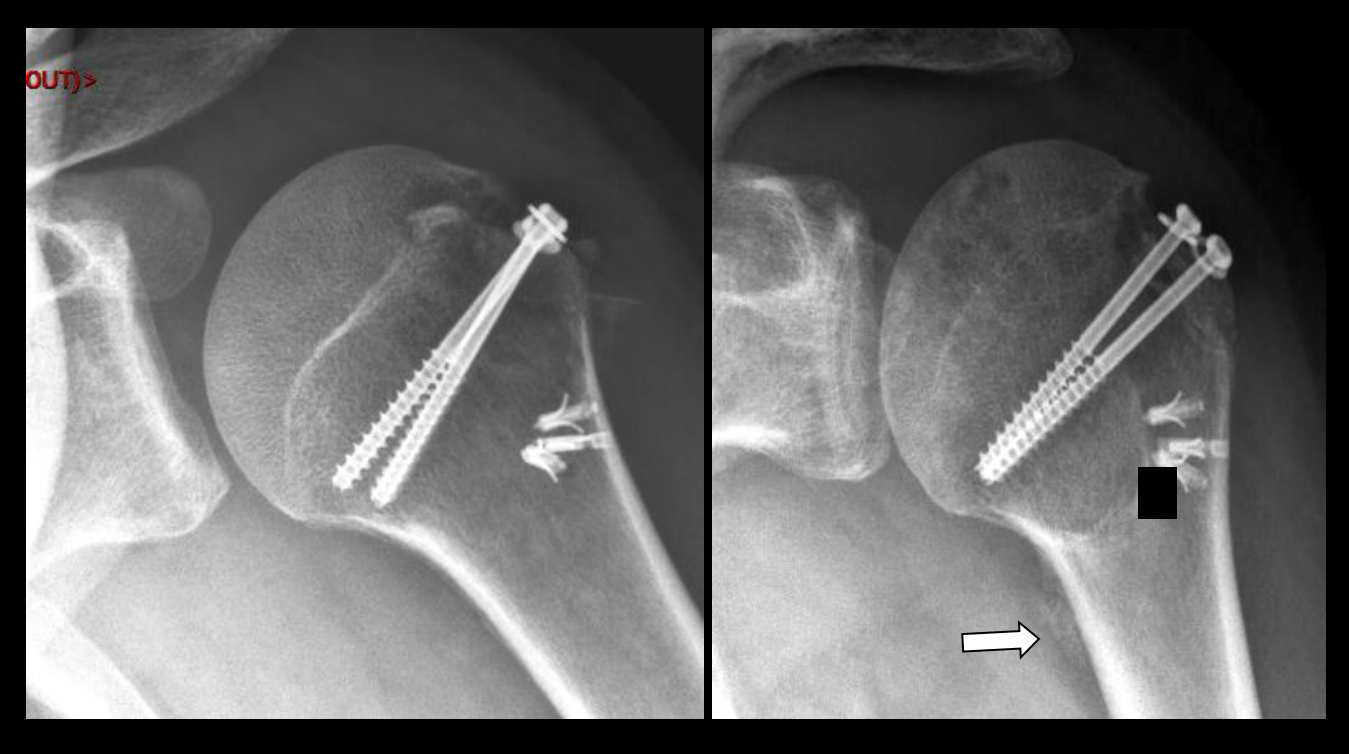
Luxation postérieure de l'humérus

Fréquemment non diagnostiquée Electrocution, crise grand mal



Ossification dans le territoire d'insertion du ligament gléno-huméral inférieur

Pas réellement lésion de passage Ossification différée dans le temps à l'insertion humérale



1 mois après luxation

4 mois après luxation

Objectifs

- Lignes corticales de l'épaule
 - Lignes interrompue/disparues
 - Lignes additionnelles
- Fractures de l'épaule
- « Lésions de passage »
- Quelques incidences complémentaires

Pathologies osseuses traumatiques de l'épaule

B. Vande Berg
Radiologie
Université Catholique de Louvain, UCL
Brussels Belgium



Pathologies osseuses traumatiques de l'épaule

B. Vande Berg Radiologie Université Catholique de Louvain, UCL Brussels Belgium



Objectifs

MAP 2016

Instabilité de l'épaule Lésions osseuses de passage

- Lésion Hill-Sachs
 - rayon descendant et rotation médiale humérus
 - Intérêt surtout diagnostic mais attention au DD
- Lésion osseuse de Bankart
 - Incidence de Garth
 - Interét pronostic et thérapeutique
- Bankart inversé et ossifications différées.



Radiologie conventionnelle

« en dehors des sentiers battus »

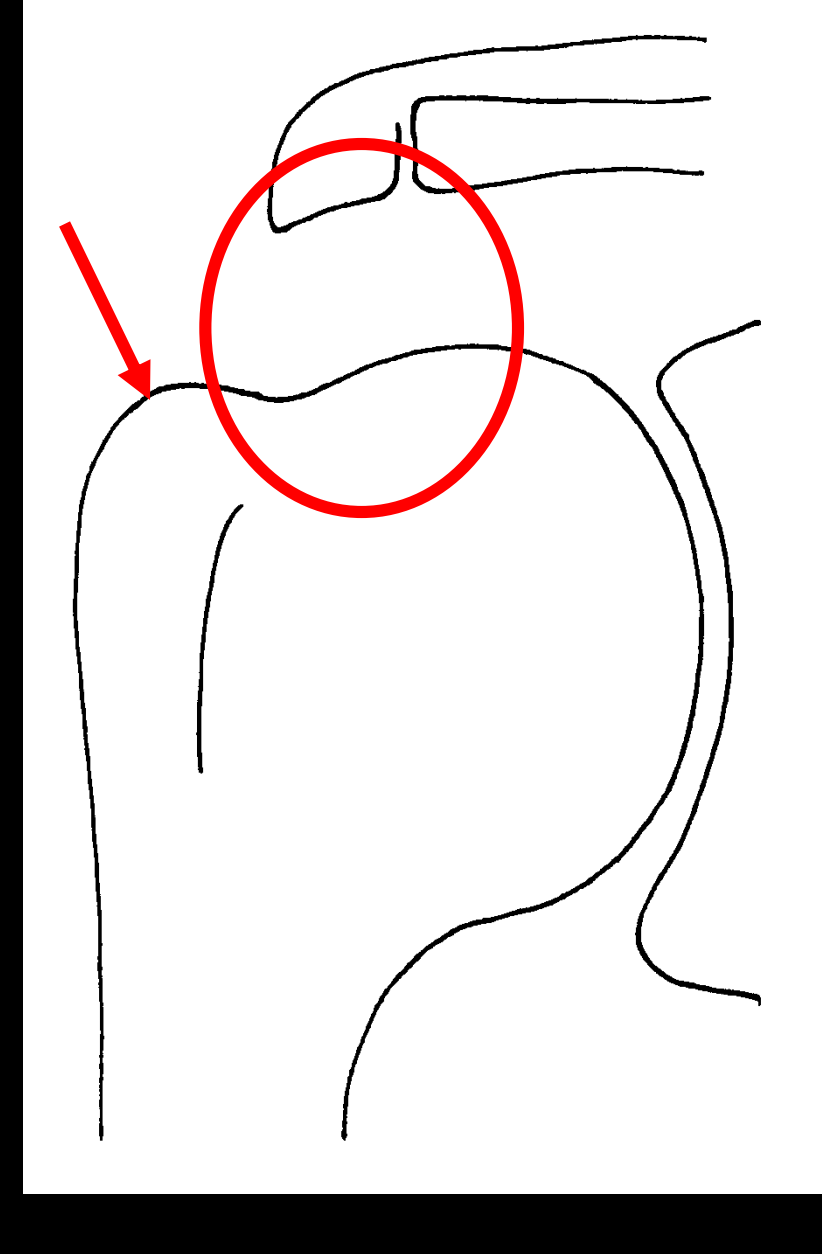




Imagerie indirecte

Espace sous acromial

Insertion tendineuse



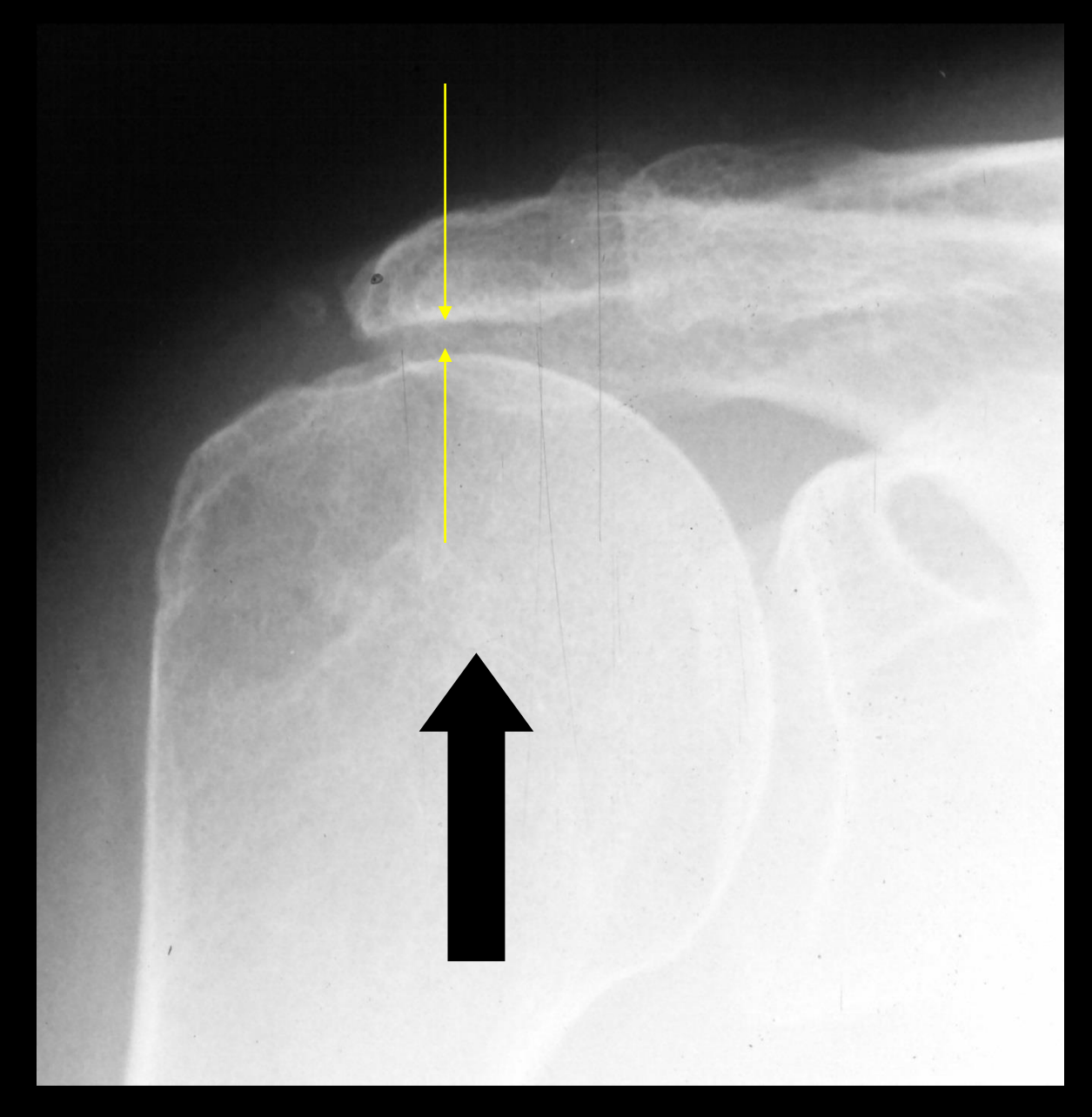
Espace sous-acromial



Debout

Couché

Abduction contrariée



Contraction musculaire

4.4 Étude dynamique Épreuve de « LECLERCQ »

- patient en décubitus dorsal
- légère abduction (max.15°)
- main est en contact avec une poignée en bordure de table
- tube rayon droit

Il s'agit d'une manœuvre réalisée en

« abduction contrariée



sensibilisée par le décubitus



Le but est d'apprécier le pincement de l'espace sous acromiohuméral :

> < ou = 7 mm rupture coiffe des rotateurs

- le cliché doit être un comparatif de l'incidence de face
- on peut le réaliser en station, mais le poids du bras entre en compte...
- idéalement incidence comparative

SUPERIOR MIGRATION OF THE HUMERAL HEAD

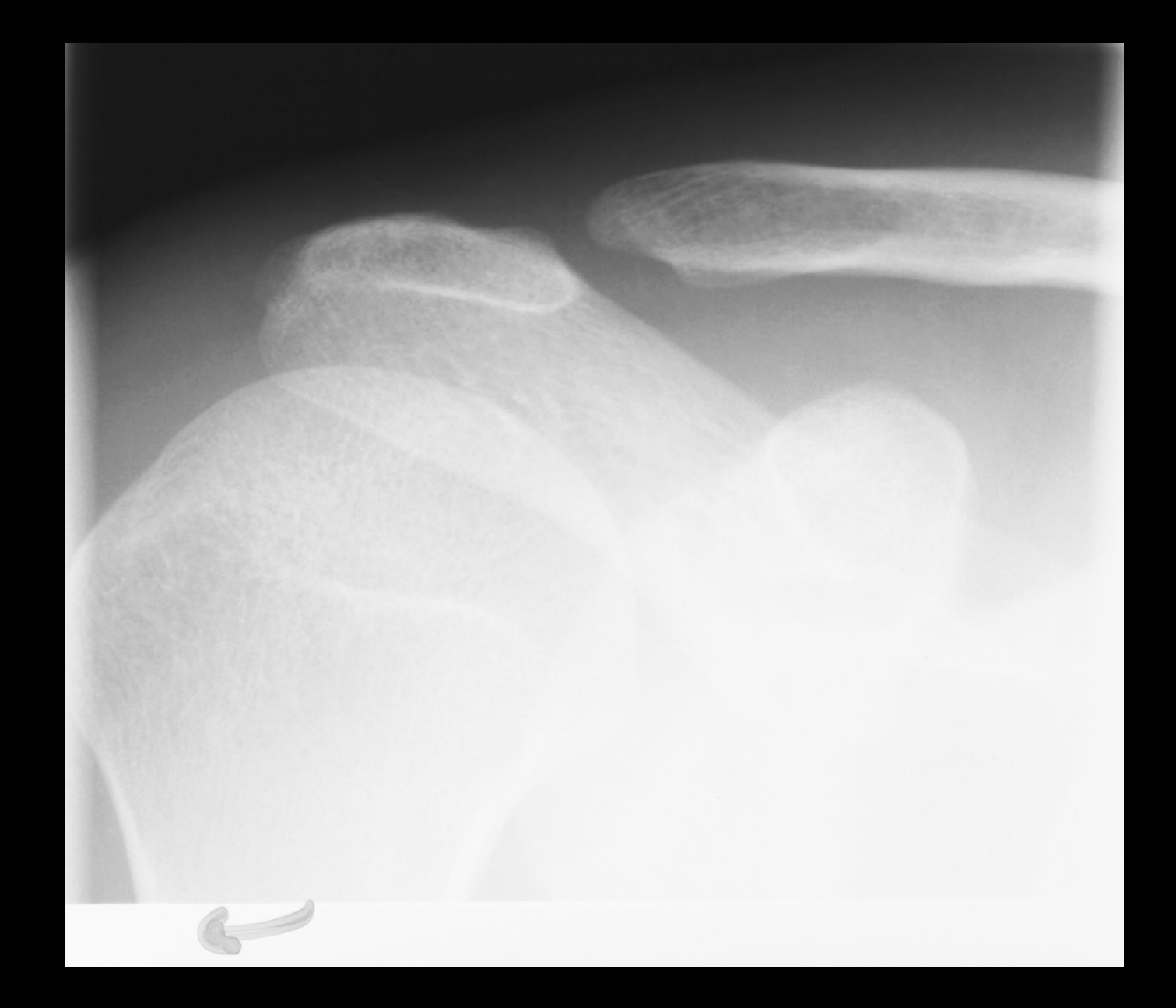
A Radiological Aid in the Diagnosis of Tears of the Rotator Cuff

DENNIS S. WEINER,* AKRON, OHIO, UNITED STATES OF AMERICA and
IAN MACNAB,† TORONTO, ONTARIO, CANADA

From the Wellesley Hospital, Toronto

	Subacromi	sensitivit	specificit	Positive
	al	У	У	Predictiv
	Space			e
				value
	< 5mm	.16	1	1
Leclercq 's manoeuver				
Cotty et al J. Radiol 1988	≤ 7 mm	.47	1	1



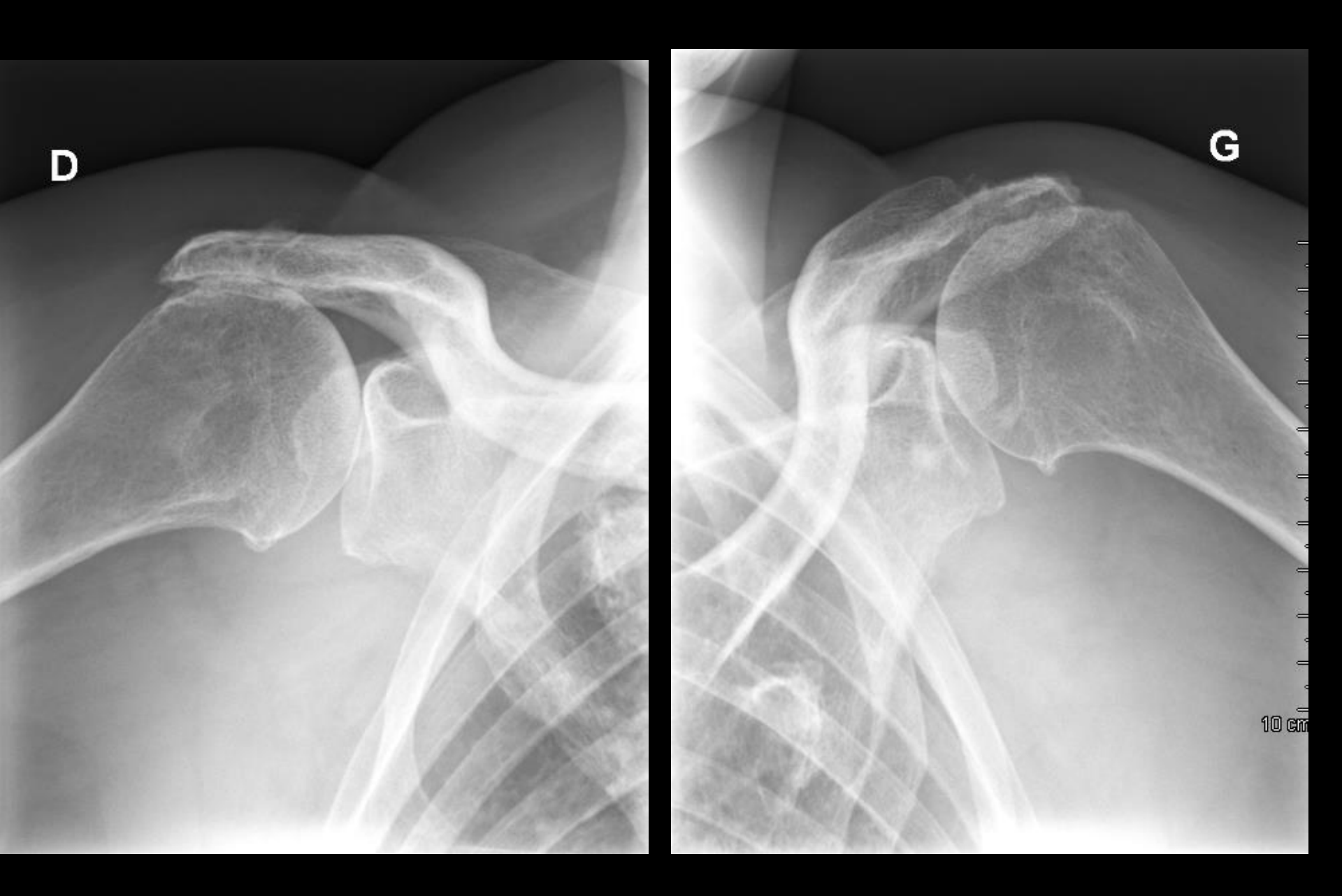














Abduction NON contrariée

Abduction non contrariée: analyse de l'interligne articulaire



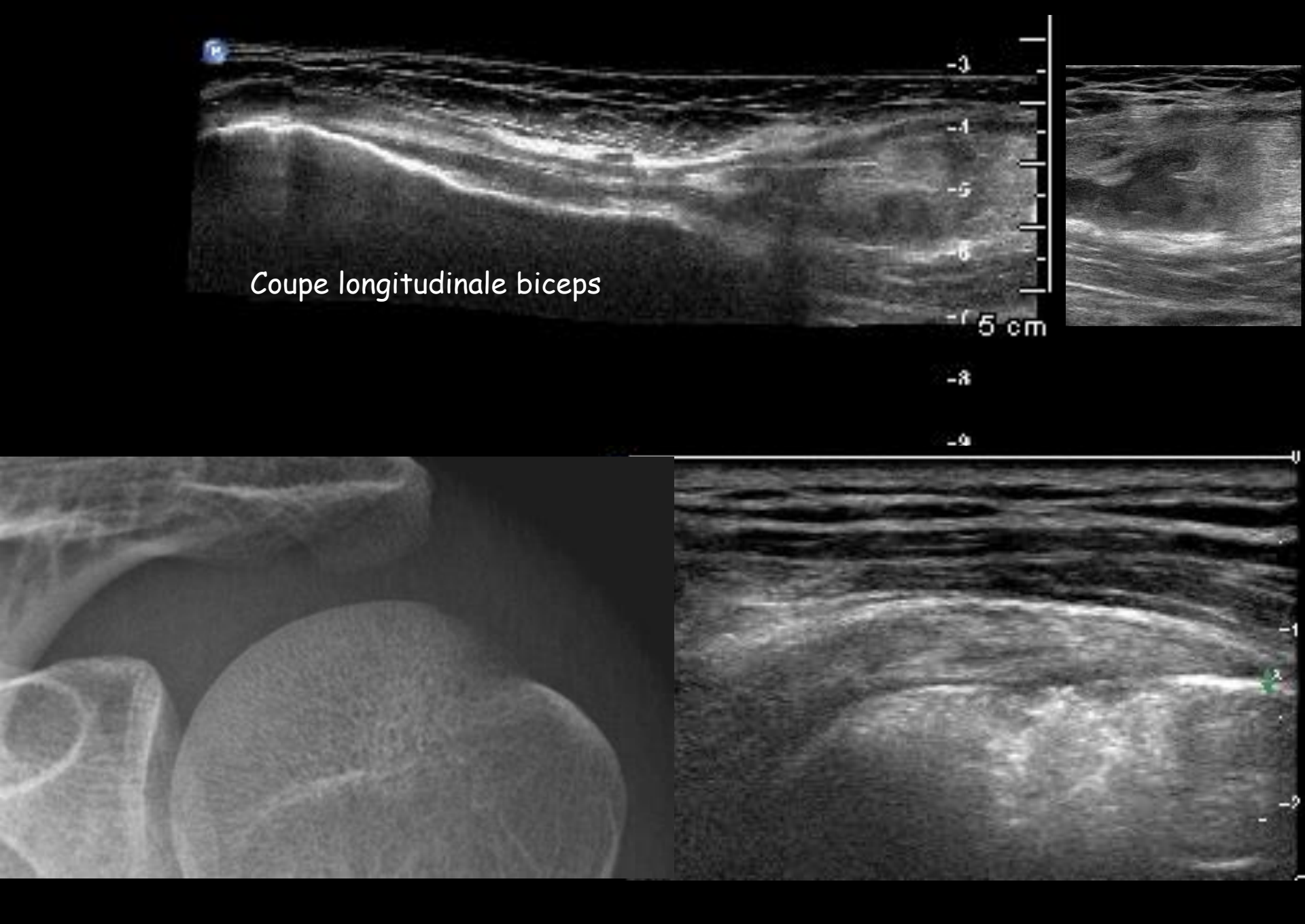


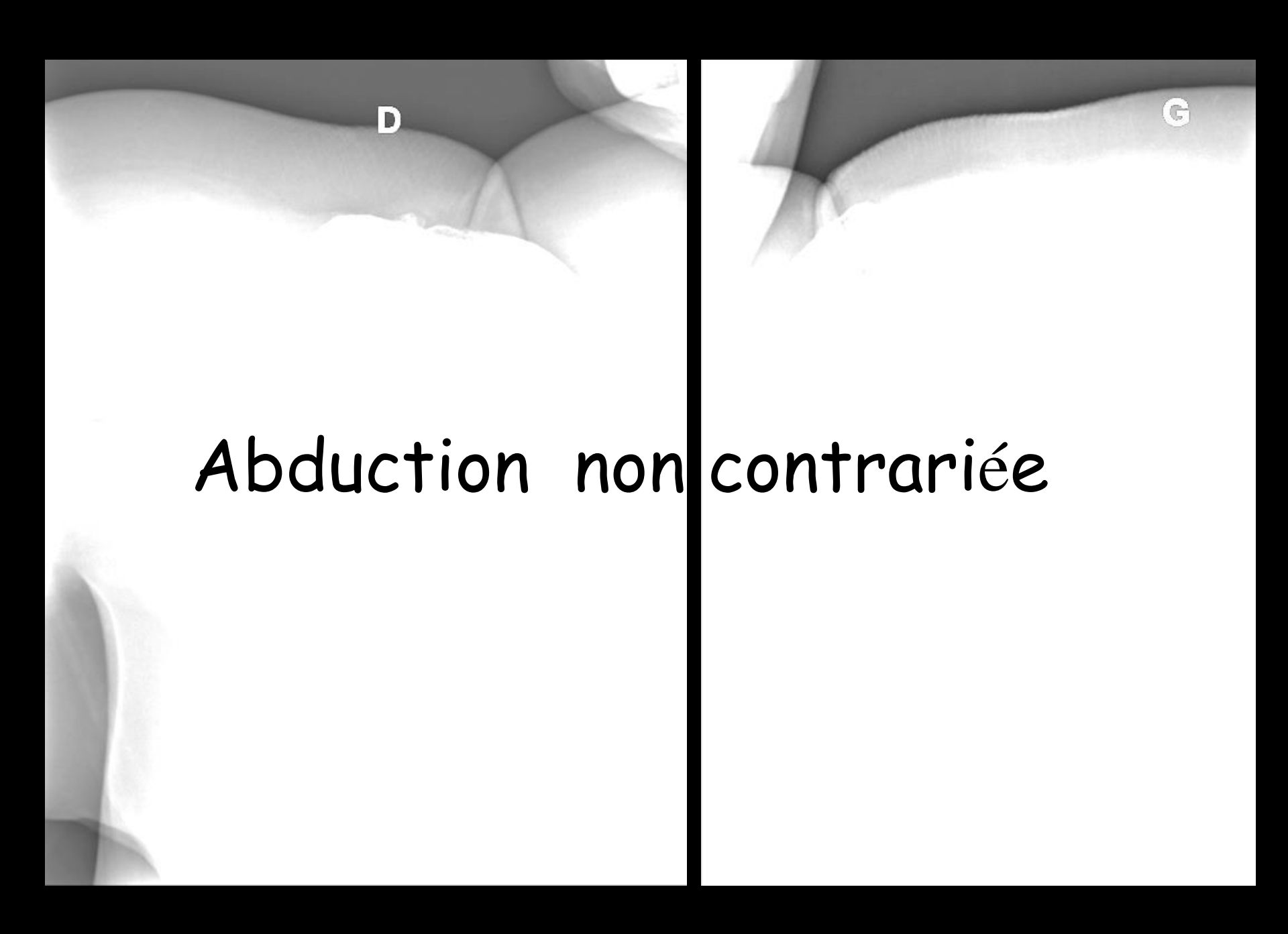


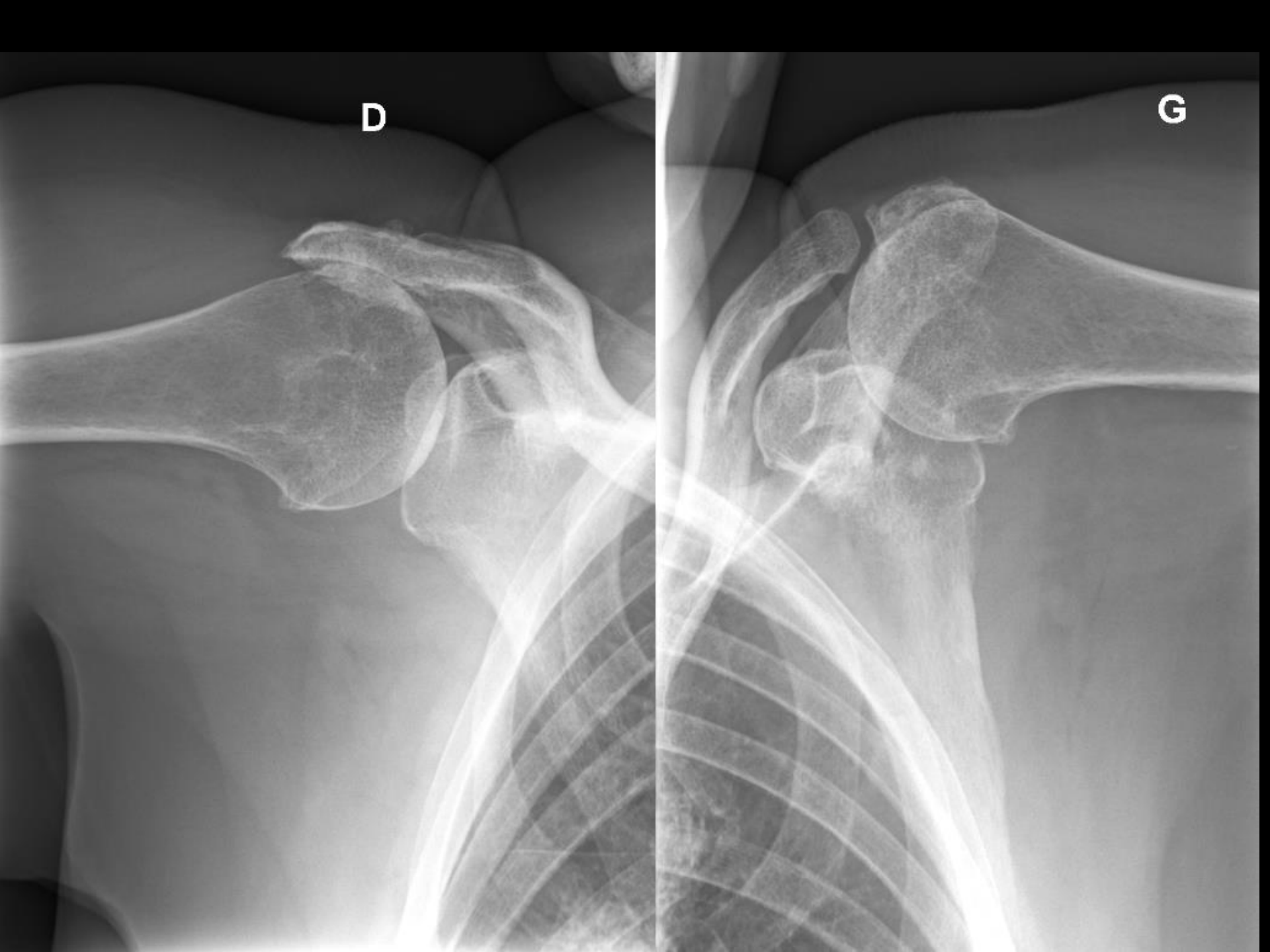


Abduction non contrariée: analyse de l'interligne « en contrainte »









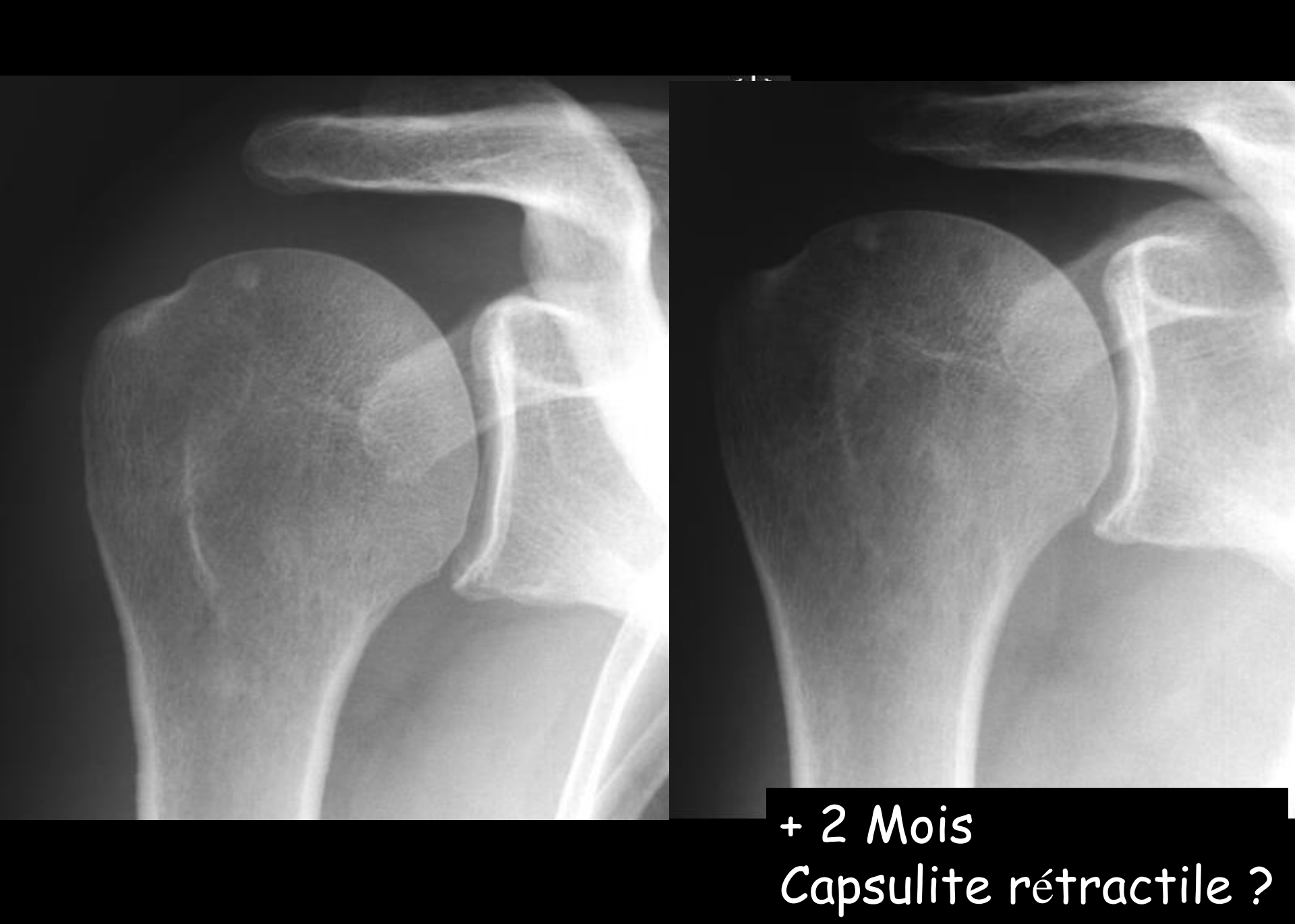






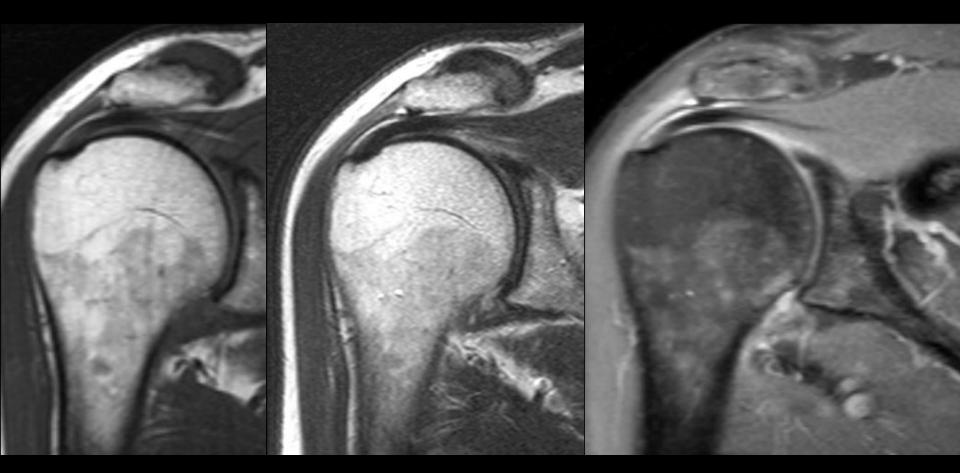


+ 2 Mois

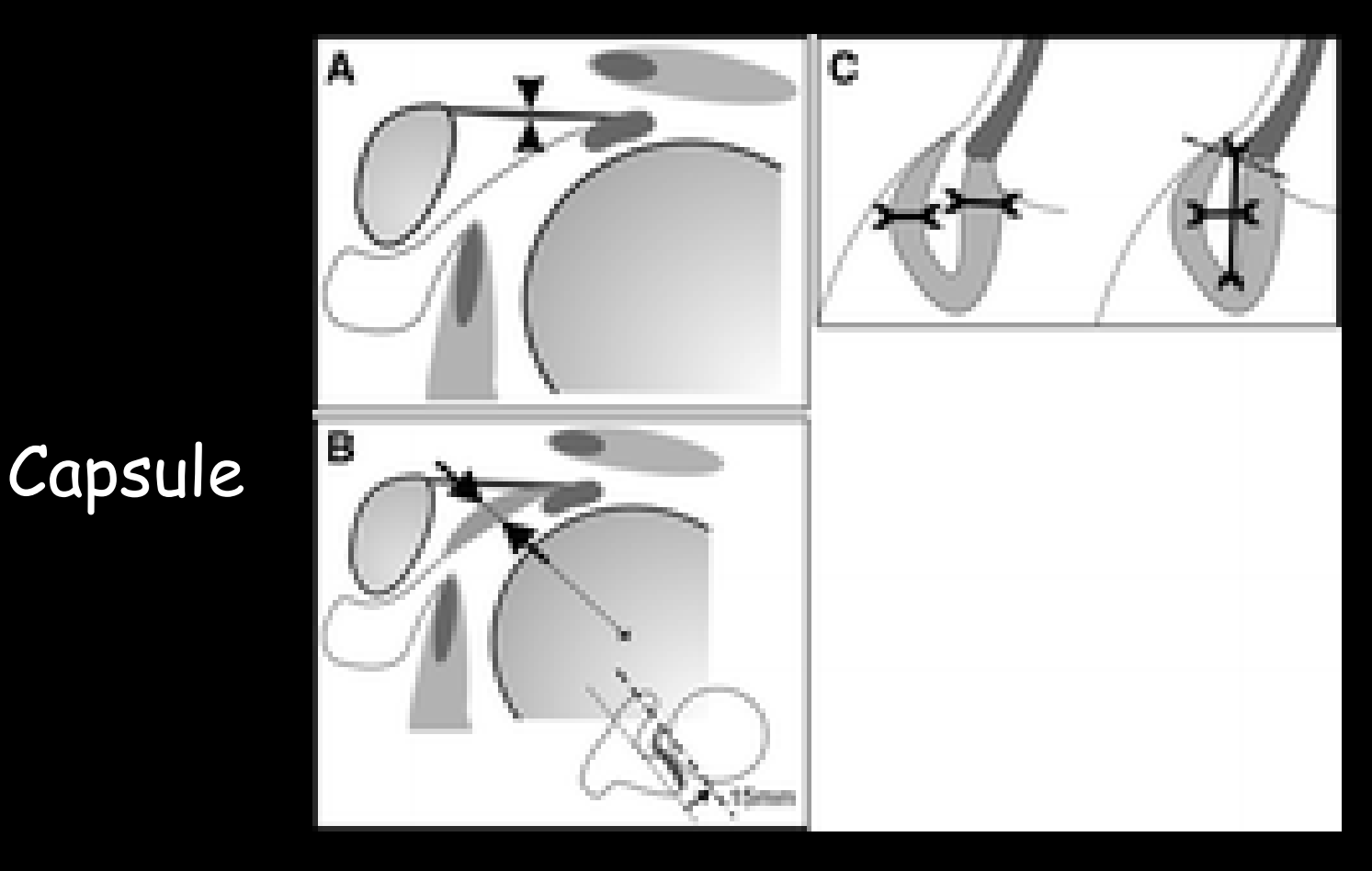




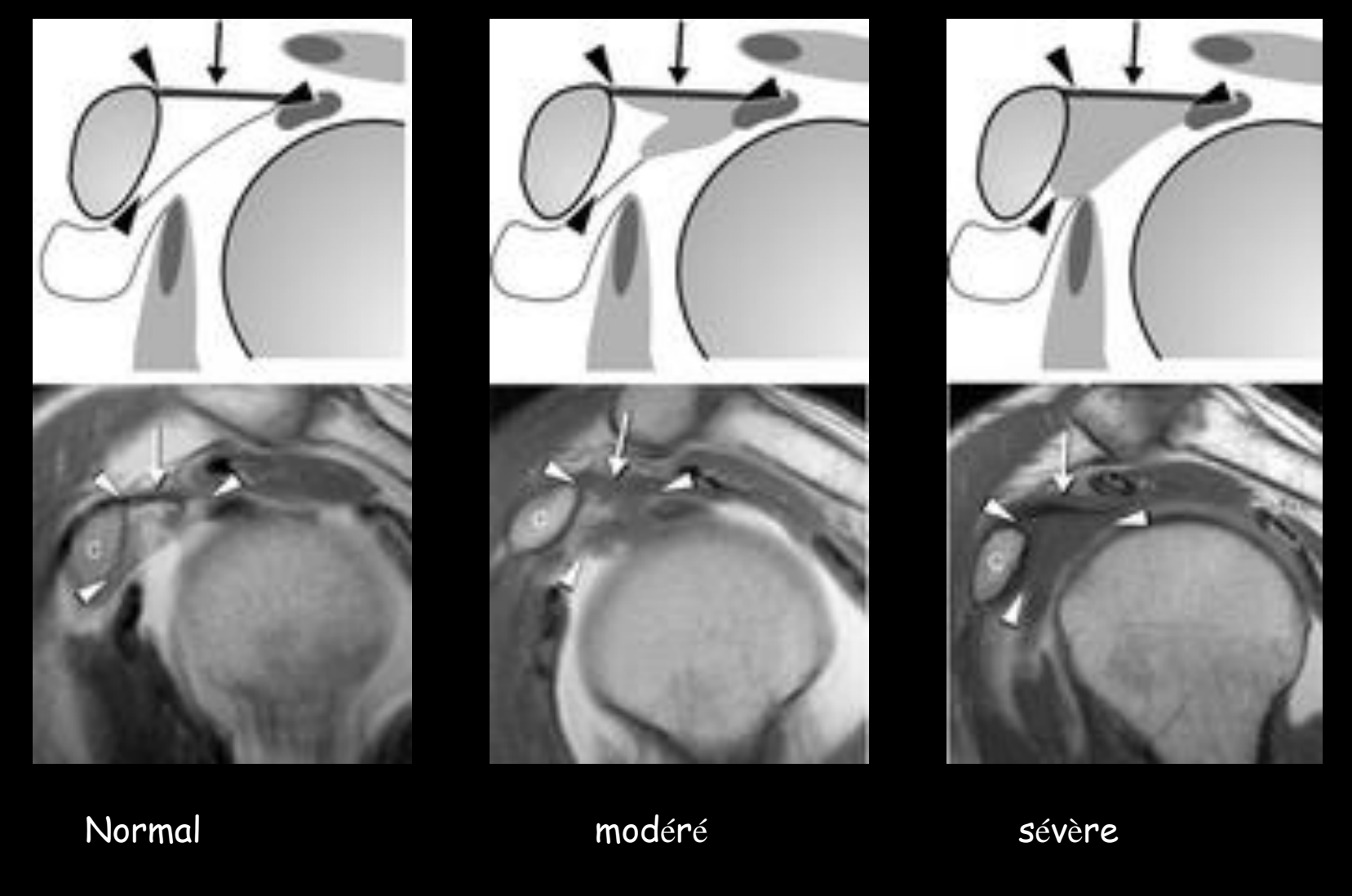




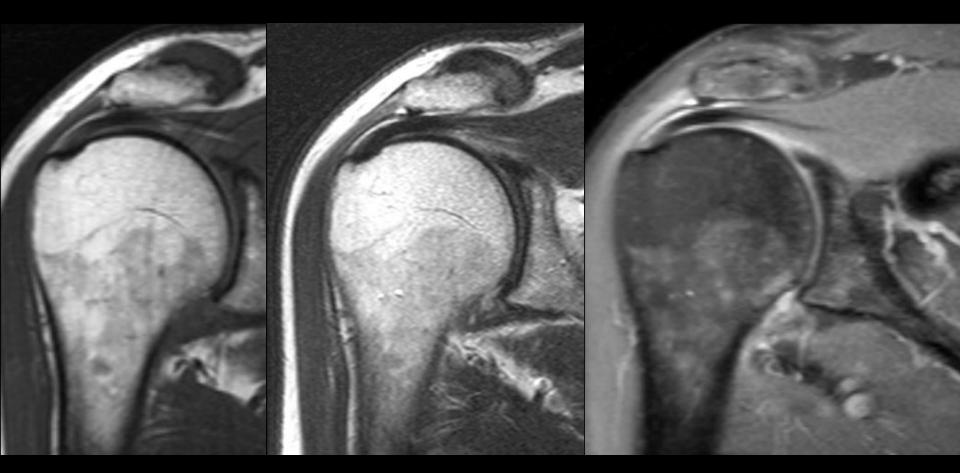
Ligament coraco-huméral

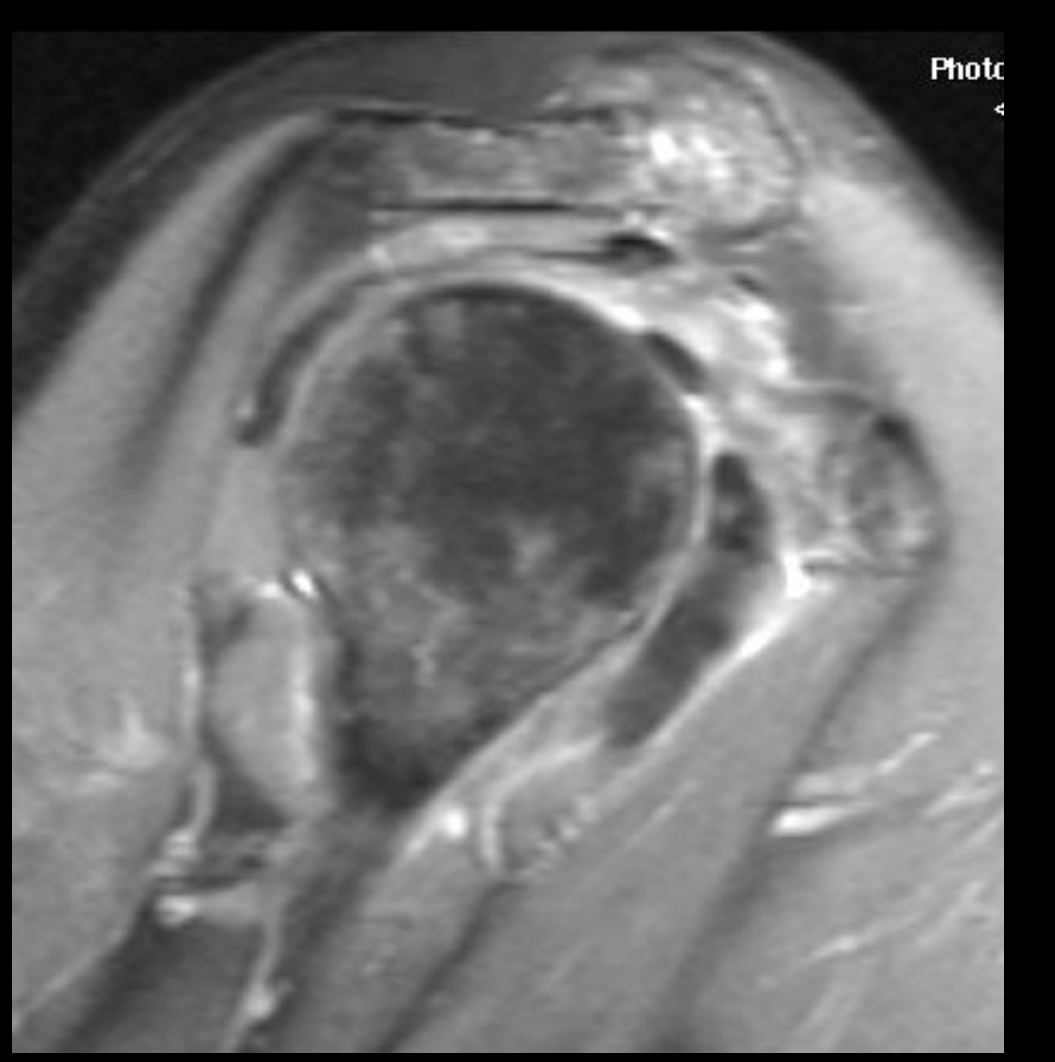


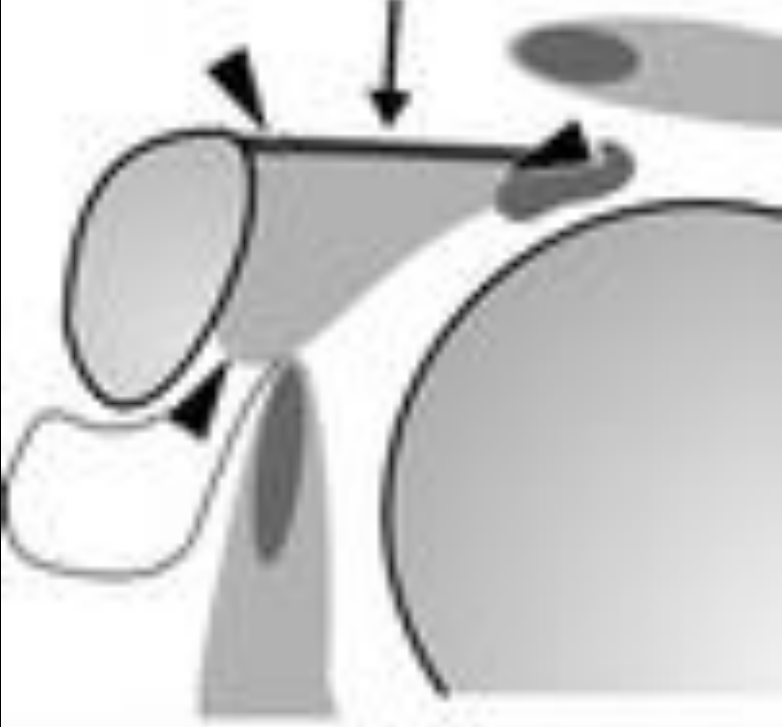
Capsulite: oblitération de la graisse antéro-supérieure



B. Mengiardi et al Radiology 2004; 233:486-492



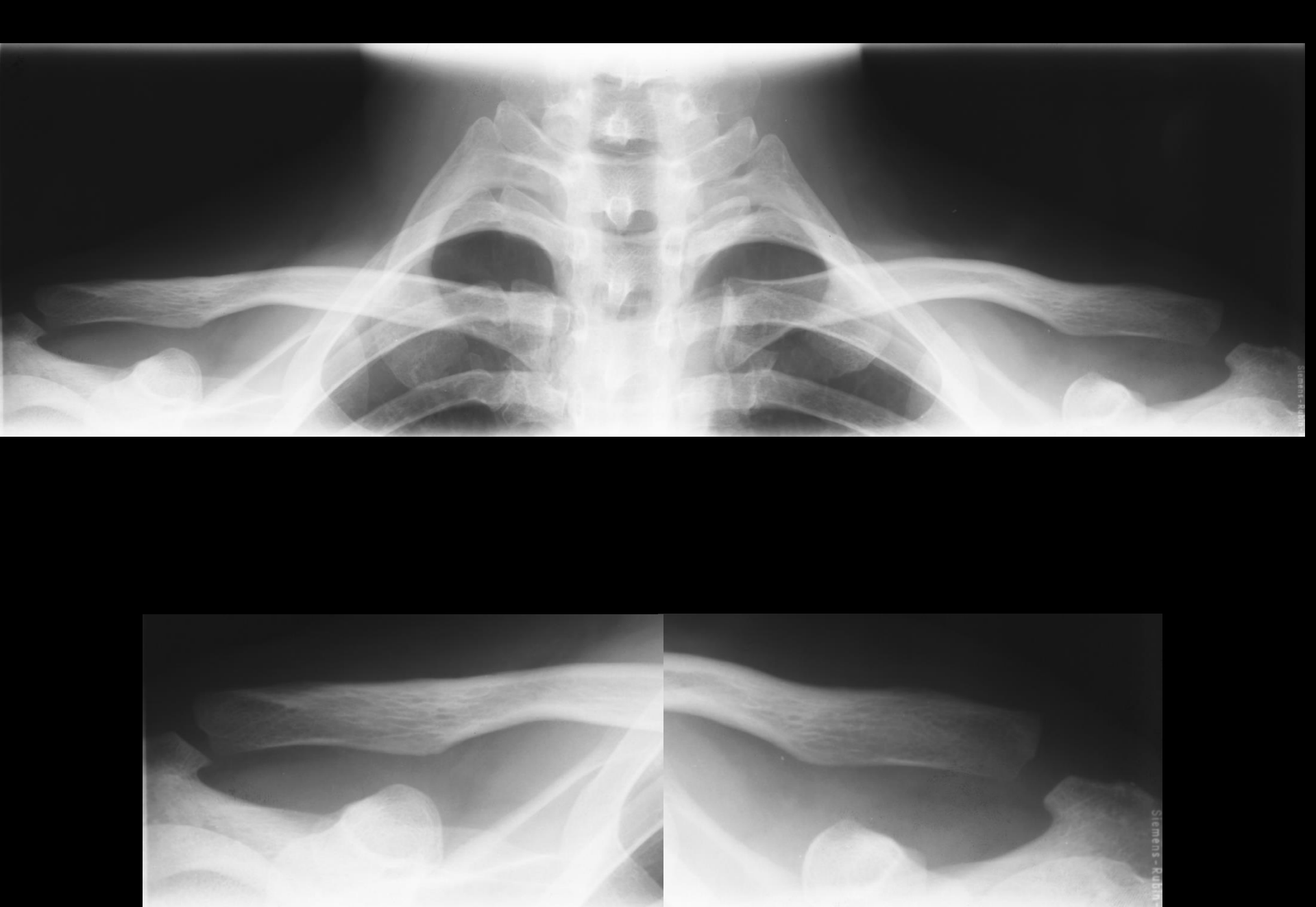


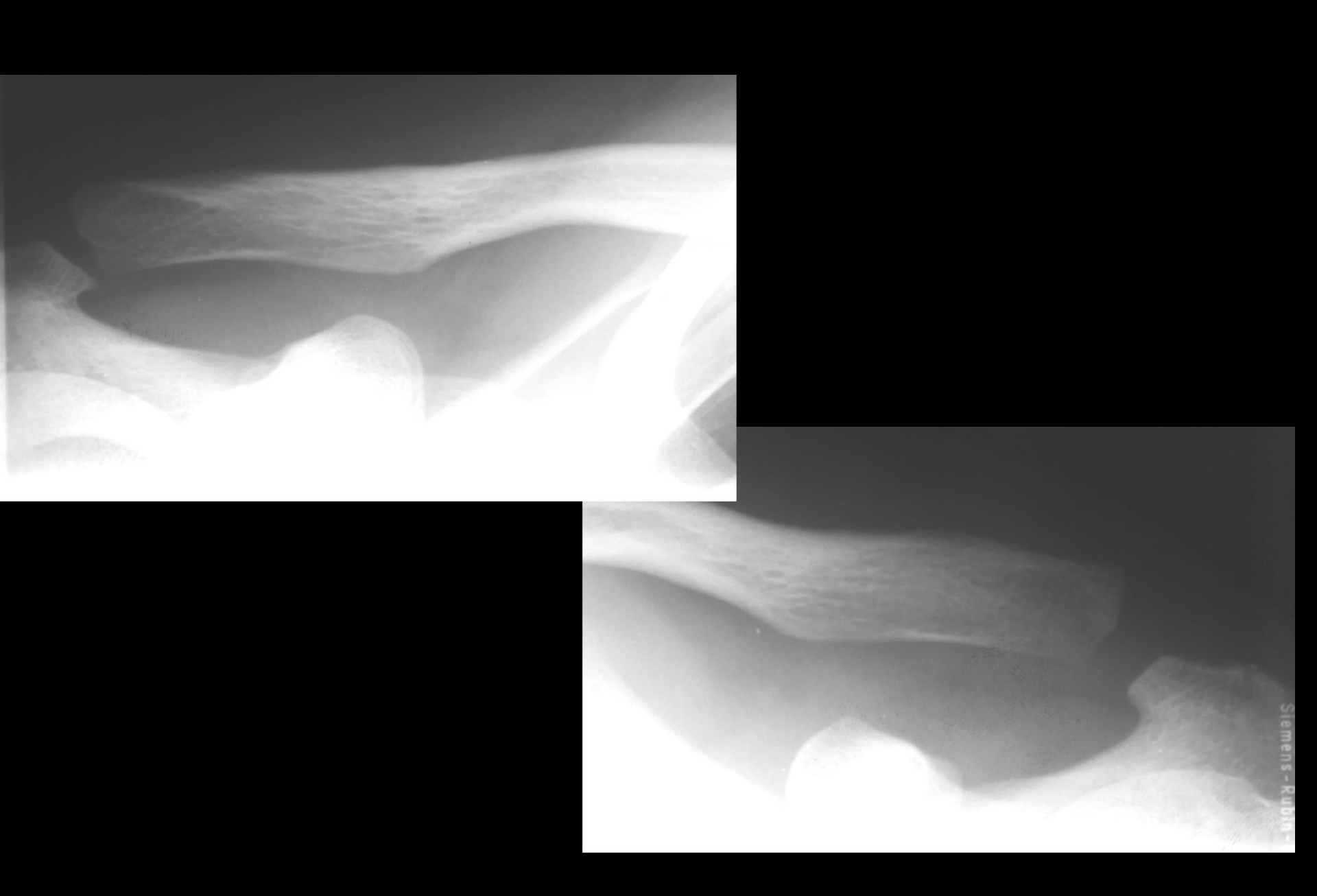




Capsulite rétractile?





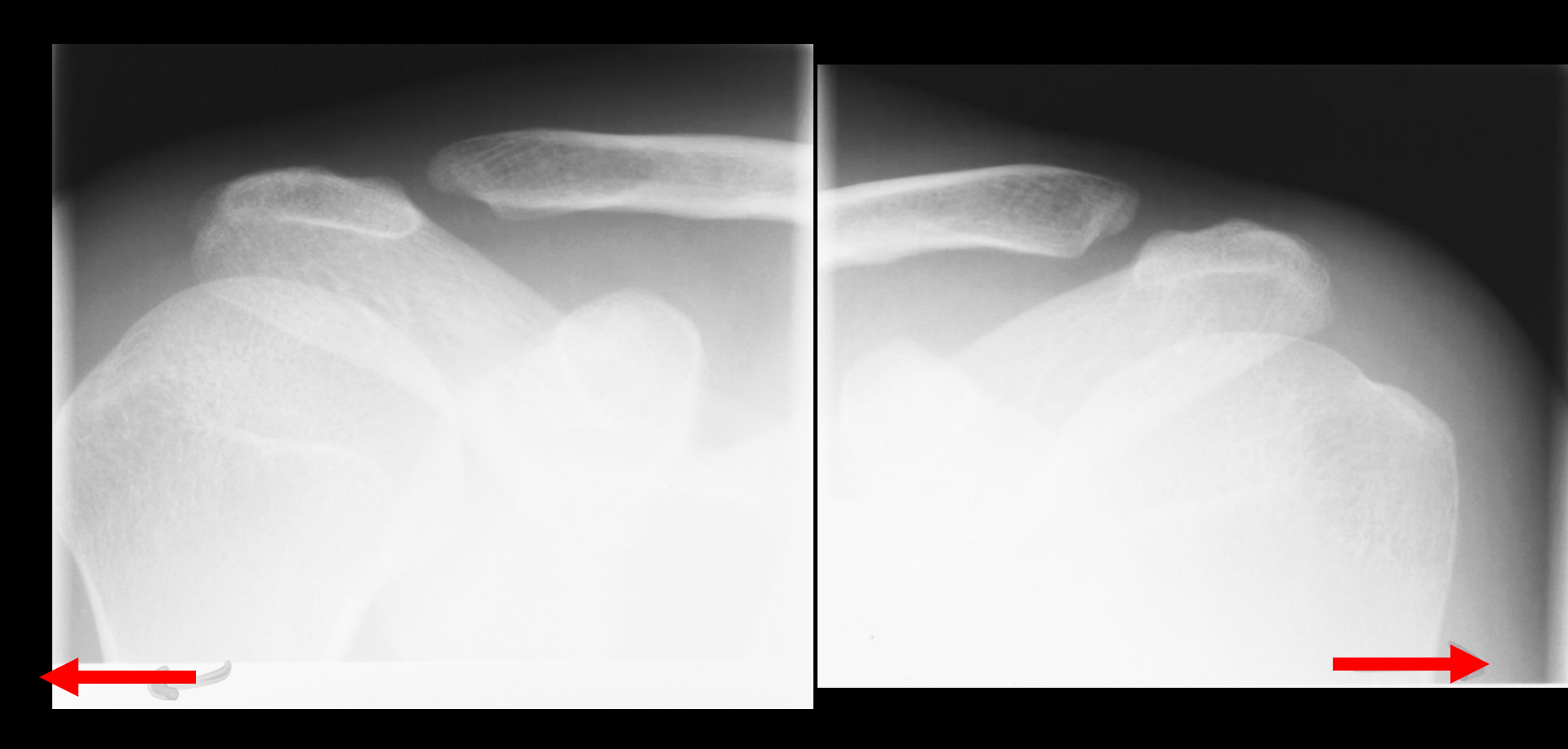




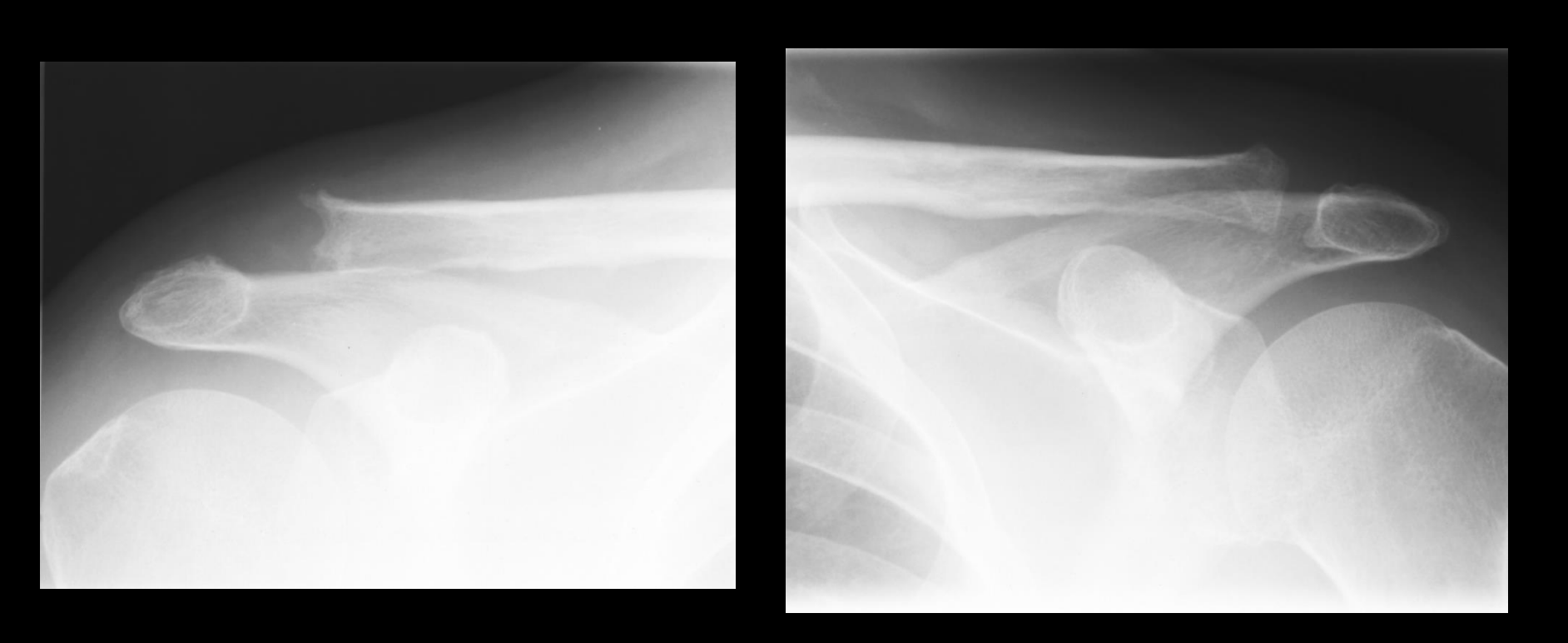


MANŒUVRE DE TRACTION

Manœuvre d'abduction contrariée = manœuvre d'autotraction

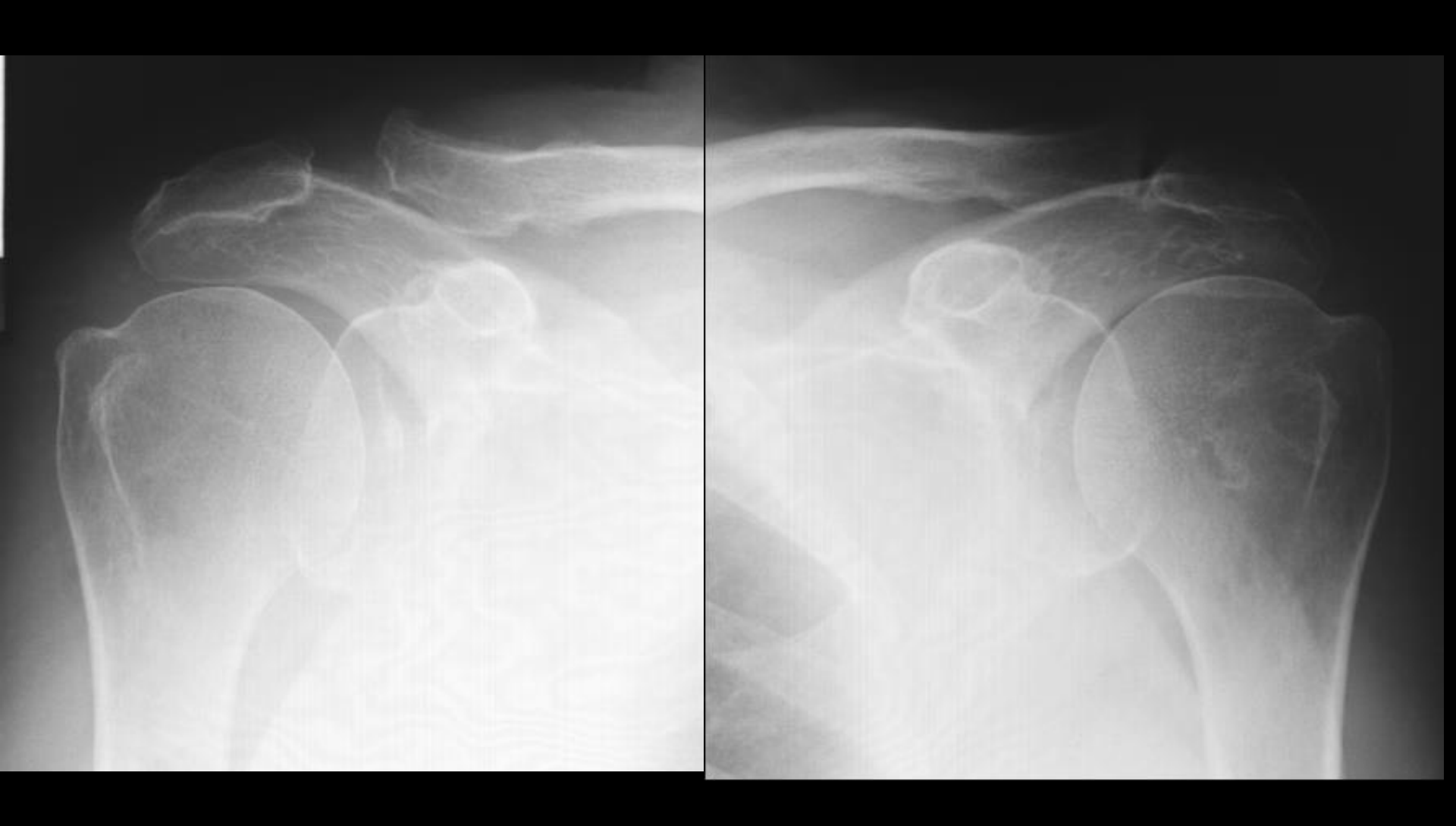






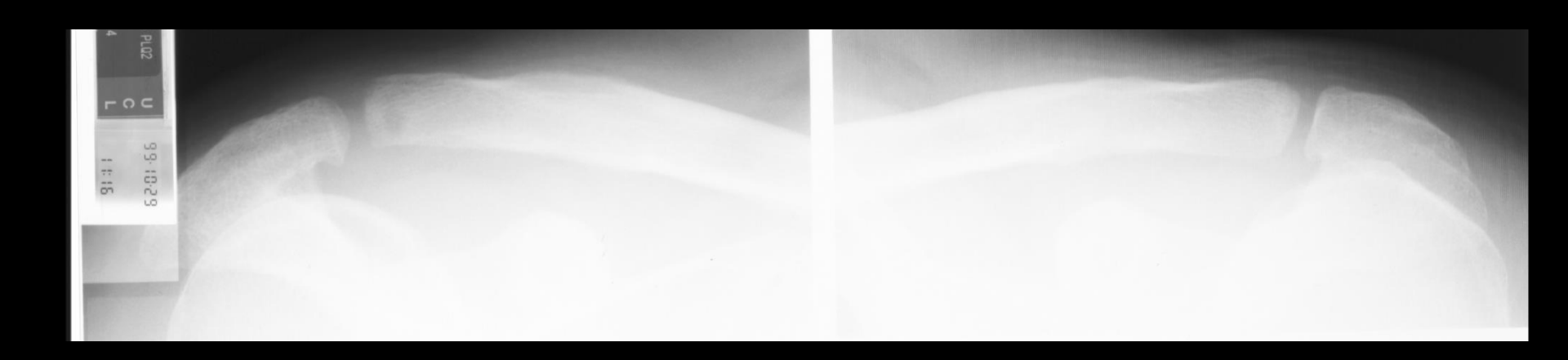






ABDUCTION CONTRARIEE

Position neutre



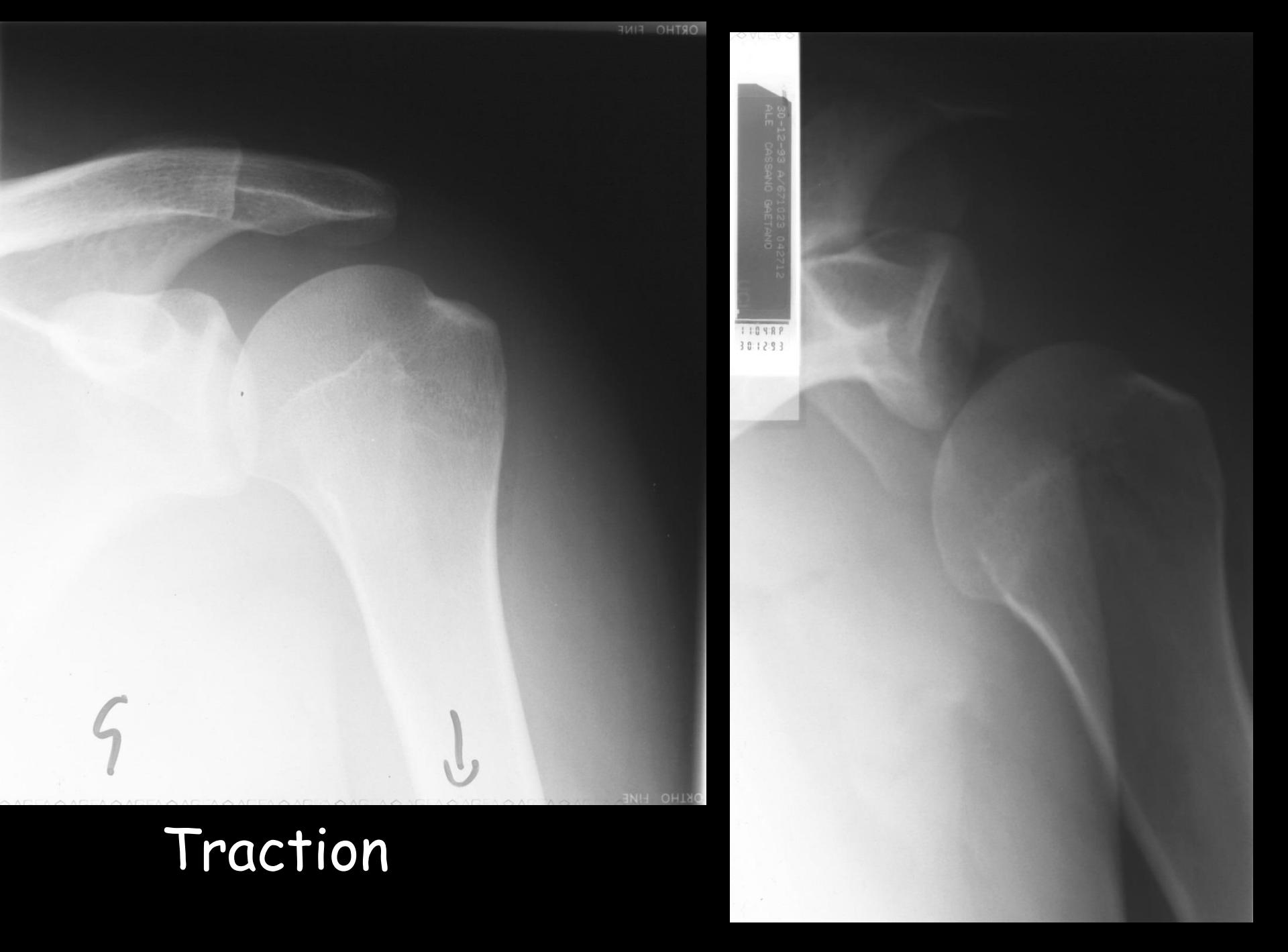
En charge avec traction passive par poids

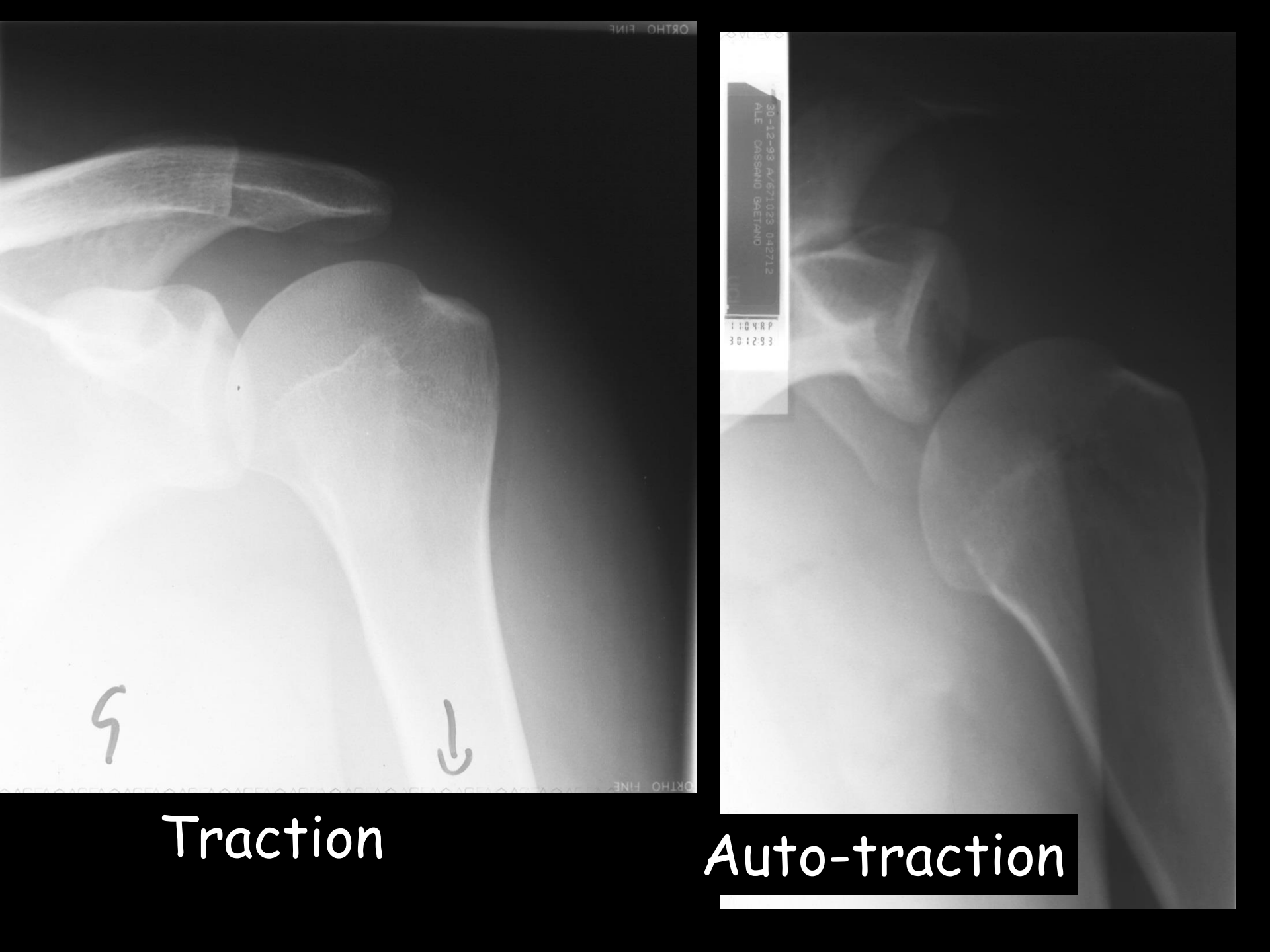




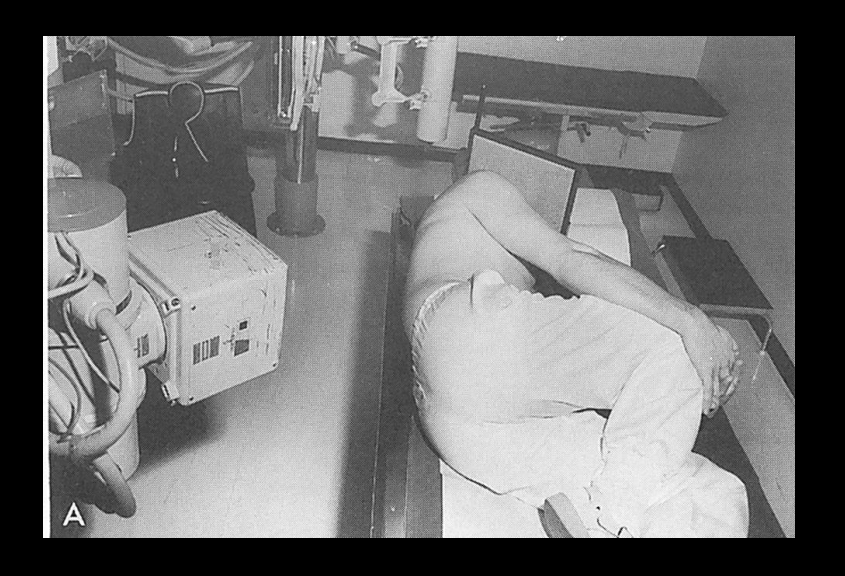


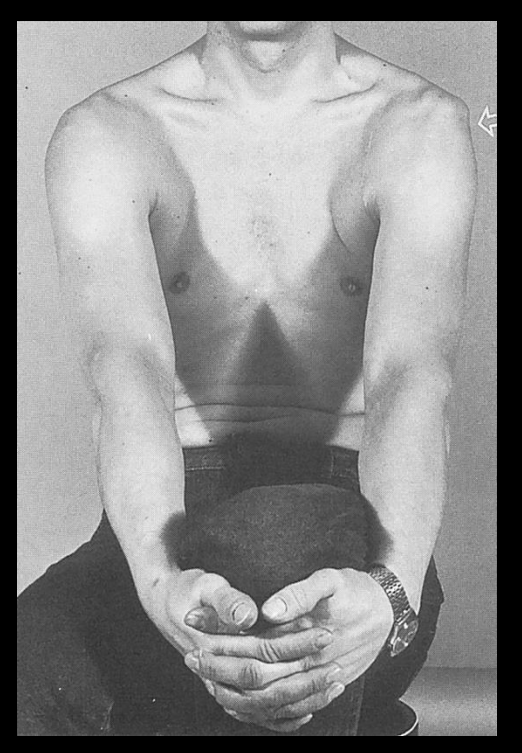
Traction

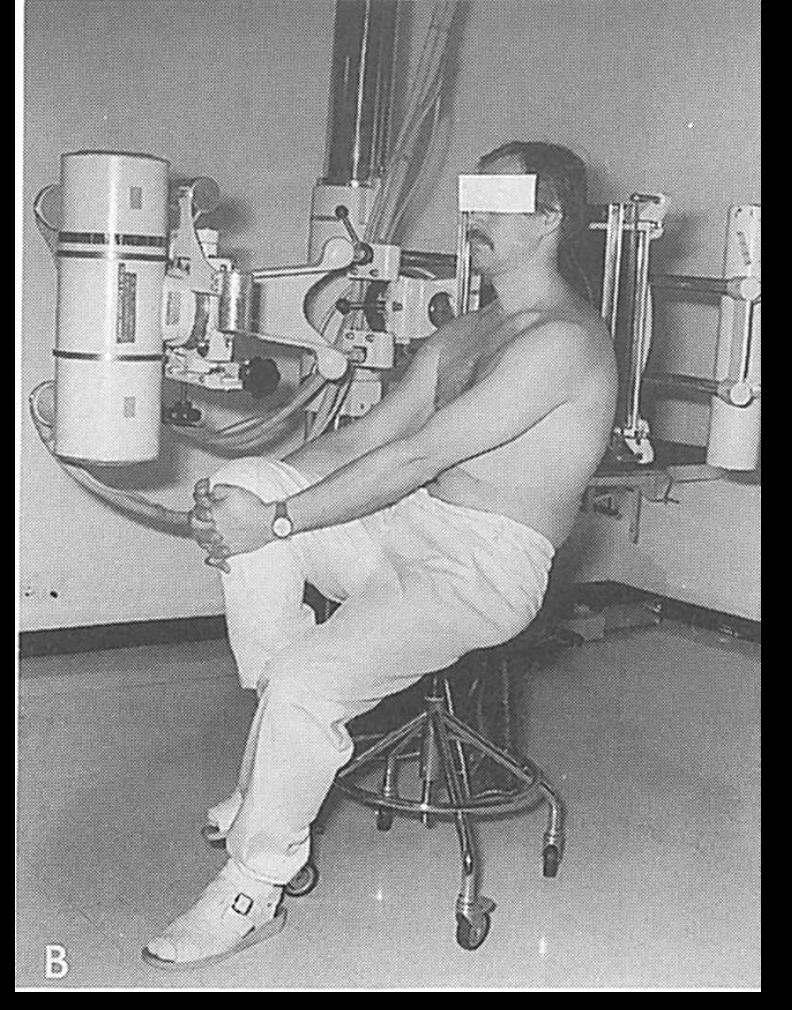






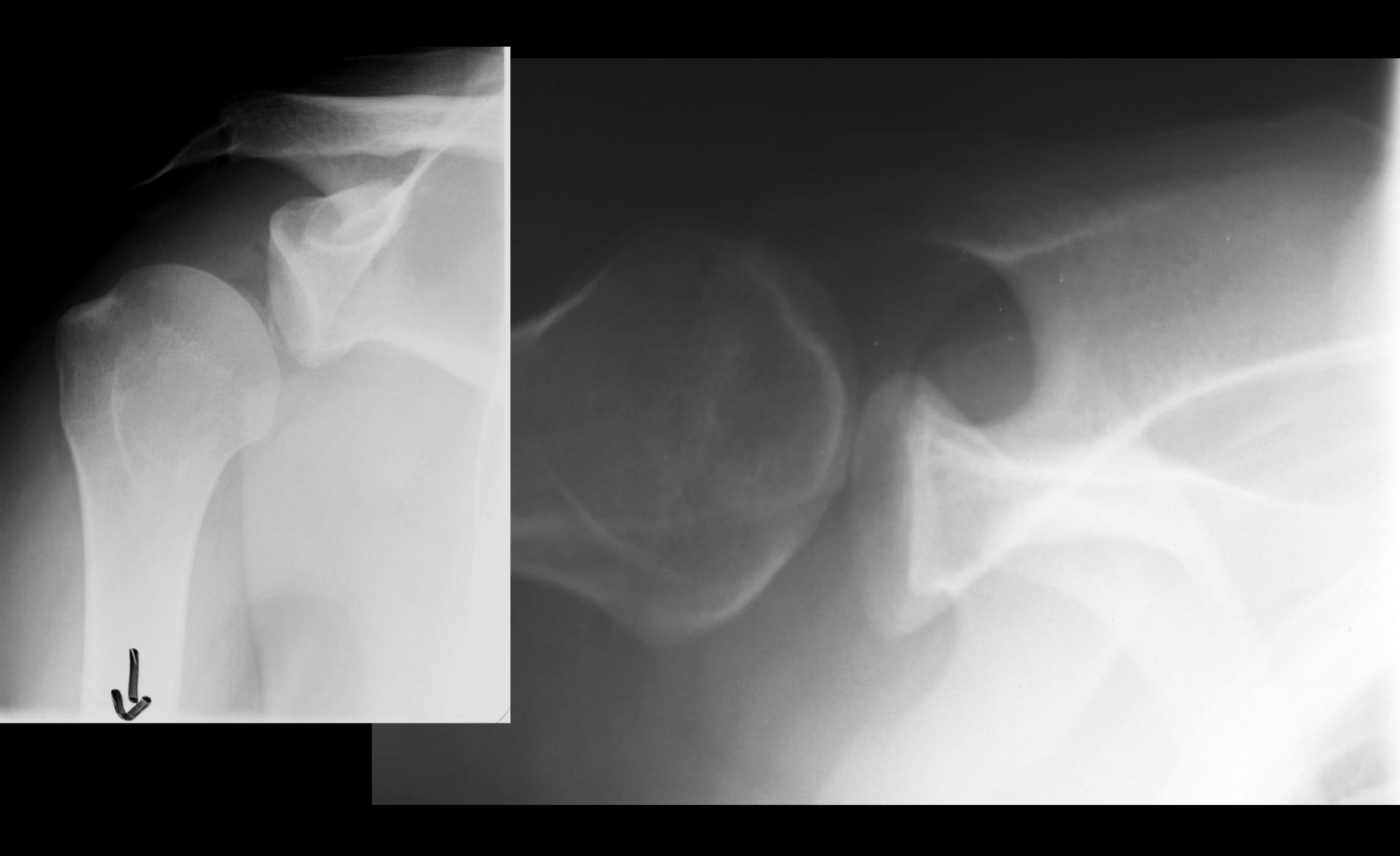




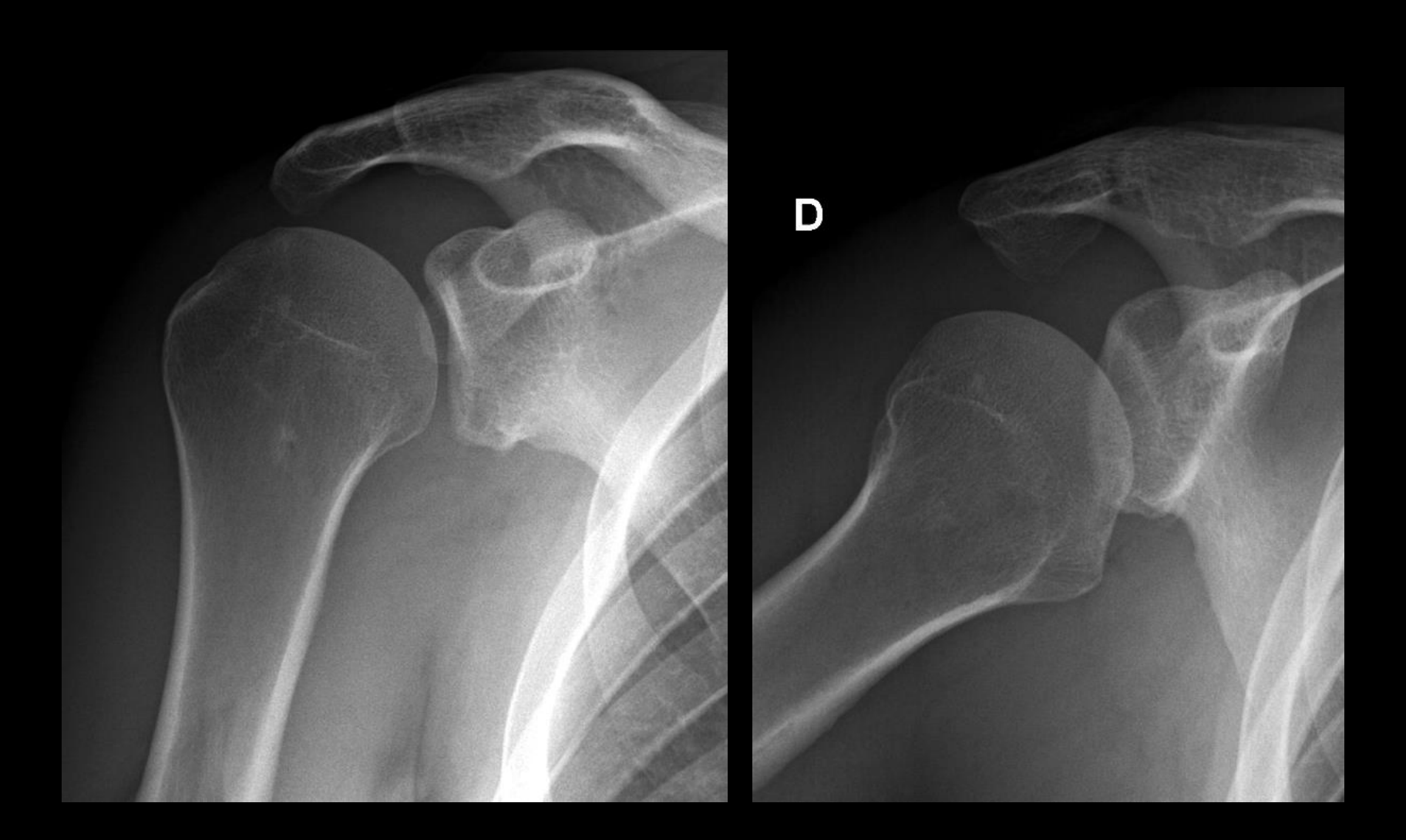


Auto-traction de l'épaule Instabilité multidirectionnelle

Jalovaara et al Clin Orthop res 1992; 284: 136-143



Instabilité aussi postérieure



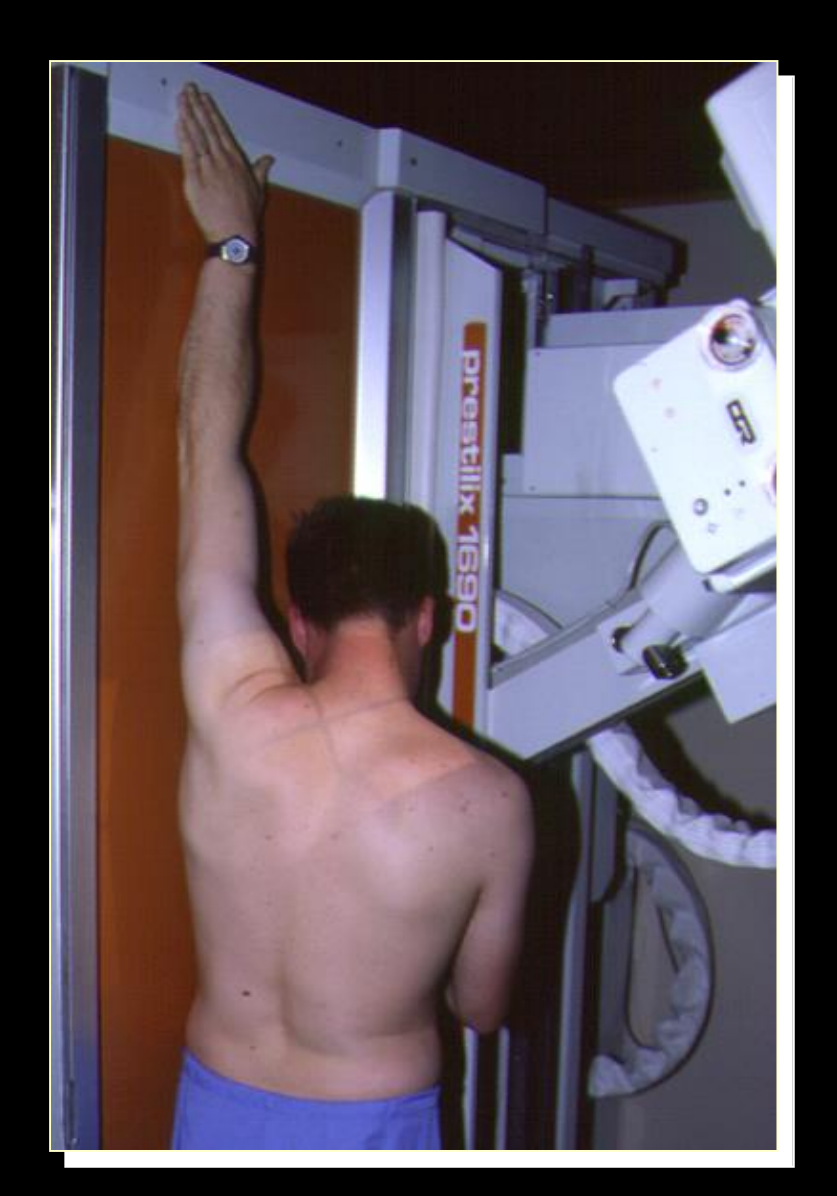






4.1 Étude de profil « Profil de BERNAGEAU »

- patient en station ou assis
- épaule contre la table
- bras en élévation complète ou bras sur la tête
- rayon de 25 à 30°, centrage sur l'acromion
- tête penchée vers l'avant
- → 13 x 18 couchée, petit foyer

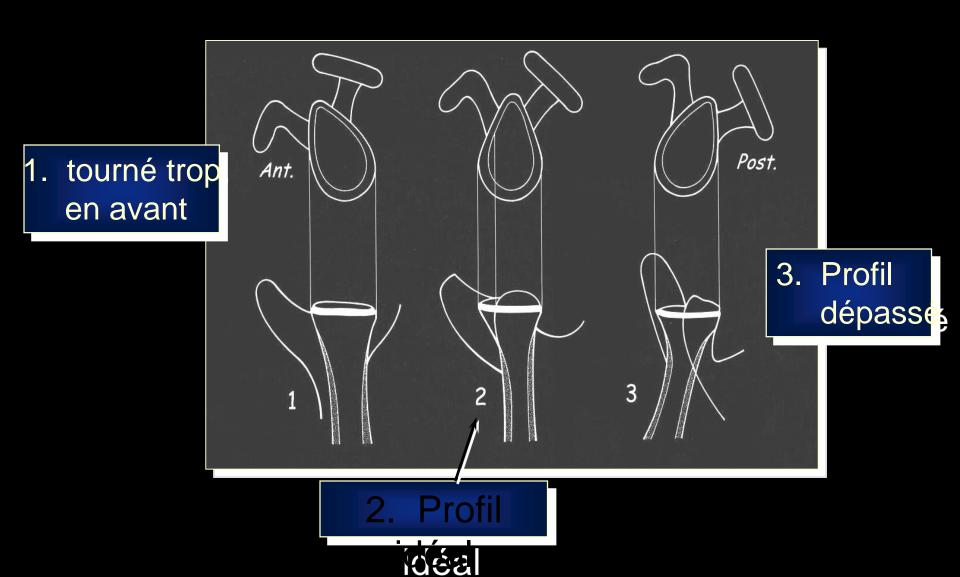


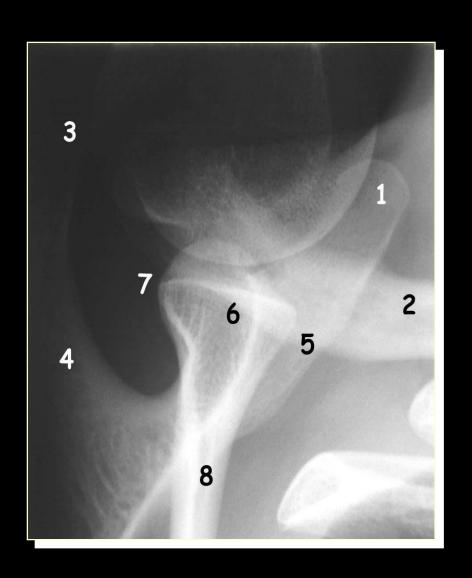
4.1 Étude de profil « Profil de BERNAGEAU »





4.1 Étude de profil « Profil de BERNAGEAU »





- 1. apophyse coracoïde
- 2. clavicule
- 3. acromion
- 4. épine de l'omoplate
- 5. deux tiers inférieurs du rebord glénoïdien antérieur
- 6. un tiers supérieur du rebord glénoïdien antérieur
- 7. un tiers moyen du rebord glénoïdien postérieur
- 8. écaille de l'omoplate





Manœuvre d'auto-traction comparative

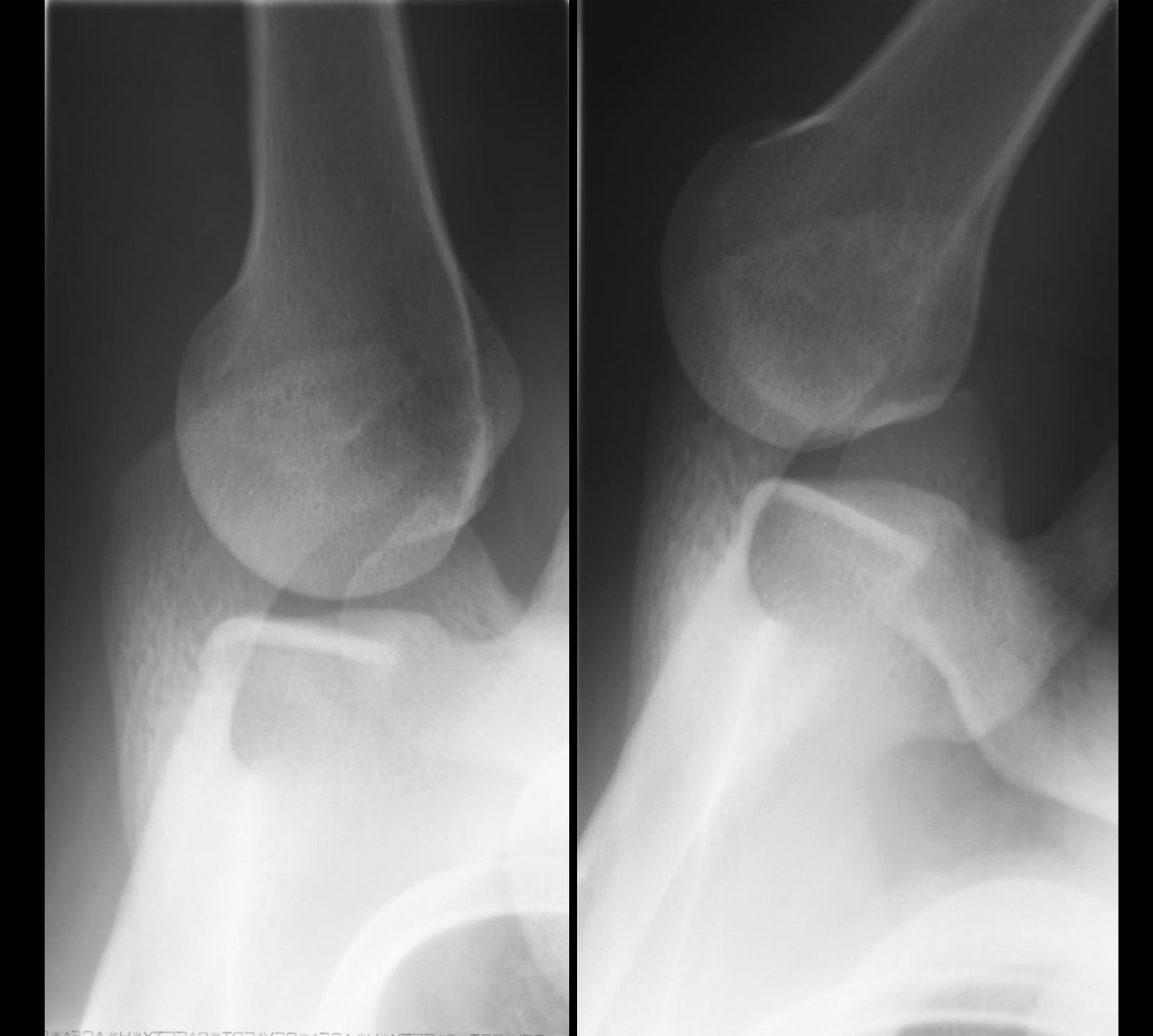


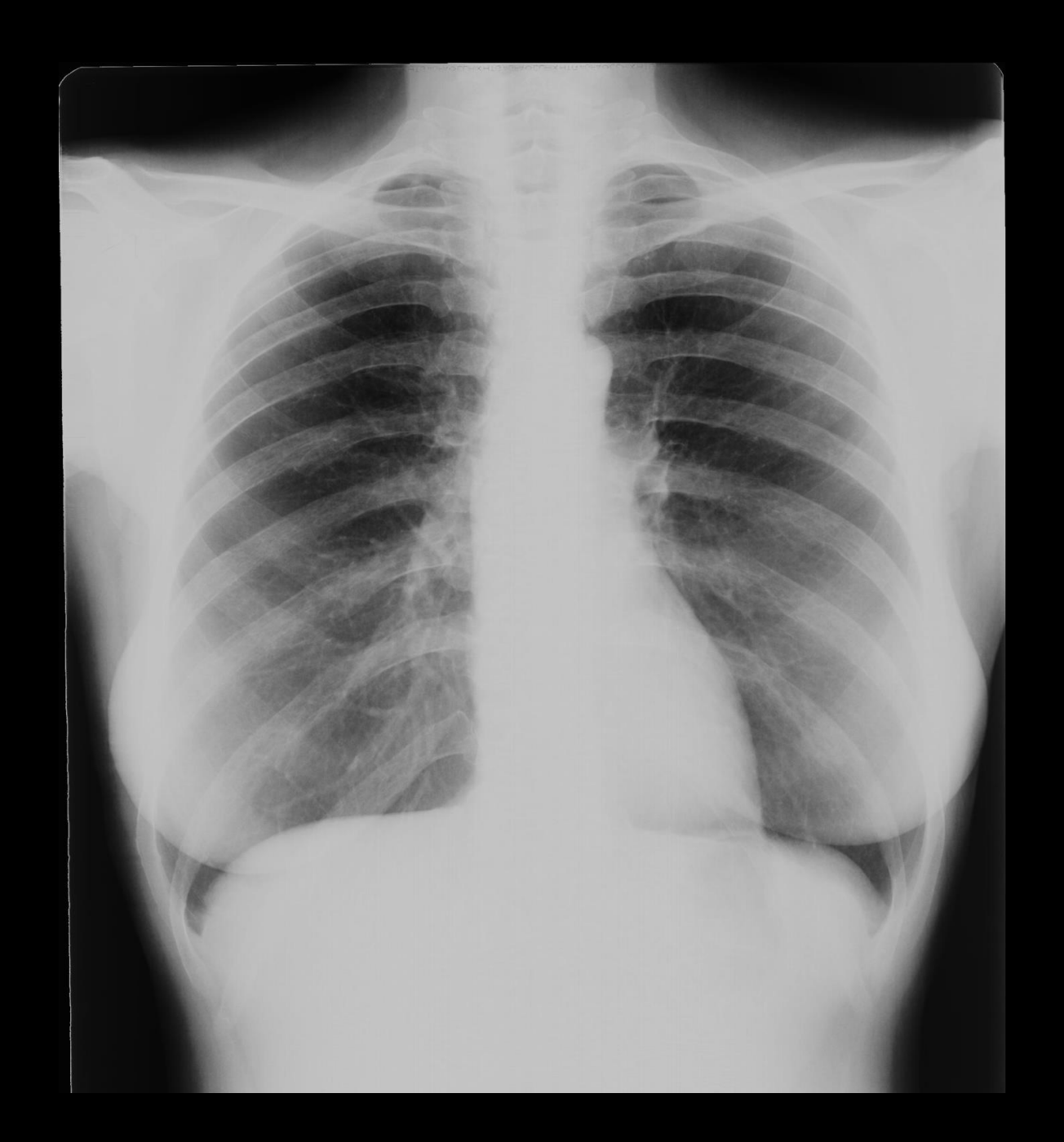


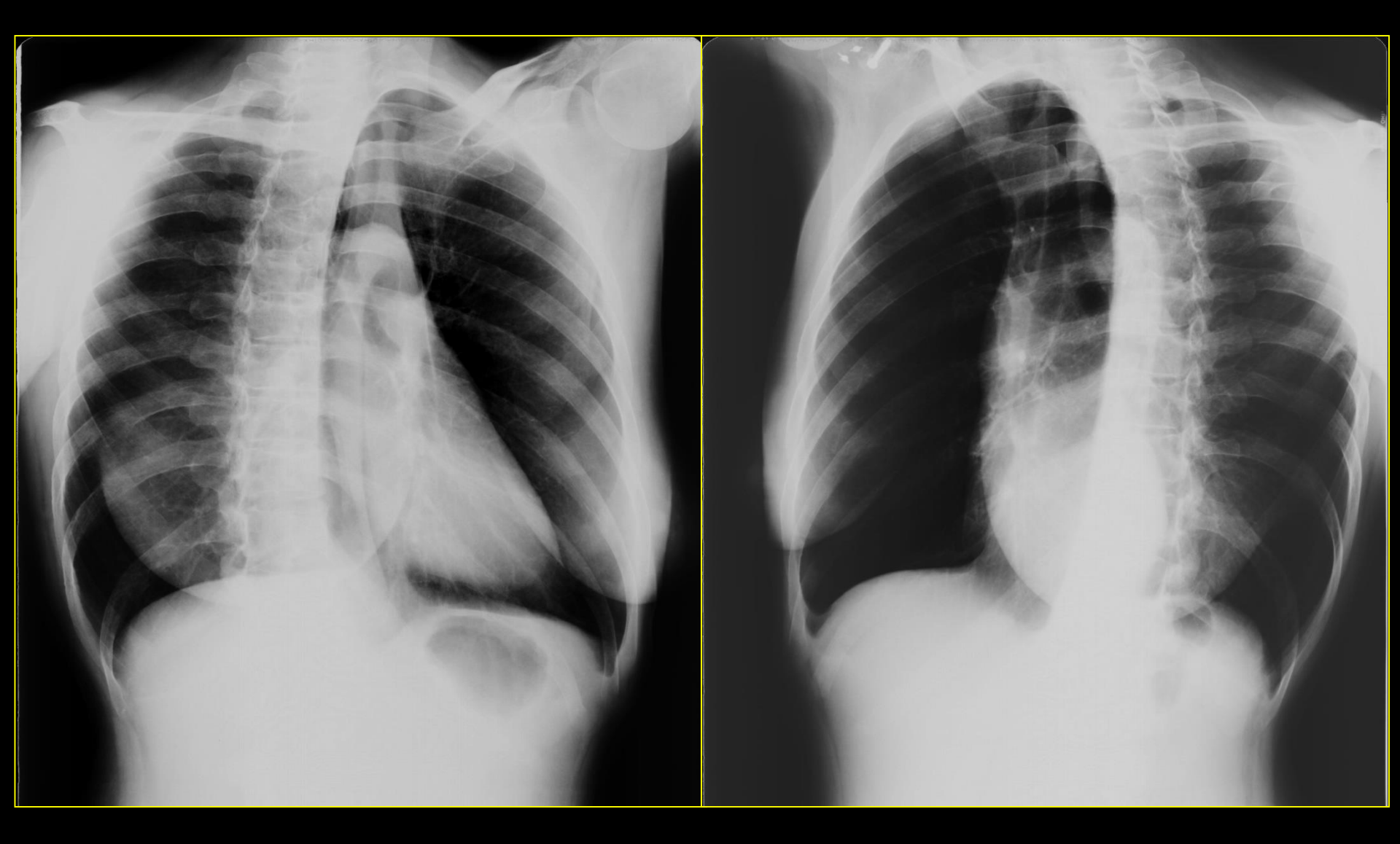
Manœuvre de tiroir antérieur et postérieur











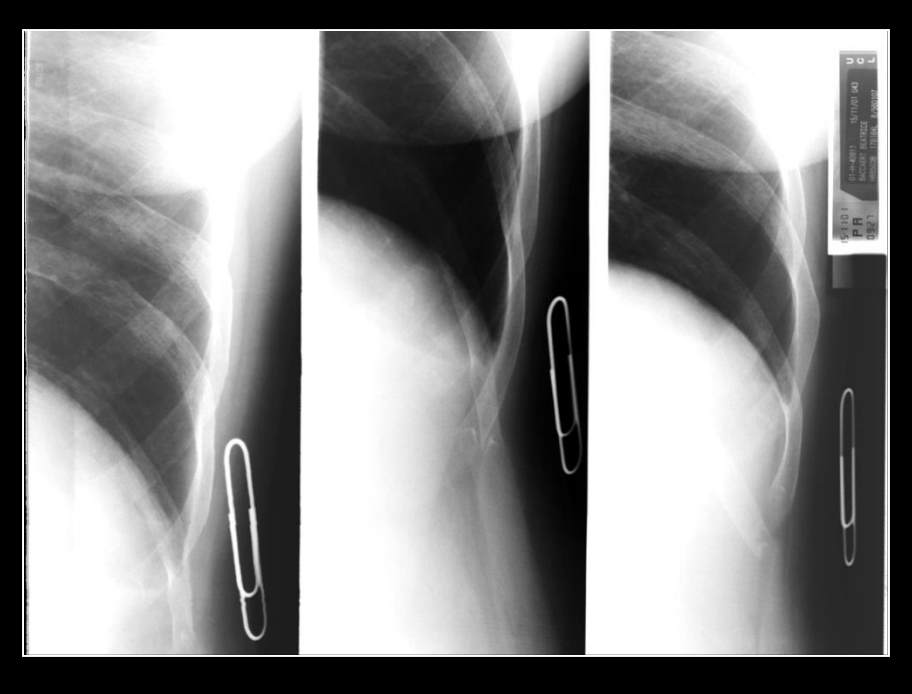
Clichés complémentaires

Basses côtes

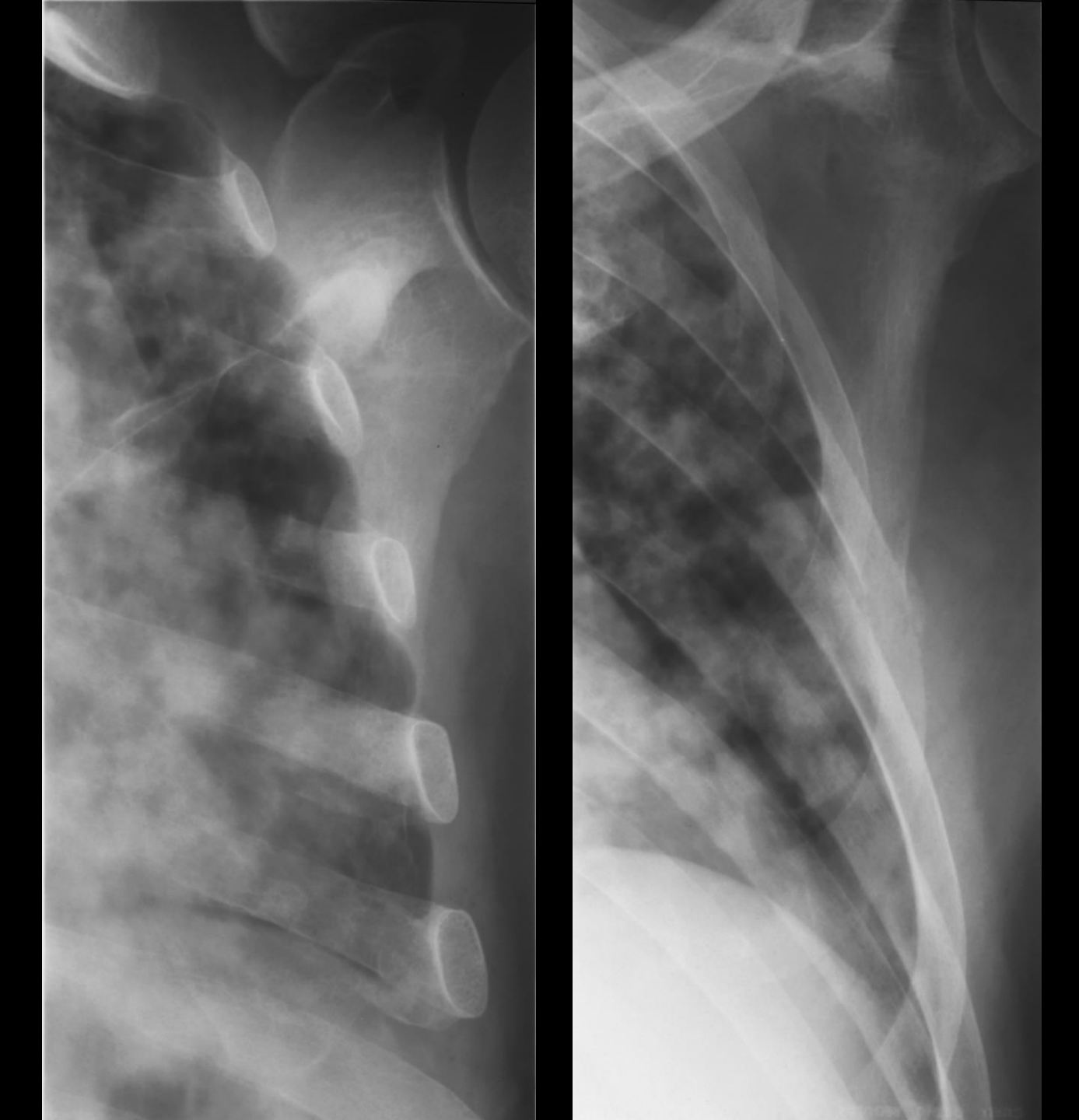


Cliché en expiration

Clichés centrés



Préciser la zone douloureuse par un repère métallique





Rayon ascendant Enfile les côtes Analyse tissus mous



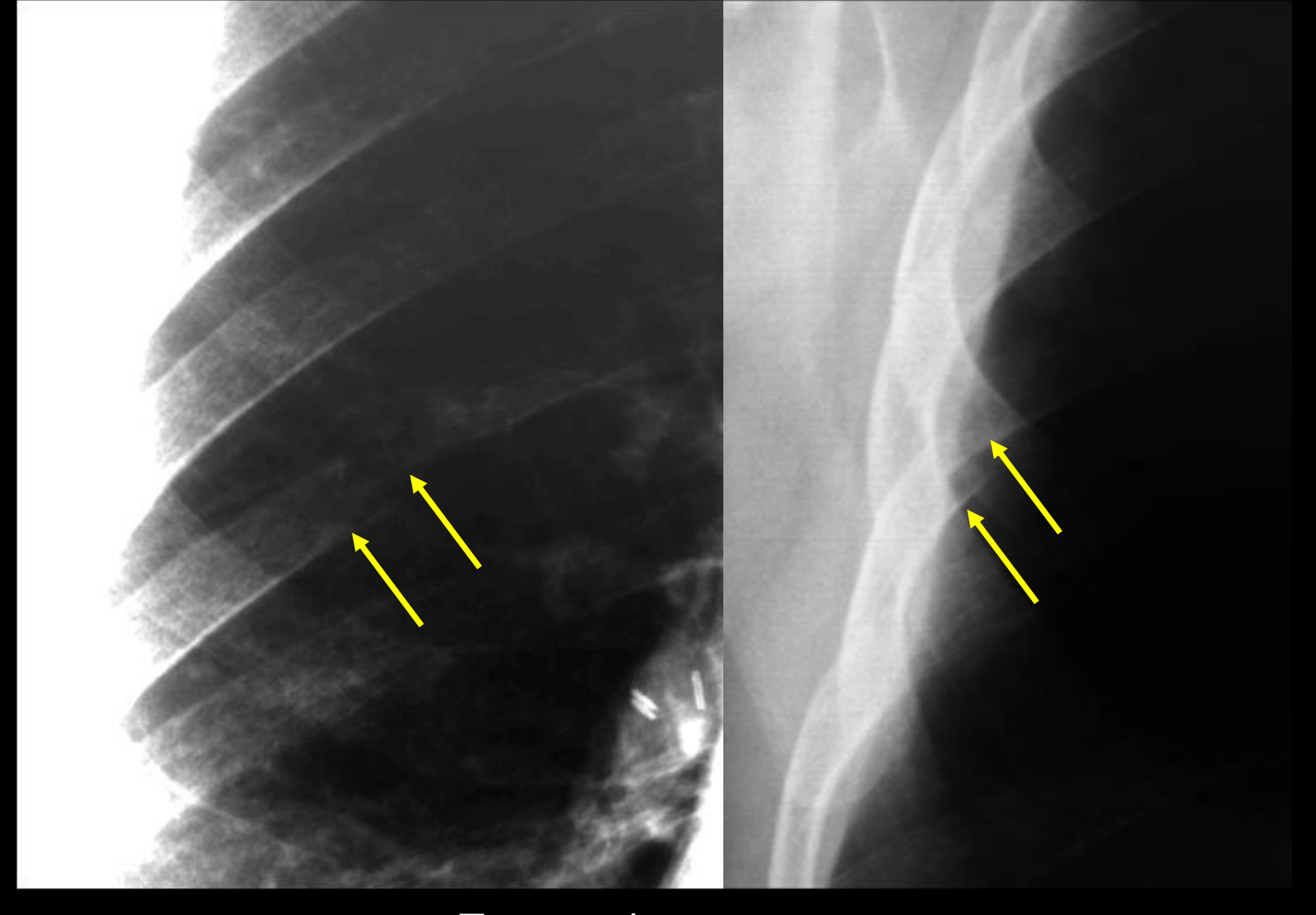
Rayon descendant déroule les côtes Analyse os

- * Homme, 78 ans Antécédent hépatocarcinome et résection métastase sternum
- * Bilan préop pour récidive hépatique Apparition foyer scinti osseuse avec lésion costale
- * Si méta, abstention chirurgicale, Épisode douleur pariétale droite il y a 15 jours.

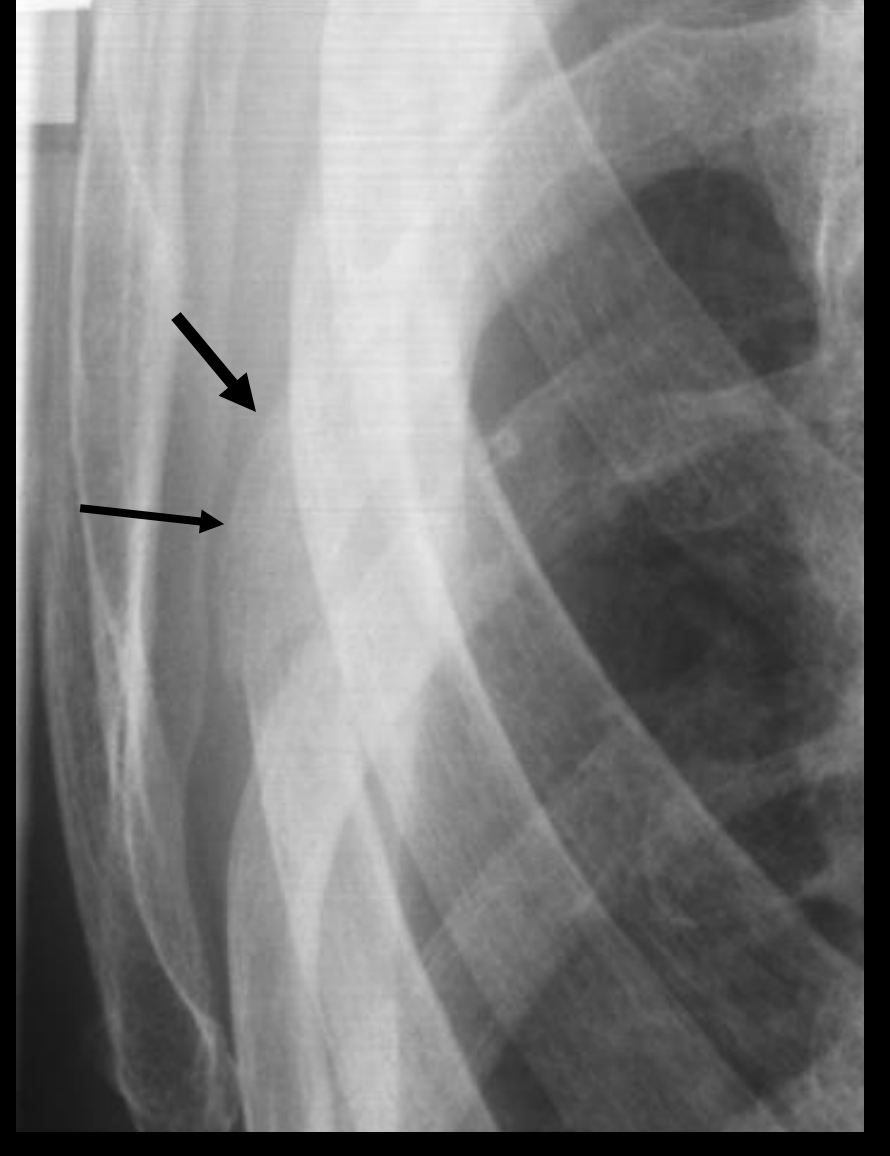








Fracture!
Bénin ou malin?





Principe RX côtes

- 1. Territoire à analyser en tangence 1. Territoire à analyser en tangence
- 2. Rayon descendant

Principe RX côtes

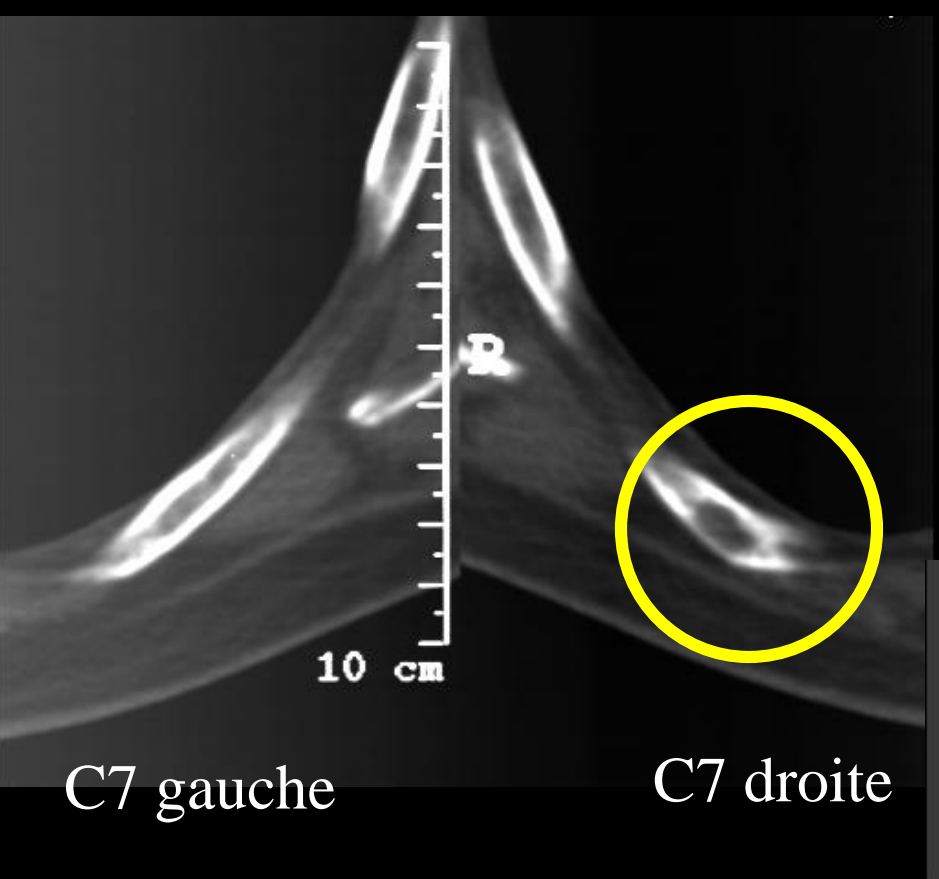
- 2. Rayon ascendant (tissus mous)

Fracture pathologique

Processus fragilisant focal



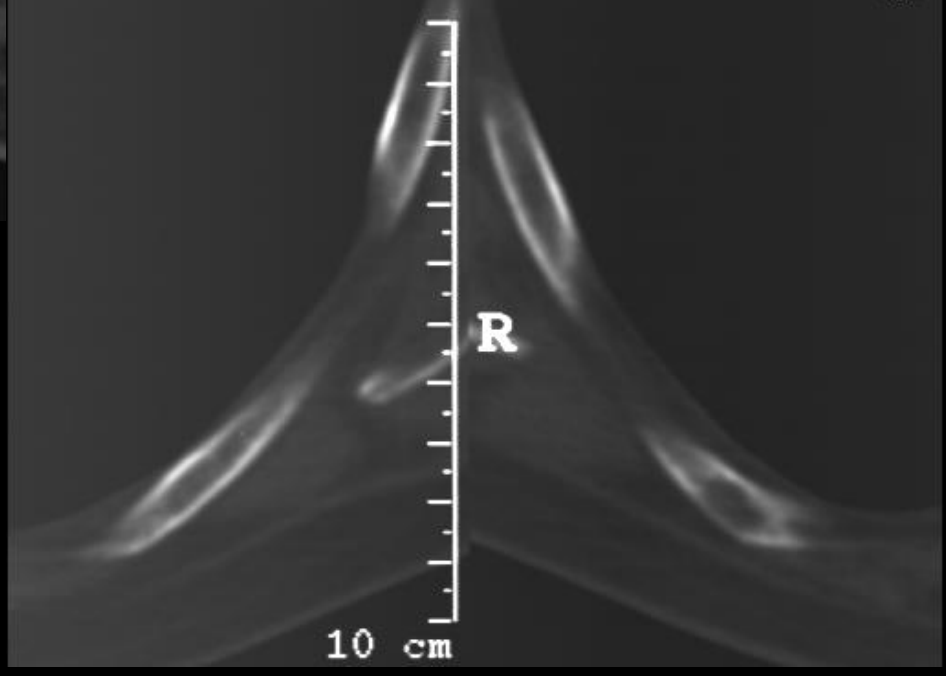
Destruction osseuse préexistante



Preuve a posteriori

CT Thorax 1 mois auparavant

Lésion lytique non fracturée



Radiographies épaules

- *Abduction contrariée
- *Abduction non contrariée
- *Traction
- *Auto-traction

Radiographies côtes

- *Tengance
- *Ascendant-descendant